

(19)



Евразийское  
патентное  
ведомство

(21) 201500132 (13) A1

(12) ОПИСАНИЕ ИЗОБРЕТЕНИЯ К ЕВРАЗИЙСКОЙ ЗАЯВКЕ

(43) Дата публикации заявки  
2015.08.31

(51) Int. Cl. C07K 16/22 (2006.01)  
C07K 16/46 (2006.01)  
C07K 16/28 (2006.01)

(22) Дата подачи заявки  
2013.07.11

(54) БИСПЕЦИФИЧЕСКИЕ АНТИТЕЛА К VEGF/ANG-2 И ИХ ПРИМЕНЕНИЕ ДЛЯ ЛЕЧЕНИЯ СОСУДИСТЫХ ГЛАЗНЫХ ЗАБОЛЕВАНИЙ

(31) 12176299.1

(32) 2012.07.13

(33) EP

(86) PCT/EP2013/064672

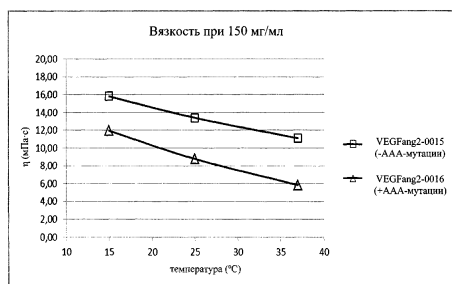
(87) WO 2014/009465 2014.01.16

(71) Заявитель:  
РОШЕ ГЛИКАРТ АГ (CH)

(72) Изобретатель:  
Дюрр Харальд, Хертинг Франк (DE),  
Клайн Кристиан (CH), Регула Йёрг  
Томас, Рют Маттиас, Штубенраух  
Кай-Гуннар (DE)

(74) Представитель:  
Веселицкая И.А., Кузенкова Н.В.,  
Веселицкий М.Б., Каксис Р.А.,  
Белоусов Ю.В., Куликов А.В.,  
Кузнецова Е.В., Соколов Р.А.,  
Кузнецова Т.В. (RU)

(57) В заявке описано биспецифическое антитело к человеческому сосудистому эндотелиальному фактору роста (VEGF/VEGF-A) и к человеческому ангиопоэтину-2 (ANG-2) человеческого подкласса IgG1 или IgG4 с мутациями I253A, H310A и H435A, способы его получения, фармацевтические композиции, содержащие указанные антитела, и их применения.



A1

201500132

201500132

A1

5

10

15

Заявка № 201500132

Заявитель Роше Гликарт АГ, СН

БИСПЕЦИФИЧЕСКИЕ АНТИТЕЛА К VEGF/ANG-2 И ИХ ПРИМЕНЕНИЕ  
ДЛЯ ЛЕЧЕНИЯ СОСУДИСТЫХ ГЛАЗНЫХ ЗАБОЛЕВАНИЙ

20

Настоящее изобретение относится к способу снижения вязкости антитела (включая биспецифическое антитело), такого как человеческое антитело подкласса IgG1 или человеческое антитело подкласса IgG4, к биспецифическим антителам к человеческому сосудистому эндотелиальному фактору роста (VEGF/VEGF-A) и к человеческому ангиопоэтину-2 (ANG-2), способам их получения, фармацевтическим композициям, содержащим указанные антитела, и их применениям.

25

Предпосылки создания изобретения

30

Ангиогенез участвует в патогенезе различных нарушений, включая солидные опухоли, внутриглазные неоваскулярные синдромы, такие как пролиферативные ретинопатии или возрастная дегенерация желтого пятна (AMD), ревматоидный артрит и псориаз (Folkman и др., J. Biol. Chem. 267, 1992, сс. 10931-10934; Klagsbrun M. и др., Annu. Rev. Physiol. 53, 1991, сс. 217-239 и

Garner A., Vascular diseases, в: Pathobiology of ocular disease, A dynamic approach, под ред. Garner A. и Klintworth G. K., 2-ое изд., изд-во Marcel Dekker, New York, 1994, сс. 1625-1710).

5 Ранибизумаб (товарный знак Lucentis®) представляет собой фрагмент  
моноклонального антитела, выведенный из того же самого родительского  
мышинного антитела, что и бевацизумаб (авастин). Однако его подвергли  
процедуре созревания аффинности для достижения более сильного связывания с  
VEGF-A (WO 98/45331). Известно, что блокада VEGF-A может быть связана с  
некоторыми симптомами системной токсичности, по этой причине ранибизумаб  
10 лишен Fc-области для уменьшения времени полужизни в сыворотке и,  
следовательно, системной токсичности. Он представляет собой антиангиогенный  
агент, который разрешен для лечения возрастной дегенерации желтого пятна  
«влажного типа» (ARMD), обычной формы связанной с возрастом потери  
зрения.

15       Анализы ангиогенеза в роговице продемонстрировали, что ANG-1 и ANG-2  
оказывают сходные воздействия, обладая синергетической активностью при  
совместном действии с VEGF, в отношении ускорения роста новых кровеносных  
сосудов (Asahara T. и др., Circ. Res. 83, 1998, сс. 233-240). Возможность того,  
имел место зависящий от дозы эндотелиальный ответ, вытекала из данных о том,  
20 что *in vitro* ANG-2 в высокой концентрации может также обладать  
проангиогенным действием (Kim I. и др., Oncogene 19, 2000, сс. 4549-52). В  
высокой концентрации ANG-2 действует в качестве фактора выживания при  
апоптозе эндотелиальных клеток в процессе истощения в сыворотке факторов  
апоптоза в результате активации Tie2 посредством пути PI-3-киназы и Akt (Kim  
25 I. и др., Oncogene 19, 2000, сс. 4549-4552).

В WO 2010/040508 A9 и WO 2011/117329 описаны биспецифические  
антитела к VEGF/ANG-2. В WO 2008/132568 описаны слитые белки,  
связывающиеся с факторами роста. В WO 2009/136352 описаны  
антиангиогенные соединения. В WO 2009/080253 и WO 2011/117330 описаны  
30 биспецифические двухвалентные форматы антител. В WO 2010/069532 описаны  
антитела к Ang2.

Сосудистые глазные заболевания, такие как возрастная дегенерация  
желтого пятна (ARMD) и диабетическая ретинопатия (DR), являются

результатом аномальной хороидальной или ретинальной неоваскуляризации соответственно. Они являются основными причинами потери зрения у жителей промышленно развитых стран. Поскольку сетчатка состоит из хорошо оформленных слоев нейронных, глиальных и сосудистых элементов, относительно небольшие нарушения, такие, которые имеют место при пролиферации сосудов или отеке, могут приводить к значительному снижению зрительной функции. Наследственные дегенерации сетчатки, такие как пигментный ретинит (RP), ассоциированы также с сосудистыми нарушениями, такими как сужение артериол и сосудистая атрофия. Они поражают 1 из 3500 индивидуумов и характеризуются прогрессирующей ночной слепотой, уменьшением поля зрения, атрофией зрительного нерва, ослаблением артериол и снижением центрального зрения, часто прогрессирующим вплоть до полной слепоты.

Ишемические ретинопатии характеризуются снижением или дисфункцией сосудистой сети сетчатки, что приводит к снижению потока крови и гипоксии. Сетчатка реагирует на гипоксию генерированием сигналов роста новых кровеносных сосудов, однако эти новые сосуды, как правило, являются ломкими и неупорядоченными. Так, рост этих аномальных новых сосудов может создавать угрозу зрению, поскольку они могут истекать, кровоточить или приводить к рубцеванию, что, в конце концов, может заканчиваться отслоением сетчатки. Современные пути лечения ишемических ретинопатией направлены на остановку роста патологических сосудов, но они не воздействуют на лежащую в их основе ишемию, которая запускает их рост. Кроме того, стандартное лечение диабетической ретинопатии, ишемической ретинопатии, которая поражает миллионы людей, включает разрушение части сетчатки лазером с целью прекращения роста новых сосудов и сохранения центрального зрения. Известно применение стратегий для блокады функции сосудистого эндотелиального фактора роста (VEGF), основного активатора роста сосудов. Кратковременная анти-VEGF терапия может улучшать зрение, но она не направлена на лежащую в основе заболевания ишемию и фактически может обострять это состояние, поскольку ингибирует роста всех сосудов, включая оказывающие благоприятное действие коллатерали. Существует также серьезная проблема, связанная с системной экспозицией этих лекарственных средств в организме престарелых

и/или страдающих диабетом пациентов, для которых может требоваться рост новых сосудов при ишемии головного мозга, сердца или конечностей.

Как правило, при глазных болезнях часто применяют введение в стекловидное тело более мелких фрагментов антител типа Fab or Fab(2), поскольку они имеют короткое время полужизни в сыворотке и низкий риск системной токсичности. Однако указанные более мелкие фрагменты, как правило, обладают также и более коротким временем полужизни в стекловидном теле (например, из-за более быстрой диффузии в сыворотку) и, как правило, их необходимо чаще дозировать.

У Kim и др., Molecular Vision, 15, 2009, сс. 2803-2812 описаны полноразмерные антитела, которые вводят вводимые внутрь стекловидного тела (интравитреально) в глаз, для которых установлено, что IgG, связывающиеся с FcRn, элиминировались в кровь у мышей дикого типа, в то время как IgY, не связывающиеся с FcRn, не элиминировались в кровеносную систему. Кроме того, IgG, связывающиеся с FcRn, не элиминировались в кровеносную систему у мышей с «выключенным» FcRn.

Таким образом, в данной области существует необходимость в создании улучшенных средств для лечения и предупреждения различных сосудистых глазных заболеваний, таких как ишемические ретинопатии.

#### Краткое изложение сущности изобретения

Одним из объектов изобретения является способ снижения вязкости антитела, где антитело содержит константную область тяжелой цепи человеческого подкласса IgG1 или человеческого подкласса IgG4 (выведенную из человеческого антитела) и где способ заключается в том, что модифицируют константную область тяжелой цепи человеческого подкласса IgG1 или человеческого подкласса IgG4 с помощью мутации I253A, H310A и H435A (нумерация согласно EU-индексу Кэбота).

В одном из вариантов осуществления изобретения указанный способ отличается тем, что антитело представляет собой биспецифическое антитело, содержащее первый антигенсвязывающий центр, который специфически связывается с человеческим VEGF, и второй антигенсвязывающий центр, который специфически связывается с человеческим ANG-2, в котором

I) указанный первый антигенсвязывающий центр, специфически связывающийся с VEGF, содержит в варибельном домене тяжелой цепи CDR3H-участок, имеющий SEQ ID NO: 1, CDR2H-участок, имеющий SEQ ID NO: 2, и CDR1H-участок, имеющий SEQ ID NO: 3, и в варибельном домене легкой цепи CDR3L-участок, имеющий SEQ ID NO: 4, CDR2L-участок, имеющий SEQ ID NO: 5, и CDR1L-участок, имеющий SEQ ID NO: 6; и

II) указанный второй антигенсвязывающий центр, специфически связывающийся с ANG-2, содержит в варибельном домене тяжелой цепи CDR3H-участок, имеющий SEQ ID NO: 9, CDR2H-участок, имеющий SEQ ID NO: 10, и CDR1H-участок, имеющий SEQ ID NO: 11, и в варибельном домене легкой цепи CDR3L-участок, имеющий SEQ ID NO: 12, CDR2L-участок, имеющий SEQ ID NO: 13, и CDR1L-участок, имеющий SEQ ID NO: 14, и где

III) биспецифическое антитело содержит константную область тяжелой цепи человеческого подкласса IgG1 или человеческого подкласса IgG4 (выведенную из человеческого антитела) и содержащую мутации I253A, H310A и H435A (нумерация согласно EU-индексу Кэбота).

В одном из вариантов осуществления изобретения указанный способ отличается тем, что указанное описанное выше биспецифическое антитело содержит константную область человеческого подкласса IgG1 (выведенную из человеческого антитела) и содержащую мутации I253A, H310A и H435A (нумерация согласно EU-индексу Кэбота), а также содержащую мутации L234A, L235A и P329G (нумерация согласно EU-индексу Кэбота).

Одним из вариантов осуществления изобретения является антитело, полученное указанным способом.

Одним из вариантов осуществления изобретения является применение мутаций I253A, H310A и H435A (нумерация согласно EU-индексу Кэбота) для снижения вязкости антитела, где антитело содержит константную область тяжелой цепи человеческого подкласса IgG1 или человеческого подкласса IgG4 (выведенную из человеческого антитела).

В одном из вариантов осуществления изобретения указанное применение отличается тем, что антитело представляет собой биспецифическое антитело, содержащее первый антигенсвязывающий центр, который специфически

связывается с человеческим VEGF, и второй антигенсвязывающий центр, который специфически связывается с человеческим ANG-2, в котором

I) указанный первый антигенсвязывающий центр, специфически связывающийся с VEGF, содержит в переменном домене тяжелой цепи CDR3H-участок, имеющий SEQ ID NO: 1, CDR2H-участок, имеющий SEQ ID NO: 2, и CDR1H-участок, имеющий SEQ ID NO: 3, и в переменном домене легкой цепи CDR3L-участок, имеющий SEQ ID NO: 4, CDR2L-участок, имеющий SEQ ID NO: 5, и CDR1L-участок, имеющий SEQ ID NO: 6; и

II) указанный второй антигенсвязывающий центр, специфически связывающийся с ANG-2, содержит в переменном домене тяжелой цепи CDR3H-участок, имеющий SEQ ID NO: 9, CDR2H-участок, имеющий SEQ ID NO: 10, и CDR1H-участок, имеющий SEQ ID NO: 11, и в переменном домене легкой цепи CDR3L-участок, имеющий SEQ ID NO: 12, CDR2L-участок, имеющий SEQ ID NO: 13, и CDR1L-участок, имеющий SEQ ID NO: 14, и в котором

III) биспецифическое антитело содержит константную область тяжелой цепи человеческого подкласса IgG1 или человеческого подкласса IgG4 (выведенную из человеческого антитела) и содержащую мутации I253A, H310A и H435A (нумерация согласно EU-индексу Кэбота).

В одном из вариантов осуществления изобретения указанное конкретное применение отличается тем, что биспецифическое антитело содержит константную область человеческого подкласса IgG1 (выведенную из человеческого антитела) и содержащую мутации I253A, H310A и H435A (нумерация согласно EU-индексу Кэбота), а также содержащую мутации L234A, L235A и P329G (нумерация согласно EU-индексу Кэбота).

Изобретение относится также к биспецифическому двухвалентному антителу, которое содержит первый антигенсвязывающий центр, который специфически связывается с человеческим VEGF, и второй антигенсвязывающий центр, который специфически связывается с человеческим ANG-2,

в котором

I) указанный первый антигенсвязывающий центр, специфически связывающийся с VEGF, содержит в переменном домене тяжелой цепи CDR3H-участок, имеющий SEQ ID NO: 1, CDR2H-участок, имеющий SEQ ID

NO: 2, и CDR1H-участок, имеющий SEQ ID NO: 3, и в переменном домене легкой цепи CDR3L-участок, имеющий SEQ ID NO: 4, CDR2L-участок, имеющий SEQ ID NO: 5, и CDR1L-участок, имеющий SEQ ID NO: 6; и

5 II) указанный второй антигенсвязывающий центр, специфически связывающийся с ANG-2, содержит в переменном домене тяжелой цепи CDR3H-участок, имеющий SEQ ID NO: 9, CDR2H-участок, имеющий SEQ ID NO: 10, и CDR1H-участок, имеющий SEQ ID NO: 11, и в переменном домене легкой цепи CDR3L-участок, имеющий SEQ ID NO: 12, CDR2L-участок, имеющий SEQ ID NO: 13, и CDR1L-участок, имеющий SEQ ID NO: 14, и где  
10 III) биспецифическое антитело содержит константную область тяжелой цепи человеческого подкласса IgG1 или человеческого подкласса IgG4 (выведенную из человеческого антитела) и содержащую мутации I253A, H310A и H435A (нумерация согласно EU-индексу Кэбота).

15 В одном из вариантов осуществления изобретения указанное биспецифическое антитело отличается тем, что

I) указанный первый антигенсвязывающий центр, специфически связывающийся с VEGF, содержит в качестве переменного домена тяжелой цепи VH аминокислотную последовательность SEQ ID NO: 7 и в качестве переменного домена легкой цепи VL аминокислотную последовательность  
20 SEQ ID NO: 8 и

II) указанный второй антигенсвязывающий центр, специфически связывающийся с ANG-2, содержит в качестве переменного домена тяжелой цепи VH аминокислотную последовательность SEQ ID NO: 15 и в качестве переменного домена легкой цепи VL аминокислотную последовательность  
25 SEQ ID NO: 16.

В одном из вариантов осуществления изобретения биспецифическое антитело отличается тем, что константная область тяжелой цепи, указанная в подпункте III), представляет собой константную область человеческого подкласса IgG1. В одном из вариантов осуществления изобретения  
30 биспецифическое антитело подкласса IgG1 отличается тем, что константная область тяжелой цепи подкласса IgG1 содержит также мутации L234A, L235A и P329G (нумерация согласно EU-индексу Кэбота).

В одном из вариантов осуществления изобретения биспецифическое антитело отличается тем, что константная область тяжелой цепи, указанная в подпункте III), представляет собой константную область человеческого подкласса IgG4. В одном из вариантов осуществления изобретения

5 биспецифическое антитело подкласса IgG4 отличается тем, что константная область тяжелой цепи подкласса IgG4 содержит также мутации S228P и L235E (нумерация согласно EU-индексу Кэбота). В одном из вариантов осуществления изобретения биспецифическое антитело подкласса IgG4 отличается тем, что константная область тяжелой цепи подкласса IgG4 содержит также мутации  
10 S228P, L235E и P329G (нумерация согласно EU-индексу Кэбота).

Следующими объектами изобретения являются фармацевтическая композиция, содержащая указанное биспецифическое антитело, указанная фармацевтическая композиция, предназначенная для применения для лечения  
15 сосудистых глазных заболеваний, применение указанного биспецифического антитела для приготовления лекарственного средства, предназначенного для лечения сосудистых глазных заболеваний, способ лечения пациента, страдающего сосудистыми глазными заболеваниями, путем введения указанного биспецифического антитела пациенту, который нуждается в указанном лечении.  
20 В одном из вариантов осуществления изобретения биспецифическое антитело или фармацевтическую композицию, содержащую указанное биспецифическое антитело, применяют путем интравитреального введения.

Следующим объектом изобретения является молекула нуклеиновой кислоты, кодирующая тяжелую и/или легкую цепь биспецифического антитела, предлагаемого в изобретении.

25 В изобретении предложены также экспрессионные векторы, содержащие указанную нуклеиновую кислоту, предлагаемую в изобретении, которые могут экспрессировать указанную нуклеиновую кислоту в прокариотической или эукариотической клетке-хозяине, и клетки-хозяева, содержащие указанные векторы, которые содержат указанные векторы, предназначенные для  
30 рекомбинантного получения биспецифического антитела, предлагаемого в изобретении.

Изобретение относится также к прокариотическим или эукариотическим клеткам-хозяевам, которые содержат вектор, предлагаемый в изобретении.

Изобретение относится также к способу получения биспецифического антитела, предлагаемого в изобретении, отличающемуся тем, что экспрессируют нуклеиновую кислоту, предлагаемую в изобретении, в прокариотической или эукариотической клетке-хозяине и выделяют указанное биспецифическое антитело из указанной клетки или супернатанта клеточной культуры. Одним из вариантов осуществления изобретения является способ получения биспецифического антитела, предлагаемого в изобретении, заключающийся в том, что осуществляют стадии, на которых

а) трансформируют клетку-хозяина векторами, содержащими молекулы нуклеиновых кислот, которые кодируют антитело;

б) культивируют клетку-хозяина в условиях, которые обеспечивают синтез указанной молекулы антитела; и

в) выделяют указанную молекулу антитела из указанной культуры.

Изобретение относится также к антителу, полученному с помощью указанного способа получения биспецифического антитела.

Таким образом, одним из вариантов осуществления изобретения является биспецифическое двухвалентное антитело, содержащее первый антигенсвязывающий центр, который специфически связывается с человеческим VEGF, и второй антигенсвязывающий центр, который специфически связывается с человеческим ANG-2, отличающееся тем, что содержит аминокислотные последовательности SEQ ID NO: 21, SEQ ID NO: 22, SEQ ID NO: 23 и SEQ ID NO: 24.

Таким образом, одним из вариантов осуществления изобретения является биспецифическое двухвалентное антитело, содержащее первый антигенсвязывающий центр, который специфически связывается с человеческим VEGF, и второй антигенсвязывающий центр, который специфически связывается с человеческим ANG-2, отличающееся тем, что содержит аминокислотные последовательности SEQ ID NO: 25, SEQ ID NO: 26, SEQ ID NO: 27 и SEQ ID NO: 28.

Антитела, предлагаемые в изобретении, обладают очень ценными свойствами, связанными со специфическими модификациями в Fc-области/константной области, что обеспечивает благоприятное действие на пациента, страдающего сосудистыми глазными заболеваниями. Они отличаются

высокой стабильностью в среде стекловидного тела, и медленной диффузией из глаза (по сравнению с фрагментами антител меньшего размера, не содержащими константную область тяжелой цепи), при этом фактическое заболевание локализуется и лечится (таким образом, схему лечения потенциально можно  
5 улучшать по сравнению со схемой, в которой применяют не-IgG-подобные антитела, например, типа Fab- и (Fab)<sub>2</sub>-фрагментов). При создании изобретения неожиданно было установлено, что по сравнению с немодифицированными антителами IgG-типа время полужизни в глазу после интравитреального введения антител с мутациями I253A, H310A и H435A в константной области  
10 (которые не обладают больше способностью к связыванию FcRn) оказалось сходным (лишь незначительно снижалось) (таблицы 17а и 18а и фиг. 7Г и 7Д), в то время как диффузия из глаза в сыворотку крови была сходной (таблица 15 и фиг.7Б). Это является очень ценным, так как для лечения сосудистых глазных заболеваний, связанных с ANG2 и/или VEGF, требуется элиминировать VEGF и  
15 Ang2 из глаза (например, посредством транспортировки в сыворотку крови в виде комплекса антитело к ANG2/ANG2 или комплекса антитело к VEGF/VEGF). С другой стороны, для антител, предлагаемых в изобретении, характерен довольно быстрый клиренс из сыворотки по сравнению с немодифицированными антителами IgG-типа (что является очень желательным для снижения  
20 потенциальных побочных действий, связанных с системной экспозицией).

При создании изобретения также неожиданно было установлено, что указанные антитела обладают низкой вязкостью (см. фиг. 2) (по сравнению с версиями, не имеющими мутаций I253A, H310A и H435A в константной области), и, следовательно, наиболее пригодны для введения в стекловидное  
25 тело с помощью тонких игл в процессе лечения глазных болезней (для указанного применения, как правило, используют тонкие иглы и высокая вязкость очень затрудняет указанное введение). Более низкая вязкость позволяет также использовать более концентрированные композиции.

При создании изобретения также неожиданно была выявлена меньшая  
30 тенденция к агрегации (фиг. 4) в процессе хранения (по сравнению с версиями без мутаций I253A, H310A и H435A в Fc-области), что имеет решающее значение для введения в стекловидное тело глаза (поскольку агрегация в глазу может приводить к осложнениям в процессе такого лечения). Биспецифические

антитела, предлагаемые в изобретении, обладают высокой эффективностью в отношении подавления сосудистых заболеваний.

В некоторых вариантах осуществления изобретения биспецифические антитела, предлагаемые в изобретении, благодаря их специфическим модификациям в константной области (например, P329G LALA), отличаются ценными свойствами, такими как отсутствие связывания с Fcгамма-рецепторами, что снижает риск побочных действий, таких как тромбоз и/или нежелательная клеточная гибель (связанная, например, с ADCC).

#### Описание чертежей

10 На чертежах показано:

на фиг. 1 – схема, иллюстрирующая концепцию и преимущества антител к VEGF-ANG-2 (<VEGF-ANG-2>) IgG1- или IgG4-типа с мутациями AAA (мутации I253A, H310A и H435A – нумерация согласно EU-индексу Кэбота);

15 на фиг. 2 – результаты измерений вязкости в лабораторных условиях на основе DLS (динамическое рассеяние света). Представлены данные о полученной путем экстраполяции вязкости при 150 мг/мл в 200мМ аргинине/сукцинате, pH 5,5 (сравнение антител <VEGF-ANG-2>, предлагаемых в изобретении, VEGFang2-0016 (с AAA-мутациями) с референс-антителом VEGFang2-0015 (без AAA-мутаций));

20 на фиг. 3 – полученные с помощью DLS данные об агрегации в зависимости от температуры (включающие полученные с помощью DLS данные о температуре начала агрегации) в 20мМ His, 140мМ NaCl, pH 6,05 (сравнение антител <VEGF-ANG-2>, предлагаемых в изобретении, VEGFang2-0016 (с AAA-мутациями) с референс-антителом VEGFang2-0015 (без AAA-мутаций));

25 на фиг. 4 – данные о хранении в течение 7 дней при 40°C в концентрации 100 мг/мл (снижение основного пика и повышение пика, соответствующего высокомолекулярным (HMW) видам (сравнение антител <VEGF-ANG-2>, предлагаемых в изобретении, VEGFang2-0016 (с AAA-мутациями), для которых характерна более низкая агрегация, с референс-антителом VEGFang2-0015 (без AAA-мутаций));

30 на фиг. 5А – данные об аффинности к FcRn в стабильном состоянии VEGFang2-0015 (без AAA-мутаций): наложение Вiasore-сенсограмм,

полученных при различных концентрациях, демонстрирует зависящее от концентрации связывание VEGFang2-0015 (без AAA-мутаций) с FcRn;

на фиг. 5Б - данные об аффинности к FcRn в стабильном состоянии антитела, представленного на фиг. 5А: VEGFang2-0015 (без AAA-мутаций):

5 кривая зависимости связывания от концентрации VEGFang2-0015 (без AAA-мутаций), описывающая связывание с FcRn;

на фиг. 5В - данные о аффинности к FcRn в стабильном состоянии VEGFang2-0016 (с AAA-мутациями): наложение Biacore-сенсограмм, полученных при различных концентрациях, демонстрирует отсутствие

10 связывание с FcRn при всех концентрациях;

на фиг. 5Г - данные о аффинности к FcRn в стабильном состоянии VEGFang2-0016 (с AAA-мутациями): кривая зависимости связывания от концентрации VEGFang2-0016 (с AAA-мутациями, демонстрирует отсутствие связывания с FcRn;

15 на фиг. 5Д - данные о аффинности к FcRn в стабильном состоянии VEGFang2-0016 (с AAA-мутациями): кривая зависимости связывания от концентрации VEGFang2-0016 (с AAA-мутациями), демонстрирует отсутствие связывания с FcRn (диапазон ответа от -0,6 до 0,2 RU/диапазоны концентраций от 0 до 0,35М);

20 на фиг. 6 – результаты количественной оценки взаимодействия FсгаммаRIIIa с VEGFang2-0015 без AAA-мутаций и VEGFang2-0016 с AAA-мутациями (оба в виде антител IgG1-подкласса с мутациями P329G LALA; в качестве контроля применяли антитело к Dig IgG1-подкласса и антитело, основой которого являлся IgG4);

25 на фиг. 7А – схема, иллюстрирующая принцип применяемого для изучения ФК ELISA-анализа, предназначенного для определения концентраций биспецифических антител <VEGF/Ang2> в сыворотке и лизатах всего глаза;

на фиг. 7Б – концентрация в сыворотке после внутривенного введения: сравнение соединений VEGFang2-0015 без AAA-мутаций и VEGFang2-0016 с  
30 AAA-мутациями;

на фиг. 7В – концентрация в сыворотке после интравитреального введения: сравнение соединений VEGFang2-0015 с AAA-мутациями и VEGFang2-0016 без AAA-мутаций;

на фиг. 7Г - концентрация в глазных лизатах VEGFang2-0016 (с AAA-мутациями) в правом и левом глазу (после интравитреального введения только в правый глаз в сравнении с внутривенным введением): после интравитреального введения значительные концентрации удалось обнаружить только в правом глазу. После внутривенного введения в лизатах глаз не удалось обнаружить никаких концентраций из-за небольшого времени полужизни в сыворотке VEGFang2-0016 (с AAA-мутацией);

на фиг. 7Д – концентрация глазных в лизатах VEGFang2-0015 (без AAA-мутации) правого и левого глаза (после интравитреального введения только в правый глаз в сравнении с внутривенным введением): в правом глазу (и в некоторой степени в левом глазу) после интравитреального введения удалось обнаружить концентрации VEGFang2-0015. Это свидетельствует о диффузии из правого глаза в сыворотку и из нее в левый глаз, что можно объяснить длительным временем полужизни VEGFang2-0015 (без AAA-мутации). После внутривенного введения удалось также обнаружить значительные концентрации в лизатах обоих глаз в результате диффузии в глаза сохраняющего стабильность в сыворотке VEGFang2-0015 (без AAA-мутации).

#### Подробное описание изобретения

В одном из вариантов осуществления изобретения биспецифическое антитело, предлагаемое в изобретении, является двухвалентным.

В одном из объектов изобретения указанное биспецифическое двухвалентное антитело, предлагаемое в изобретении, отличается тем, что содержит

а) тяжелую цепь и легкую цепь первого полноразмерного антитела, которое специфически связывается с VEGF;

б) модифицированную тяжелую цепь и модифицированную легкую цепь второго полноразмерного антитела, которое специфически связывается с ANG-2, в котором константные домены CL и CH1 заменены друг на друга.

Указанный формат биспецифического двухвалентного антитела в качестве биспецифического антитела, специфически связывающегося с человеческим сосудистым эндотелиальным фактором роста (VEGF) и человеческим ангиопоэтином-2 (ANG-2), описан в WO 2009/080253 (включая модифицированные с помощью технологии «knobs-into-holes» (обеспечение

взаимодействия по типу «выступы-во впадины») СНЗ-домены). Антитела, основой которых является указанный формат биспецифического двухвалентного антитела, обозначают как CrossMab.

5 В одном из вариантов осуществления изобретения биспецифическое двухвалентное антитело отличается тем, что содержит

а) в качестве тяжелой цепи первого полноразмерного антитела аминокислотную последовательность SEQ ID NO: 25 и в качестве легкой цепи первого полноразмерного антитела аминокислотную последовательность SEQ ID NO: 27, и

10 б) в качестве модифицированной тяжелой цепи второго полноразмерного антитела аминокислотную последовательность SEQ ID NO: 26 и в качестве модифицированной легкой цепи второго полноразмерного антитела аминокислотную последовательность SEQ ID NO: 28.

15 В одном из вариантов осуществления изобретения биспецифическое двухвалентное антитело отличается тем, что содержит

а) в качестве тяжелой цепи первого полноразмерного антитела аминокислотную последовательность SEQ ID NO: 21 и в качестве легкой цепи первого полноразмерного антитела аминокислотную последовательность SEQ ID NO: 23, и

20 б) в качестве модифицированной тяжелой цепи второго полноразмерного антитела аминокислотную последовательность SEQ ID NO: 22 и в качестве модифицированной легкой цепи второго полноразмерного антитела аминокислотную последовательность SEQ ID NO: 24.

25 В одном из вариантов осуществления изобретения биспецифическое двухвалентное антитело отличается тем, что содержит

а) в качестве тяжелой цепи первого полноразмерного антитела аминокислотную последовательность SEQ ID NO: 29 и в качестве легкой цепи первого полноразмерного антитела аминокислотную последовательность SEQ ID NO: 31, и

30 б) в качестве модифицированной тяжелой цепи второго полноразмерного антитела аминокислотную последовательность SEQ ID NO: 30 и в качестве модифицированной легкой цепи второго полноразмерного антитела аминокислотную последовательность SEQ ID NO: 32.

Таким образом, одним из вариантов осуществления изобретения является биспецифическое двухвалентное антитело, содержащее первый антигенсвязывающий центр, который специфически связывается с человеческим VEGF, и второй антигенсвязывающий центр, который специфически связывается с человеческим ANG-2, отличающееся тем, что содержит аминокислотные последовательности SEQ ID NO: 25, SEQ ID NO: 26, SEQ ID NO: 27 и SEQ ID NO: 28.

Таким образом, одним из вариантов осуществления изобретения является биспецифическое двухвалентное антитело, содержащее первый антигенсвязывающий центр, который специфически связывается с человеческим VEGF, и второй антигенсвязывающий центр, который специфически связывается с человеческим ANG-2, отличающееся тем, что содержит аминокислотные последовательности SEQ ID NO: 21, SEQ ID NO: 22, SEQ ID NO: 23 и SEQ ID NO: 24.

Таким образом, одним из вариантов осуществления изобретения является биспецифическое двухвалентное антитело, содержащее первый антигенсвязывающий центр, который специфически связывается с человеческим VEGF, и второй антигенсвязывающий центр, который специфически связывается с человеческим ANG-2, отличающееся тем, что содержит аминокислотные последовательности SEQ ID NO: 29, SEQ ID NO: 30, SEQ ID NO: 31 и SEQ ID NO: 32.

Другим объектом изобретения является биспецифическое антитело, предлагаемое в изобретении, отличающееся тем, что содержит

а) тяжелую цепь и легкую цепь первого полноразмерного антитела, которое специфически связывается с VEGF;

б) тяжелую цепь и легкую цепь второго полноразмерного антитела, которое специфически связывается с ANG-2, в котором N-конец тяжелой цепи соединен с С-концом легкой цепи через пептидный линкер.

Указанный формат биспецифического двухвалентного антитела в качестве биспецифического антитела, специфически связывающегося с человеческим сосудистым эндотелиальным фактором роста (VEGF) и человеческим ангиопоэтином-2 (ANG-2), описан в WO 2011/117330, включая модифицированные с помощью технологии «knobs-into-holes» CH3-домены.

Антитела, основой которых является указанный формат биспецифического двухвалентного антитела, обозначают как OAscFab.

В одном из вариантов осуществления изобретения биспецифическое двухвалентное антитело отличается тем, что содержит

5 а) в качестве тяжелой цепи первого полноразмерного антитела аминокислотную последовательность SEQ ID NO: 33 и в качестве легкой цепи первого полноразмерного антитела аминокислотную последовательность SEQ ID NO: 35, и

10 б) в качестве тяжелой цепи второго полноразмерного антитела, соединенного с легкой цепью второго полноразмерного антитела через пептидный линкер, аминокислотную последовательность SEQ ID NO: 34.

В одном из вариантов осуществления изобретения биспецифическое двухвалентное антитело отличается тем, что содержит

15 а) в качестве тяжелой цепи первого полноразмерного антитела аминокислотную последовательность SEQ ID NO: 36 и в качестве легкой цепи первого полноразмерного антитела аминокислотную последовательность SEQ ID NO: 38, и

20 б) в качестве тяжелой цепи второго полноразмерного антитела, соединенного с легкой цепью второго полноразмерного антитела через пептидный линкер, аминокислотную последовательность SEQ ID NO: 37.

В одном из вариантов осуществления изобретения переменный домен тяжелой цепи антитела (VH) и переменный домен легкой цепи антитела (VL) тяжелой и легкой цепи второго полноразмерного антитела стабилизируют дисульфидом путем интродукции дисульфидной связи между следующими 25 положениями: положение 44 в переменном домене тяжелой цепи и положение 100 в переменном домене легкой цепи (нумерация во всех случаях согласно EU-индексу Кэбота (Kabat E.A. и др., Sequences of Proteins of Immunological Interest, 5-ое изд., Public Health Service, National Institutes of Health, Bethesda, MD, 1991). Указанной дополнительной стабилизации дисульфидом достигают 30 путем интродукции дисульфидной связи между переменными доменами VH и VL тяжелой и легкой цепи второго полноразмерного антитела. Методики интродукции не встречающихся в естественных условиях дисульфидных мостиков для стабилизации описаны, например, в WO 94/029350, у Rajagopal V.

и др., Prot. Engin. 10, 1997, сс. 1453-1459; Kobayashi и др., Nuclear Medicine & Biology 25, 1998, сс. 387-393 или Schmidt M. и др., Oncogene 18, 1999, сс. 1711-1721.

Одним из вариантов осуществления изобретения является биспецифическое  
5 двухвалентное антитело, содержащее первый антигенсвязывающий центр, который специфически связывается с человеческим VEGF, и второй антигенсвязывающий центр, который специфически связывается с человеческим ANG-2, отличающееся тем, что содержит аминокислотные последовательности SEQ ID NO: 33, SEQ ID NO: 34 и SEQ ID NO: 35.

10 Одним из вариантов осуществления изобретения является биспецифическое двухвалентное антитело, содержащее первый антигенсвязывающий центр, который специфически связывается с человеческим VEGF, и второй антигенсвязывающий центр, который специфически связывается с человеческим ANG-2, отличающееся тем, что содержит аминокислотные последовательности  
15 SEQ ID NO: 36, SEQ ID NO: 37 и SEQ ID NO: 38.

Согласно одному из вариантов осуществления изобретения СНЗ-домены биспецифического двухвалентного антитела, предлагаемого в изобретении, изменяют с помощью технологии «knob-into-holes», которая описана подробно с помощью нескольких примеров, например, в WO 96/027011, у Ridgway J.B. и др.,  
20 Protein Eng 9, 1996, сс. 617-621 и Merchant A.M. и др., Nat Biotechnol 16, 1998, сс. 677-681. При осуществлении этого метода поверхности взаимодействия двух СНЗ-доменов изменяют с целью повышения гетеродимеризации обеих тяжелых цепей, содержащих два указанных СНЗ-домена. Каждый из двух СНЗ-доменов (двух тяжелых цепей) может представлять собой «выступ», а другой  
25 представлять собой «впадину». Интродукция дисульфидного мостика стабилизирует гетеродимеры (Merchant A.M и др., Nature Biotech 16, 1998, сс. 677-681; Atwell S. и др., J. Mol. Biol. 270, 1997, сс. 26-35) и повышает выход.

В предпочтительном объекте изобретения все биспецифические антитела, предлагаемые в изобретении, отличаются тем, что

30 СНЗ-домен одной тяжелой цепи и СНЗ-домен другой тяжелой цепи каждый вступает в контакт на поверхности раздела, которая представляет собой исходную поверхность раздела между СНЗ-доменами антитела,

где указанную поверхность изменяют так, чтобы способствовать образованию биспецифического антитела, где изменение отличается тем, что

а) изменяют СНЗ-домен одной тяжелой цепи,

5 так, что в исходной поверхности раздела СНЗ-домена одной тяжелой цепи, которая контактирует с исходной поверхностью раздела СНЗ-домена другой тяжелой цепи в биспецифическом антителе,

10 аминокислотный остаток заменяют на аминокислотный остаток, имеющий больший объем боковой цепи, создавая тем самым выпуклость на поверхности раздела СНЗ-домена одной тяжелой цепи, которая может помещаться в полость в поверхности раздела СНЗ-домена другой тяжелой цепи,

и

б) изменяют СНЗ-домен другой тяжелой цепи,

15 так, что в исходной поверхности раздела второго СНЗ-домена, которая контактирует с исходной поверхностью раздела первого СНЗ-домена в биспецифическом антителе,

аминокислотный остаток заменяют на аминокислотный остаток, имеющий меньший объем боковой цепи, создавая тем самым полость в поверхности раздела второго СНЗ-домена, в которую может помещаться выпуклость на поверхности раздела первого СНЗ-домена.

20 Таким образом, антитело, предлагаемое в изобретении, отличаются тем, что СНЗ-домен первой тяжелой цепи полноразмерного антитела, указанного в подпункте а), и СНЗ-домен второй тяжелой цепи полноразмерного антитела, указанного в подпункте б), каждый вступает в контакт на поверхности раздела, которая имеет изменение в исходной поверхности раздела между СНЗ-доменами антитела,

25 где I) в СНЗ-домене одной тяжелой цепи

аминокислотный остаток заменяют на аминокислотный остаток, имеющий больший объем боковой цепи, создавая тем самым выпуклость на поверхности раздела СНЗ-домена одной тяжелой цепи, которая может помещаться в полость в поверхности раздела СНЗ-домена другой тяжелой цепи,

30 и где II) в СНЗ-домене второй тяжелой цепи

аминокислотный остаток заменяют на аминокислотный остаток, имеющий меньший объем боковой цепи, создавая тем самым полость в поверхности

раздела второго СНЗ-домена, в которую может помещаться выпуклость на поверхности раздела первого СНЗ-домена.

Предпочтительно аминокислотный остаток, имеющий больший объем боковой цепи, выбирают из группы, состоящей из аргинина (R), фенилаланина (F), тирозина (Y), триптофана (W).

Предпочтительно аминокислотный остаток, имеющий меньший объем боковой цепи, выбирают из группы, состоящей из аланина (A), серина (S), треонина (T), валина (V).

В одном из объектов изобретения оба СНЗ-домена дополнительно изменяют путем интродукции аминокислоты цистеина (C) в соответствующие положения каждого СНЗ-домена, так, чтобы мог образовываться дисульфидный мостик между обоими СНЗ-доменами.

В одном из вариантов осуществления изобретения биспецифическое антитело содержит мутацию T366W в СНЗ-домене «цепи с выступами» и мутации T366S, L368A, Y407V в СНЗ-домене «цепи с впадиной». Можно применять также дополнительный межцепочечный дисульфидный мостик между СНЗ-доменами (Merchant A.M и др., Nature Biotech 16, 1998, сс. 677-681), например, путем интродукции мутации Y349C в СНЗ-домен «цепи с выступами» и мутации E356C или мутации S354C в СНЗ-домен «цепи с впадиной»

В другом варианте осуществления изобретения биспецифическое антитело содержит мутации Y349C, T366W в одном из двух СНЗ-доменов и мутации E356C, T366S, L368A, Y407V во втором из двух СНЗ-доменов. В другом предпочтительном варианте осуществления изобретения биспецифическое антитело содержит мутации Y349C, T366W в одном из двух СНЗ-доменов и мутации S354C, T366S, L368A, Y407V во втором из двух СНЗ-доменов (дополнительная мутация Y349C в одном из СНЗ-доменов и дополнительная мутация E356C или S354C в другом СНЗ-домене приводит к образованию межцепочечного дисульфидного мостика) (нумерация во всех случаях согласно EU-индексу Кэбота (Kabat и др., Sequences of Proteins of Immunological Interest, 5-ое изд., изд-во Public Health Service, National Institutes of Health, Bethesda, MD, 1991)). В альтернативном или дополнительном варианте можно применять также другие варианты технологии «knobs-in-holes», представленные в EP 1870459 A1. Так, другим примером мутаций для биспецифического антитела являются

мутации R409D; K370E в СНЗ-доме «цепи с выступами» и мутации D399K; E357K в СНЗ-доме «цепи с впадиной» (нумерация во всех случаях согласно EU-индексу Кэбота (Kabat и др., Sequences of Proteins of Immunological Interest, 5-ое изд., изд-во Public Health Service, National Institutes of Health, Bethesda, MD, 1991)).

В другом варианте осуществления изобретения биспецифическое антитело содержит мутацию T366W в СНЗ-доме «цепи с выступами» и мутации T366S, L368A, Y407V в СНЗ-доме «цепи с впадиной» и дополнительно мутации R409D; K370E в СНЗ-доме «цепи с выступами» и мутации D399K; E357K в СНЗ-доме «цепи с впадиной».

В другом варианте осуществления изобретения биспецифическое антитело содержит мутации Y349C, T366W в одном из двух СНЗ-доменов и мутации S354C, T366S, L368A, Y407V во втором из двух СНЗ-доменов или указанное трехвалентное биспецифическое антитело содержит мутации Y349C, T366W в одном из двух СНЗ-доменов и мутации S354C, T366S, L368A, Y407V во втором из двух СНЗ-доменов и дополнительно мутации R409D; K370E в СНЗ-доме «цепи с выступами» и мутации D399K; E357K в СНЗ-доме «цепи с впадиной».

В одном из вариантов осуществления изобретения биспецифическое антитело, предлагаемое в изобретении, отличается наличием одного или нескольких следующих свойств (для определения которых применяют анализы, описанные в примере б)

- характеризуется более низкой концентрацией в сыворотке по сравнению с соответствующим биспецифическим антителом без мутаций, указанных в подпункте III) (через 96 ч после введения в стекловидное тело у мышей, которые имеют дефицит мышинового FcRn, но являются гемизиготными трансгенными по человеческому FcRn);

- характеризуется сходной (фактор 0,8-1,2) концентрацией в лизатах всего правого глаза по сравнению с соответствующим биспецифическим антителом без мутаций, указанных в подпункте III) (у мышей, которые имеют дефицит мышинового FcRn, но являются гемизиготными трансгенными по человеческому FcRn, через 96 ч после введения в стекловидное тело правого глаза).

В одном из вариантов осуществления изобретения биспецифическое двухвалентное антитело отличается тем, что содержит первый

антигенсвязывающий центр, который специфически связывается с человеческим VEGF, и второй антигенсвязывающий центр, который специфически связывается с человеческим ANG-2, отличающиеся тем, что

5 I) указанный первый антигенсвязывающий центр содержит в качестве переменного домена тяжелой цепи (VH) SEQ ID NO: 7 и в качестве переменного домена легкой цепи (VL) SEQ ID NO: 8; и

II) указанный второй антигенсвязывающий центр содержит в качестве переменного домена тяжелой цепи (VH) SEQ ID NO: 15 и в качестве переменного домена легкой цепи (VL) SEQ ID NO: 16, и

10 III) биспецифическое антитело содержит константную область тяжелой цепи подкласса IgG1 или IgG4 (выведенную из человеческого антитела) и содержащую мутации I253A, N310A и H435A (нумерация согласно EU-индексу Кэбота), и

15 отличается наличием одного или нескольких следующих свойств (для определения которых применяют анализы, описанные в примере 6)

- характеризуется более низкой концентрацией в сыворотке по сравнению с соответствующим биспецифическим антителом без мутаций, указанных в подпункте III) (через 96 ч после интравитреального введения мышам, которые имеют дефицит мышинового FcRn, но являются гемизиготными трансгенными по 20 человеческому FcRn);

- характеризуется сходной (отличаются в 0,8-1,2 раза) концентрацией в лизатах всего правого глаза по сравнению с соответствующим биспецифическим антителом без мутаций, указанных в подпункте III) (у мышей, которые имеют дефицит мышинового FcRn, но являются гемизиготными трансгенными по 25 человеческому FcRn, через 96 ч после интравитреального введения в правый глаз).

В одном из вариантов осуществления изобретения биспецифическое двухвалентное антитело отличается тем, что содержит первый антигенсвязывающий центр, который специфически связывается с человеческим 30 VEGF, и второй антигенсвязывающий центр, который специфически связывается с человеческим ANG-2, отличающиеся тем, что

I) указанный первый антигенсвязывающий центр содержит в качестве переменного домена тяжелой цепи (VH) SEQ ID NO: 7 с 1, 2 или 3

аминокислотными заменами и в качестве вариабельного домена легкой цепи (VL) SEQ ID NO: 8 с 1, 2 или 3 аминокислотными заменами; и

II) указанный второй антигенсвязывающий центр содержит в качестве вариабельного домена тяжелой цепи (VH) SEQ ID NO: 15 с 1, 2 или 3

5 аминокислотными заменами и в качестве вариабельного домена легкой цепи (VL) SEQ ID NO: 16 с 1, 2 или 3 аминокислотными заменами, и

III) биспецифическое антитело содержит константную область тяжелой цепи подкласса IgG1 или IgG4 (выведенную из человеческого антитела) и содержащую мутации I253A, H310A и H435A (нумерация согласно EU-индексу Кэбота), и

10 отличается наличием одного или нескольких следующих свойств (для определения которых применяют анализы, описанные в примере б)

- характеризуется более низкой концентрацией в сыворотке по сравнению с соответствующим биспецифическим антителом без мутаций, указанных в подпункте III) (через 96 ч после интравитреального введения мышам, которые имеют дефицит мышинового FcRn, но являются гемизиготными трансгенными по человеческому FcRn);

15 - характеризуется сходной (отличаются в 0,8-1,2 раза) концентрацией в лизатах всего правого глаза по сравнению с соответствующим биспецифическим антителом без мутаций, указанных в подпункте III) (у мышей, которые имеют дефицит мышинового FcRn, но являются гемизиготными трансгенными по человеческому FcRn, через 96 ч после интравитреального введения в правый глаз).

25 В контексте настоящего описания понятие «антитело» относится к связывающему белку, который содержит антигенсвязывающие центры (сайты). Понятия «связывающий сайт» или «антигенсвязывающий центр» в контексте настоящего описания означает область(и) молекулы антитела, в которой(ыми) фактически связывается лиганд. «Антигенсвязывающий центр» содержит вариабельные домены тяжелой цепи антитела (VH) и вариабельные домены легкой цепи антитела (VL) (пара VH/VL).

30 Понятие «специфичность антитела» относится к избирательному распознаванию антителом конкретного эпитопа антигена. Встречающиеся в естественных условиях антитела являются, например, моноспецифическими.

Согласно изобретению «биспецифические антитела» представляют собой антитела, которые имеют две различные антигенсвязывающие специфичности. Антитела, предлагаемые в настоящем изобретении, являются специфическими в отношении двух различных антигенов, VEGF в качестве первого антигена и ANG-2 в качестве второго антигена.

В контексте настоящего описания понятие «моноспецифическое» антитело означает антитело, которое имеет один или несколько связывающих сайтов, каждый из которых связывается с одним и тем же эпитопом одного и того же антигена.

В контексте настоящего описания понятие «валентный» означает присутствие конкретного количества связывающих сайтов в молекуле антитела. Так, понятия «двухвалентный», «четырёхвалентный» и «шестивалентный» означает присутствие двух связывающих сайтов, четырех связывающих сайтов и шести связывающих сайтов соответственно в молекуле антитела.

Биспецифические антитела, предлагаемые в изобретении, предпочтительно являются «двухвалентными».

В контексте настоящего описания понятие «VEGF» относится к человеческому сосудистому эндотелиальному фактору роста (VEGF/VEGF-A), т.е. состоящему из 165 аминокислот фактору роста человеческих эндотелиальных клеток сосудов (аминокислоты 27-191 последовательности-предшественника человеческого VEGF165: SEQ ID NO: 17; аминокислоты 1-26 обозначают сигнальный пептид), и к родственным изоформам 121, 189 и 206 фактора роста эндотелиальных клеток сосудов, которые описаны у Leung D.W. и др., Science 246, 1989, сс. 1306-1309; Houck и др., Mol. Endocrin. 5, 1991, сс. 1806-1814; Keck P.J. и др., Science 246, 1989, сс. 1309-1312 и Connolly D.T. и др., J. Biol. Chem. 264, 1989, сс. 20017-20024; а также к встречающимся в естественных условиях аллельным и процессированным формам указанных факторов роста. VEGF участвует в регуляции нормального и аномального ангиогенеза и неоваскуляризации, ассоциированной с опухолями и внутриглазными болезнями (Ferrara N. и др., Endocr. Rev. 18, 1997, сс. 4-25; Berkman R.A. и др., J. Clin. Invest. 91, 1993, сс. 153-159; Brown L.F. и др., Human Pathol. 26, 1995, сс. 86-91; Brown L.F. и др., Cancer Res. 53, 1993, сс. 4727-4735; Mattern J. и др., Brit. J. Cancer. 73, 1996, сс. 931-934 и Dvorak H.F. и др., Am. J.

Pathol. 146, 1995, сс. 1029-1039). VEGF представляет собой гомодимерный гликопротеин, который был выделен из нескольких источников и включает несколько изоформ. Для VEGF характерна высокая специфическая митогенная активность в отношении эндотелиальных клеток.

5 В контексте настоящего описания понятие «ANG-2» относится к человеческому ангиопоэтину-2 (ANG-2) (который сокращенно обозначают как ANGPT2 или ANG2) (SEQ ID NO: 18), который описан, например, у Maisonpierre P.C. и др., Science 277, 1997, сс. 55-60 и Cheung A.H. и др., Genomics 48, 1998, сс. 389-391. Ангиопоэтины-1 (SEQ ID NO: 19) и -2 описаны в качестве лигандов Tie, 10 семейства тирозинкиназ, которые избирательно экспрессируются в сосудистом эндотелии (Yancopoulos G.D. и др., Nature 407, 2000, 242-248). В настоящее время известно четыре определенных представителя семейства ангиопоэтинов. Ангиопоэтин-3 и -4 (Ang-3 и Ang-4) могут представлять собой отличающиеся широким разнообразием копии одного и того же генного локуса у мышей и 15 человека (Kim I. и др., FEBS Lett, 443, 1999, сс. 353-356; Kim I. и др., J Biol Chem 274, 1999, сс. 26523-26528). ANG-1 и ANG-2 впервые идентифицированы в экспериментах, проведенных на культурах ткани, в качестве агониста и антагониста соответственно (см. касательно ANG-1: Davis S. и др., Cell 87, 1996, сс. 1161-1169; и касательно ANG-2: Maisonpierre P.C. и др., Science 277, 1997, сс. 55-60). Все известные ангиопоэтины связываются, прежде всего, с Tie2 (SEQ ID 20 NO: 20), а аффинность связывания обоих Ang-1 и -2 с Tie2 составляет 3нМ (Kd) (Maisonpierre P.C. и др., Science 277, 1997, сс. 55-60).

Антигенсвязывающие центры биспецифического антитела, предлагаемого в изобретении, содержат шесть гипервариабельных участков (CDR), которые 25 обуславливают различные уровни аффинности связывающего антиген центра. Присутствует три CDR в вариабельном домене тяжелой цепи (CDRH1, CDRH2 и CDRH3) и три CDR в вариабельном домене легкой цепи (CDRL1, CDRL2 и CDRL3). Протяженность CDR и каркасных участков (FR) определяют путем сравнения с компилированной базой данных аминокислотных 30 последовательностей, в которых эти области определены на основе вариабельности между последовательностями.

Антитела, предлагаемые в изобретении, содержат константные области иммуноглобулинов, полученные из человеческих иммуноглобулинов одного или

нескольких классов, где указанные классы иммуноглобулинов включают классы IgG, IgM, IgA, IgD и IgE и в случае IgG и IgA их подклассы, прежде всего IgG1 и IgG4.

5 В контексте настоящего описания понятия «моноклональное антитело» или «композиция моноклонального антитела» относятся к препарату молекул антител с одинаковым аминокислотным составом.

10 Понятие «химерное антитело» относится к антителу, содержащему переменную область, т.е. связывающую область, из одного источника или вида и по меньшей мере часть константной области, выведенную из другого источника или вида, как правило, полученному с помощью методов рекомбинантной ДНК. Предпочтительными являются химерные антитела, содержащие мышиную переменную область и человеческую константную область. Другими предпочтительными формами «химерных антител», 15 подпадающих под объем настоящего изобретения, являются антитела, константная область которых модифицирована или изменена по сравнению с исходным антителом для создания свойств, предлагаемых в изобретении, прежде всего касающихся C1q-связывания и/или связывания Fc-рецептора (FcR). Указанные химерные антитела обозначают также как «антитела переключенного класса». Химерные антитела являются продуктом экспрессированных генов 20 иммуноглобулинов, содержащих ДНК-сегменты, которые кодируют переменные области иммуноглобулина, и ДНК-сегменты, которые кодируют константные области иммуноглобулина. Методы создания химерных антител включают общепринятые методы рекомбинантной ДНК и генной трансфекции, которые хорошо известны в данной области (см., например, Morrison S.L. и др., Proc. Natl. Acad. Sci. USA 81, 1984, сс. 6851-6855; US 5202238 и US 5204244. 25

30 Понятие «гуманизированное антитело» относится к антителам, в которых каркасный участок или гипервариабельные участки («определяющие комплементарность участки» (CDR)) модифицированы так, что содержат CDR иммуноглобулина другой специфичности относительно родительского иммуноглобулина. В предпочтительном варианте осуществления изобретения мышиный CDR трансплантируют в каркасный участок человеческого антитела для получения «гуманизированного антитела» (см., например, Riechmann L. и др., Nature 332, 1988, сс. 323-327 и Neuberger M.S. и др., Nature 314, 1985, сс.

268-270). Наиболее предпочтительные CDR соответствуют участкам, которые представлены последовательностями, распознающими антигены, указанным выше для химерных антител. Другими формами «гуманизированных антител», подпадающих под объем настоящего изобретения, являются антитела, константная область которых дополнительно модифицирована или изменена по сравнению с исходным антителом для создания свойств, предлагаемых в изобретении, прежде всего касающихся C1q-связывания и/или связывания Fc-рецептора (FcR).

В контексте настоящего описания подразумевается, что понятие «человеческое антитело» относится к антителам, которые имеют переменные и константные области, выведенные из последовательностей иммуноглобулинов человеческой зародышевой линии. Человеческие антитела хорошо известны в данной области (van Dijk M.A. и van de Winkel J.G., *Curr. Opin. Chem. Biol.* 5, 2001, сс. 368-374). Человеческие антитела можно получать также в трансгенных животных (например, мышах), которые могут после иммунизации продуцировать весь спектр человеческих антител или отобранные человеческие антитела в отсутствие эндогенного производства иммуноглобулинов. Перенос массива генов иммуноглобулинов человеческой зародышевой линии в таких несущих мутант зародышевой линии мышей может приводить к производству человеческих антител после контрольного заражения антигеном (см., например, Jakobovits A. и др., *Proc. Natl. Acad. Sci. USA* 90, 1993, сс. 2551-2555; Jakobovits A. и др., *Nature* 362, 1993, сс. 255-258; Brueggemann M. и др., *Year Immunol.* 7, 1993, сс. 33-40). Человеческие антитела можно получать также в фаговых дисплейных библиотеках (Hoogenboom H.R. и Winter G., *J. Mol. Biol.* 227, 1992, сс. 381-388; Marks J.D. и др., *J. Mol. Biol.* 222, 1991, сс. 581-597). Для получения человеческих моноклональных антител можно применять также методики, разработанные Cole A. с соавторами и Voerner P. с соавторами (Cole A. и др., *Monoclonal Antibodies and Cancer Therapy*, изд-во Liss A.L., 1985, с. 77 и Voerner P. и др., *J. Immunol.* 147, 1991, сс. 86-95). Как уже указывалось для химерных и гуманизированных антител, предлагаемых в изобретении, в контексте настоящего описания понятие «человеческое антитело» относится также к антителам, константная область которых модифицирована для создания свойств, предлагаемых в изобретении, прежде всего касающихся C1q-связывания и/или

связывания Fc-рецептора (FcR), например, путем «переключения класса», т.е. изменения или мутации Fc-областей (например, с IgG1 на IgG4 и/или мутация IgG1/IgG4).

5 В контексте настоящего описания подразумевается, что понятие «рекомбинантное антитело» включает все человеческие антитела, которые получены, экспрессированы, созданы или выделены методами рекомбинации, например, антитела, выделенные из клетки-хозяина, такой как NS0- или CHO-клетка или из животного (например, мыши), трансгенного по генам человеческого иммуноглобулина, или антитела, экспрессированные с помощью 10 рекомбинантного экспрессионного вектора, которым трансфектирована клетка-хозяин. Указанные рекомбинантные антитела имеют переменные и константные области в преобразованной форме. Рекомбинантные антитела, предлагаемые в изобретении, подвергались соматической гипермутации *in vivo*. Так, аминокислотные последовательности VH- и VL-областей рекомбинантных 15 антител представляют собой последовательности, которые хотя выведены и родственны последовательностям VH и VL человеческой зародышевой линии, могут не существовать в естественных условиях в популяции антител человеческой зародышевой линии *in vivo*.

20 В контексте настоящего описания «переменный домен» (переменный домен легкой цепи (VL), переменный домен тяжелой цепи (VH)) обозначает каждую из пары из легких и тяжелых цепей, которые непосредственно участвуют в связывании антитела с антигеном. Домены переменных человеческих легких и тяжелых цепей имеют одинаковую общую структуру, и каждый домен содержит четыре каркасных участка (FR), последовательности 25 которых обладают выраженным консерватизмом, соединенные тремя «гиперпеременными участками» (или определяющими комплементарность участками, CDR). Каркасные участки адаптированы к  $\beta$ -складчатой конформации, а CDR могут образовывать петли, соединяющие  $\beta$ -складчатую структуру. CDR в каждой цепи сохраняют свою трехмерную структуру с 30 помощью каркасных участков и образуют вместе с CDR из другой цепи антигенсвязывающий центр. CDR3-участки тяжелой и легкой цепи антитела играют наиболее важную роль в специфичности/аффинности связывания

антител, предлагаемых в изобретении, и поэтому являются дополнительным объектом изобретения.

В контексте настоящего описания понятия «гипервариабельный участок» или «антигенсвязывающая область антитела» относится к аминокислотным остаткам, которые ответственны за связывание антигена. Гипервариабельный участок содержит аминокислотные остатки из «определяющих комплементарность участков» или «CDR». «Каркасные участки» или «FR»-участки представляют собой области вариабельного домена, отличные от остатков гипервариабельных участков, указанных в настоящем описании. Таким образом, легкие и тяжелые цепи антитела содержат в направлении от N- к C-концу домены FR1, CDR1, FR2, CDR2, FR3, CDR3 и FR4. CDR на каждой цепи разделены указанными аминокислотами каркасного участка. CDR3 тяжелой цепи представляет собой область, которая вносит основной вклад в связывание антигена. CDR- и FR-участки определяют согласно стандартному определению Kabat E.A. и др., Sequences of Proteins of Immunological Interest, 5-ое изд., изд-во Public Health Service, National Institutes of Health, Bethesda, MD, 1991.

В контексте настоящего описания понятие «связывание» или «специфическое связывание» относится к связыванию антитела с эпитопом антигена (либо человеческого VEGF, либо человеческого ANG-2), установленному в анализе *in vitro*, предпочтительно анализе на основе поверхностного плазмонного резонанса (BIAcore, фирма GE-Healthcare Упсалла, Швеция), с очищенным антигеном дикого типа. Аффинность связывания оценивают в понятиях  $k_a$  (константа скорости ассоциации антитела/антигена в комплекс),  $k_D$  (константа диссоциации) и  $K_D$  ( $k_D/k_a$ ). В одном из вариантов осуществления изобретения связывание или специфическое связывание характеризуется аффинностью связывания ( $K_D$ ), составляющей  $10^{-8}$  моля/л или менее, в одном из вариантов осуществления от  $10^{-9}$  М до  $10^{-13}$  моля/л.

Понятие «эпитоп» относится к любой полипептидной детерминанте, обладающей способностью специфически связываться с антителом. В некоторых вариантах осуществления изобретения эпитопная детерминанта химически включает активные расположенные на поверхности группы молекул, таких как аминокислоты, боковые цепи аминокислот, фосфорил или сульфонил, и в некоторых вариантах осуществления изобретения, может иметь специфические

характеристики трехмерной структуры и/или специфические характеристики заряда. Эпитоп представляет собой область антигена, которая связывается с антителом.

В некоторых вариантах осуществления изобретения считается, что антитело специфически связывается с антигеном, когда оно избирательно распознает свой антиген-мишень в сложной смеси белков и/или макромолекул.

Понятие «полноразмерное антитело» относится к антителу, состоящему из двух «тяжелых цепей полноразмерного антитела» и двух «легких цепей полноразмерного антитела». «Тяжелая цепь полноразмерного антитела» представляет собой полипептид, содержащий в направлении от N-конца к C-концу тяжелой цепи антитела варибельный домен (VH), домен 1 константной области тяжелой цепи антитела (CH1), шарнирную область антитела (HR), домен 2 константной области тяжелой цепи антитела (CH2) и домен 3 константной области тяжелой цепи антитела (CH3), что сокращенно обозначают как VH-CH1-HR-CH2-CH3; и необязательно домен 4 константной области тяжелой цепи антитела (CH4) в случае антитела подкласса IgE. Предпочтительно «тяжелая цепь полноразмерного антитела» представляет собой полипептид, содержащий в направлении от N-конца к C-концу VH, CH1, HR, CH2 и CH3. «Легкая цепь полноразмерного антитела» представляет собой полипептид, содержащий в направлении от N-конца к C-концу легкой цепи антитела варибельный домен легкой цепи антитела (VL) и константный домен легкой цепи антитела (CL), что сокращенно обозначают как VL-CL. Константный домен легкой цепи антитела (CL) может быть  $\kappa$ - (каппа) или  $\lambda$ - (лямбда) типа. Две цепи полноразмерного антитела связаны друг с другом через межполипептидные дисульфидные связи между CL-доменом и CH1-доменом и между шарнирными областями тяжелых цепей полноразмерного антитела. Примерами типичных полноразмерных антител являются встречающиеся в естественных условиях антитела типа IgG (например, IgG1 и IgG2), IgM, IgA, IgD и IgE. Полноразмерные антитела, предлагаемые в изобретении, могут иметь происхождение из одного вида, например, человека, или они могут представлять собой химерные или гуманизированные антитела. Полноразмерные антитела, предлагаемые в изобретении, содержат два антигенсвязывающих центра, каждый образованный парой VH и VL, которые оба специфически связываются с одним и тем же

антигеном. Под С-концом тяжелой или легкой цепи указанного полноразмерного антитела понимают последнюю аминокислоту на С-конце указанной тяжелой или легкой цепи. Под N-концом тяжелой или легкой цепи указанного полноразмерного антитела понимают последнюю аминокислоту на N-конце указанной тяжелой или легкой цепи.

В контексте изобретения под «пептидным линкером» понимают пептид, содержащий аминокислотные последовательности, который предпочтительно имеет синтетическое происхождение. Указанные пептиды, предлагаемые в изобретении, применяют для соединения С-конца легкой цепи с N-концом тяжелой цепи второго полноразмерного антитела (которое специфически связывается со вторым антигеном) через пептидный линкер. Пептидный линкер в тяжелой и легкой цепи второго полноразмерного антитела представляет собой пептид, аминокислотная последовательность которого состоит по меньшей мере из 30 аминокислот, предпочтительно из 32-50 аминокислот. В одном из вариантов осуществления изобретения пептидный линкер представляет собой пептид, аминокислотная последовательность которого состоит из 32-40 аминокислот. В одном из вариантов осуществления изобретения указанный пептидный линкер представляет собой  $(G_xS)_n$ , где G = глицин, S =серин, ( $x = 3$ ,  $n = 8, 9$  или  $10$  и  $m = 0, 1, 2$  или  $3$ ) или ( $x = 4$  и  $n = 6, 7$  или  $8$  и  $m = 0, 1, 2$  или  $3$ ), предпочтительно  $x = 4$ ,  $n = 6$  или  $7$ , и  $m = 0, 1, 2$  или  $3$ , более предпочтительно  $x = 4$ ,  $n = 7$  и  $m = 2$ . В одном из вариантов осуществления изобретения указанный линкер представляет собой  $(G_4S)_6G_2$ .

В контексте настоящего описания понятие «константная область» означает сумму доменов антитела, отличных от вариабельной области. Константная область не участвует непосредственно в связывании антигена, но обеспечивает различные эффекторные функции. В зависимости от аминокислотной последовательности константной области их тяжелых цепей антитела подразделяют на классы: IgA, IgD, IgE, IgG и IgM, а некоторые из них можно дополнительно подразделять на подклассы, такие как IgG1, IgG2, IgG3 и IgG4, IgA1 и IgA2. Константные области тяжелой цепи, которые соответствуют различным классам иммуноглобулина, обозначают как  $\alpha$ ,  $\delta$ ,  $\epsilon$ ,  $\gamma$  и  $\mu$  соответственно. Константные области легкой цепи антитела, которые могут

присутствовать во всех пяти классах антител, обозначают как каппа ( $\kappa$ ) и лямбда ( $\lambda$ ).

В контексте настоящего описания понятия «константная область, выведенная из человеческого источника» или «человеческая константная область» означают константную область тяжелой цепи человеческого антитела подкласса IgG1, IgG2, IgG3 или IgG4 и/или константную область легкой каппа- или лямбда-цепи. Указанные константные области хорошо известны в данной области и описаны, например, у Kabat E.A. и др., *Sequences of Proteins of Immunological Interest*, 5-ое изд., изд-во, Public Health Service, National Institutes of Health, Bethesda, MD, 1991 (см, например, также Johnson G. и Wu T.T., *Nucleic Acids Res.* 28, 2000, сс. 214-218; Kabat E.A. и др., *Proc. Natl. Acad. Sci. USA* 72, 1975, сс. 2785-2788). В контексте настоящего описания для нумерации положений и мутаций применяют систему нумерации EU (EU-индекс) согласно Kabat E.A. и др., *Sequences of Proteins of Immunological Interest*, 5-ое изд., изд-во Public Health Service, National Institutes of Health, Bethesda, MD, 1991 и обозначают как «нумерация в соответствии с EU-индексом Кэбота».

В одном из вариантов осуществления изобретения биспецифические антитела, предлагаемые в изобретении, имеют константную область человеческого подкласса IgG1 (выведенную из человеческого подкласса IgG1).

В одном из вариантов осуществления изобретения биспецифические антитела, предлагаемые в изобретении, имеют константную область человеческого подкласса IgG4 (выведенную из человеческого подкласса IgG4).

В одном из вариантов осуществления изобретения биспецифическое антитело, предлагаемое в изобретении, представляет собой человеческое антитело подкласса IgG1 с мутациями L234A (Leu235Ala), L235A (Leu234Ala) и P329G (Pro329Gly). Указанное антитело обладает пониженной способностью связываться с FcR (прежде всего они больше не могут связываться с FcR $\gamma$ 1, FcR $\gamma$ 2 and FcR $\gamma$ 3). Это, прежде всего, ценно для снижения потенциальных побочных действий типа, например, тромбоза (Meuer T. и др., *J. Thromb. Haemost.* 7, 2009, сс. 171-181). В одном из вариантов осуществления изобретения биспецифическое антитело, предлагаемое в изобретении, представляет собой человеческое антитело подкласса IgG4 с мутациями S228P (Ser228Pro), L235E (Leu235Glu) и P329G (Pro329Gly). Указанное антитело

обладает пониженной описанной выше способностью связываться с FcR. Хотя уже описанная ранее мутация Pro329Ala удаляет только две трети взаимодействия при оценке с использованием FcгаммаRIIIa-сэндвича, Pro329Gly в антителах, предлагаемых в изобретении, полностью нарушает связывание Fc-области с FcгаммаRIII. Это является особенно ценным, поскольку связывание с FcгаммаRIII участвует в ADCC (антитело-обусловленная клеточнозависимая цитотоксичность), которая приводит к гибели клеток, что может быть полезным при лечении раковых заболеваний, но может вызывать серьезные побочные действия при лечении с использованием антител других сосудистых или иммунологических заболеваний. Поэтому предлагаемые в изобретении антитела IgG1-подкласса с мутациями L234A, L235A и P329G и IgG4-подкласса с мутациями S228P, L235E и P329G являются наиболее ценными, поскольку они оба больше не могут связываться с FcRгаммаI, FcRгаммаII и FcRгаммаIII.

В контексте настоящего описания понятие «с AAA-мутациями» относится к мутациям I253A (Ile253Ala), H310A (His310Ala) и H435A (His435Ala) в константной области тяжелой цепи IgG1 или IgG4, где нумерация соответствует EU-индексу Кэбота.

В контексте настоящего описания понятие «с P329G LALA-мутациями» относится к мутациям L234A (Leu235Ala), L235A (Leu234Ala) и P329G (Pro329Gly) в константной области тяжелой цепи IgG1-подкласса, где нумерация соответствует EU-индексу Кэбота. В контексте настоящего описания понятие «с SPLE-мутациями» относится к мутациям S228P (Ser228Pro) и L235E (Leu235Glu) в константной области тяжелой цепи IgG4-подкласса, где нумерация соответствует EU-индексу Кэбота. В контексте настоящего описания понятие «с SPLE и P329G-мутациями» относится к мутациям S228P (Ser228Pro), L235E (Leu235Glu) и P329G (Pro329Gly) в константной области тяжелой цепи IgG4-подкласса, где нумерация соответствует EU-индексу Кэбота.

Антитело, предлагаемое в изобретении, получают с помощью методов рекомбинации. Так, одним из объектов настоящего изобретения является нуклеиновая кислота, которая кодирует антитело, предлагаемое в изобретении, а другим объектом изобретения является клетка, которая содержит указанную нуклеиновую кислоту, которая кодирует антитело, предлагаемое в изобретении. Методы рекомбинантного получения широко известны в данной области и

закljučаются в том, что экспрессируют белок в прокариотических и эукариотических клетках с последующим выделением антитела и, как правило, очисткой до фармацевтически приемлемой чистоты. Для экспрессии антител в вышеуказанных клетках-хозяевах нуклеиновую кислоту, кодирующую соответствующие модифицированные легкие и тяжелые цепи, встраивают в экспрессионные векторы с помощью стандартных методов. Экспрессию осуществляют в пригодных прокариотических и эукариотических клетках-хозяевах типа CHO-клеток, NS0-клеток, SP2/0-клеток, HEK293-клеток, COS-клеток, PER.C6-клеток, дрожжей или клеток *E.coli*, и антитело выделяют из клеток (из супернатанта или клеток после лизиса). Общие методы рекомбинантного получения антител хорошо известны в данной области и описаны, например, в обзорных статьях Makrides S.C., *Protein Expr. Purif.* 17, 1999, сс.183-202; Geisse S. и др., *Protein Expr. Purif.* 8, 1996, сс. 271-282; Kaufman R.J., *Mol. Biotechnol.* 16, 2000, сс. 151-160; Werner R.G., *Drug Res.* 48, 1998, сс. 870-880.

Таким образом, одним из вариантов осуществления изобретения является способ получения биспецифического антитела, предлагаемого в изобретении, заключающийся в том, что осуществляют стадии, на которых

- а) трансформируют клетку-хозяина векторами, содержащими молекулы нуклеиновых кислот, которые кодируют указанное антитело;
- б) культивируют клетку-хозяина в условиях, обеспечивающих синтез указанной молекулы антитела; и
- в) выделяют указанную молекулу антитела из указанной культуры.

В одном из вариантов осуществления изобретения стадия выделения, указанная в подпункте в), включает применение специфического «захватывающего» реагента для константной области легкой цепи (который, например, является специфическим для константной области легкой каппа- или лямбда-цепи, в зависимости от того, легкая каппа- или лямбда цепь применяется в биспецифическом антителе, предлагаемом в изобретении). В одном из вариантов осуществления изобретения указанный специфически «захватывающий» реагент применяют в режиме связывания-и-элюции). Примерами указанных специфических для константной области легкой цепи «захватывающих» реагентов являются, например, KappaSelect™ и

LambdaFabSelect™ фирмы GE Healthcare/ВАС, основой которых является очень жесткий матрикс на основе агарозы, который обеспечивает высокие скорости потока и низкое обратное давление при крупномасштабном анализе. Их особенностью является лиганд, который связывается с константной областью легкой каппа- или лямбда-цепи соответственно (т.е. фрагменты, лишённые константной области легкой цепи не связываются; фиг. 1). Таким образом, оба реагента обладают способностью связываться с другими молекулами-мишенями, которые содержат константную область легкой цепи, например, IgG, IgA и IgM. Лиганды присоединяют к матриксу через плечо длинного гидрофильного спейсера, что делает их легко доступными для связывания с молекулой-мишенью. Они находятся на одноцепочечном фрагменте антитела, который подвергают скринингу в отношении каппа- или лямбда-цепи человеческого Ig.

Биспецифические антитела можно отделять от культуральной среды с помощью общепринятых процедур очистки иммуноглобулинов, таких, например, как хроматография на белок А-сефарозе, хроматография на гидроксилapatите, гель-электрофорез, диализ или аффинная хроматография. ДНК и РНК, кодирующие моноклональные антитела, легко выделять и секвенировать с помощью общепринятых процедур. Клетки гибридомы могут служить в качестве источника таких ДНК и РНК. После выделения ДНК можно встраивать в экспрессионные векторы, которыми затем трансфектируют клетки-хозяева, такие как НЕК 293-клетки, СНО-клетки или клетки миеломы, которые в противном случае не могут продуцировать белок иммуноглобулина, с получением в результате синтеза рекомбинантных моноклональных антител в клетках-хозяевах.

Варианты (или мутанты) аминокислотной последовательности биспецифического антитела получают путем интродукции соответствующих нуклеотидных замен в ДНК антитела или путем синтеза нуклеотидов. Однако указанные модификации можно осуществлять только в очень ограниченном диапазоне. Например, модификации не должны изменять указанные выше характеристики антитела, такие как IgG-подкласс и связывание антигена, но могут повышать выход рекомбинантного производства, стабильность белка или облегчать очистку.

В контексте настоящего описания понятие «клетка-хозяин» означает любой тип клеточной системы, который можно создавать для получения антител, предлагаемых в настоящем изобретении. В одном из вариантов осуществления изобретения в качестве клеток-хозяев применяют НЕК293-клетки и СНО-клетки.

5 В контексте настоящего описания понятия «клетка», «клеточная линия» и «клеточная культура» используются взаимозаменяемо, и они все включают потомство указанных клеток. Так, понятия «трансформанты» и «трансформированные клетки» включают первично трансформированную клетку и выведенные из нее культуры безотносительно к количеству пересевов. Следует  
10 понимать также, что потомство может не быть полностью идентичным по составу ДНК из-за произвольных или преднамеренных мутаций. Под объем изобретения подпадает вариант потомства, который обладает такой же функцией или биологической активностью, которая обнаружена в результате скрининга или отобрана у исходной трансформированной клетки.

15 Экспрессия в NS0-клетках описана, например, у Barnes L.M. и др., *Cytotechnology* 32, 2000, сс. 109-123; Barnes L.M. и др., *Biotech. Bioeng.* 73, 2001, сс. 261-270. Кратковременная экспрессия описана, например, у Durocher Y. и др., *Nucl. Acids. Res.* 30, 2002, E9. Клонирование переменных доменов описано у  
20 Orlandi R. и др., *Proc. Natl. Acad. Sci. USA* 86, 1989, сс. 3833-3837; Carter P. и др., *Proc. Natl. Acad. Sci. USA* 89, 1992, сс. 4285-4289 и у Norderhaug L. и др., *J. Immunol. Methods* 204, 1997, сс. 77-87. Предпочтительная система кратковременной экспрессии (НЕК 293) описана у Schlaeger E.-J. и Christensen K., *Cytotechnology* 30, 1999, сс. 71-83 и у Schlaeger E.-J., *J. Immunol. Methods* 194, 1996, сс. 191-199.

25 Контролирующие последовательности, которые можно применять для прокариот, включают, например, промотор, необязательно последовательность оператора и сайт связывания рибосом. Известно, что эукариотические клетки используют промоторы, энхансеры и сигналы полиаденилирования.

30 Нуклеиновая кислота является «функционально связанной», когда она находится в функциональной взаимосвязи с другой нуклеиновой кислотой. Например, ДНК предпоследовательности или секреторного лидера функционально связана с ДНК полипептида, если она экспрессируется в виде предбелка, который принимает участие в секреции полипептида; промотор или

энхансер функционально связан с кодирующей последовательности, если он влияет на транскрипцию последовательности; или сайт связывания рибосом функционально связан с кодирующей последовательностью, если он расположен так, чтобы облегчать трансляцию. Как правило, «функционально связанные»  
5 означает, что последовательности ДНК, подлежащие связыванию, являются смежными, а в случае секреторного лидера, смежными и находиться в рамке считывания. Однако не является обязательным, чтобы энхансеры были смежными. Связывание осуществляют путем лигирования в приемлемых сайтах рестрикции. Если указанные сайты не существуют, то согласно принятой  
10 практике используют синтетические олигонуклеотидные адапторы или линкеры.

Очистку антител осуществляют для того, чтобы элиминировать клеточные компоненты или другие загрязнители, например, другие клеточные нуклеиновые кислоты или белки, с использованием стандартных методик, включая обработку щелочью/ДСН, CsCl-бэндинг, хроматографию на колонках, электрофорез в  
15 агарозном геле и другие методы, хорошо известные в данной области (см. в Current Protocols in Molecular Biology, под ред. Ausubel F. и др., изд-во Greene Publishing and Wiley Interscience, New York, 1987). Для очистки белков детально разработаны и нашли широкое применение различные методы, такие как  
20 аффинная хроматография с использованием белков микроорганизмов (например, аффинная хроматография на белке А или белке G), ионообменная хроматография (например, катионообменная (карбоксиметильные смолы), анионообменная (аминоэтильные смолы) и хроматография на основе обмена смешанного типа), тиофильная адсорбция (например, с бета-меркаптоэтанолом и  
25 другими лигандами SH), хроматография гидрофобного взаимодействия или ароматической адсорбции (например, с фенил-сефарозой, аза-аренофильными смолами или *m*-аминофенилборной кислотой), металл-хелатная аффинная хроматография (например, с Ni(II)- и Cu(II)-аффинный материалом), гель-фильтрация и электрофоретические методы (такие как гель-электрофорез, капиллярный электрофорез) (Vijayalakshmi M.A., Appl. Biochem. Biotech. 75,  
30 1998, сс. 93-102).

Биспецифические двухвалентные антитела, предлагаемые в изобретении, оказывают благоприятное воздействие на больных людей, которые нуждаются в VEGF- и ANG-2-направленной терапии.

Двухвалентные биспецифические антитела к человеческому VEGF и человеческому ANG-2, предлагаемые в настоящем изобретении, могут иметь ценный профиль эффективности/безопасности и могут оказывать благоприятное действие на пациента, который нуждается в анти-VEGF- и анти-ANG-2-терапии.

5 Одним из объектов изобретения является фармацевтическая композиция, которая содержит антитело, предлагаемое в изобретении. Другим объектом изобретения является применение антитела, предлагаемого в изобретении, для приготовления фармацевтической композиции. Следующим объектом изобретения является способ приготовления фармацевтической композиции,  
10 которая содержит антитело, предлагаемое в изобретении. Еще одним объектом настоящего изобретения является композиция, например, фармацевтическая композиция, которая содержит антитело, предлагаемое в настоящем изобретении, приготовленная в сочетании с фармацевтическим носителем.

В контексте настоящего описания понятие «фармацевтический носитель»  
15 включает любой и все растворители, дисперсионные среды, покрытия, антибактериальные и противогрибковые агенты, придающие изотоничность и замедляющие абсорбцию агенты и т.п., которые являются физиологически совместимыми. Предпочтительно носитель можно применять для введения подлежащему лечению индивидууму местным путем. Например, антитело или  
20 содержащую его композицию можно вводить индивидууму путем внутриглазного применения, например, путем внутриглазной инъекции, такой как интравитреальная инъекция. Это можно осуществлять с помощью стандартных процедур, известных в данной области (см., например, Ritter и др., J. Clin. Invest. 116, 2006, сс. 3266-76; Russelakis-Carneiro и др., Neuropathol. Appl. Neurobiol. 25, 1999, сс. 196-206 и Wray и др., Arch. Neurol. 33, 1976, сс. 183-185).  
25

Композицию, предлагаемую в настоящем изобретении, можно вводить с помощью различных методов, известных в данной области. Как должно быть очевидно специалисту в данной области, путь и/или форму введения можно варьировать в зависимости от требуемых результатов. Для введения соединения,  
30 предлагаемого в изобретении, с помощью определенных путей введения может оказаться необходимым наносить на соединение покрытие из материала, препятствующего его инактивации, или осуществлять введение соединения совместно с таким материалом. Например, соединение можно вводить

индивидууму в соответствующем носителе, например, в липосомах или в разбавителе. К фармацевтически приемлемым разбавителям относятся физиологический раствор и водные забуферивающие растворы. К фармацевтически приемлемым носителям относятся стерильные водные растворы или дисперсии и стерильные порошки для приготовления стерильных инъекционных растворов или дисперсий непосредственно перед введением. Применение таких сред и агентов для обладающих фармацевтической активностью субстанций известно в данной области.

Можно применять целый ряд возможных путей введения, включая (но, не ограничиваясь только ими) внутриглазное применение или местное нанесение. В одном из вариантов осуществления изобретения применение является внутриглазным и включает (но, не ограничиваясь ими) подконъюнктивальную инъекцию, внутричерепную инъекцию, инъекцию в переднюю камеру через темпоральный лимб, интрастромальную инъекцию, инъекцию в роговицу, инъекцию сетчатку, инъекцию в водянистую влагу глаза, инъекцию в субтеновое пространство глаза или введение с помощью устройства с замедленным высвобождением, интравитреальную инъекцию (например, инъекцию в переднюю, срединную или заднюю область стекловидного тела). В одном из вариантов осуществления изобретения применение является местным и включает (но, не ограничиваясь только ими) нанесение глазных капель на роговицу.

В одном из вариантов осуществления изобретения биспецифическое антитело или фармацевтическую композицию, предлагаемое/предлагаемую в изобретении, применяют путем интравитреального введения, например, путем инъекции в стекловидное тело. Это можно осуществлять с помощью стандартных процедур, известных в данной области (см., например, Ritter и др., J. Clin. Invest. 116, 2006, сс. 3266-76; Russelakis-Carneiro и др., Neuropathol. Appl. Neurobiol. 25, 1999, сс. 196-206 и Wray и др., Arch. Neurol. 33, 1976, сс. 183-185).

В некоторых вариантах осуществления изобретения терапевтические наборы, предлагаемые в изобретении, могут содержать одну или несколько доз биспецифического антитела в фармацевтической композиции, указанной в настоящем описании, приемлемое устройство для инъекции в стекловидное тело фармацевтической композиции и инструкцию, детализирующую показания для

применения индивидуумам и протоколы осуществления инъекции. В этих вариантах осуществления изобретения композиции, как правило, вводят индивидууму, которые нуждаются в лечении, путем инъекции в стекловидное тело. Это можно осуществлять с помощью стандартных процедур, известных в данной области (см., например, Ritter и др., J. Clin. Invest. 116, 2006, сс. 3266-3276; Russelakis-Carneiro и др., Neuropathol. Appl. Neurobiol. 25, 1999, сс. 196-206 и Wray и др., Arch. Neurol. 33, 1976, сс. 183-185).

Композиции могут содержать также адьюванты, такие как консерванты, смачивающие вещества, эмульгаторы и диспергирующие агенты. Отсутствие микроорганизмов можно обеспечивать как с помощью процедур стерилизации (см. выше), так и путем включения различных антибактериальных и противогрибковых средств, таких, например, как парабен, хлорбутанол, фенол, сорбиновая кислота и т.п. Может оказаться целесообразным включать в композиции агенты для придания изотоничности, такие как сахара, хлорид натрия и т.п. Кроме того, можно пролонгировать абсорбцию инъекционной фармацевтической формы путем включения веществ, которые замедляют абсорбцию, таких как моностеарат алюминия и желатин.

Вне зависимости от выбранного пути введения соединения, предлагаемые в настоящем изобретении, которые можно применять в пригодной гидратированной форме, и/или фармацевтические композиции, предлагаемые в настоящем изобретении, приготавливают в виде фармацевтически приемлемых форм лекарственного средства с помощью общепринятых методов, известных специалистам в данной области.

Фактические уровни доз действующих веществ в фармацевтических композициях, предлагаемых в настоящем изобретении, можно варьировать для получения количества действующего вещества, которое является эффективным для достижения требуемого терапевтического ответа у конкретного пациента при использовании конкретной композиции и пути введения, но которое не является токсичным для пациента. Выбранный уровень доз должен зависеть от различных фармакокинетических факторов, включая активность конкретных применяемых композиций, предлагаемых в настоящем изобретении, путь введения, продолжительность введения, скорость экскреции конкретного применяемого соединения, продолжительность лечения, другие лекарственные

средства, соединения и/или материалы, которые используют в сочетании с конкретными применяемыми композициями, возраст, пол, вес, состояние, общее состояние здоровья и предшествующая история болезни пациента, подлежащего лечению, и другие подобные факторы, хорошо известные в области медицины.

5           Композиция должна быть стерильной и текучей в той степени, чтобы композицию можно было вводить с помощью шприца. Помимо воды предпочтительным носителем является изотонический забуференный физиологический раствор.

10           Соответствующую текучесть можно поддерживать, например, путем использования покрытия, такого как лецитин, путем поддержания требуемого размера частиц в случае дисперсии и путем применения поверхностно-активных веществ. Во многих случаях предпочтительно включать в композицию агенты для придания изотоничности, например, сахара, многоатомные спирты, такие как маннит или сорбит, и хлорид натрия.

15           Композиция может представлять собой офтальмическую композицию в форме депо, содержащую действующее вещество для субконъюнктивального введения. Офтальмическая композиция в форме депо содержит микрочастицы практически чистого действующего вещества, например, биспецифического антитела, предлагаемого в изобретении. Микрочастицы, содержащие  
20           биспецифическое антитело, предлагаемое в изобретении, могут быть погружены в биосовместимый фармацевтически приемлемый полимер или липидный капсулирующий агент. Композиции в форме депо можно адаптировать для высвобождения всего или практически всего действующего вещества в течение удлиненного периода времени. Полимерный или липидный матрикс, если он  
25           присутствует, может быть адаптирован к расщеплению, достаточному для того, чтобы транспортироваться от места введения после высвобождения всего или практического всего действующего вещества. Композиция в форме депо может представлять собой жидкую композицию, содержащую фармацевтически приемлемый полимер и растворенное или диспергированное действующее  
30           вещество. После инъекции полимер образует депо в месте инъекции, например, путем образования геля или осаждения.

Другим объектом изобретения является биспецифическое антитело, предлагаемое в изобретении, предназначенное для применения для лечения сосудистых глазных заболеваний.

5 Одним из вариантов осуществления изобретения является биспецифическое антитело, предлагаемое в изобретении, предназначенное для применения для лечения сосудистых глазных заболеваний.

Другим объектом изобретения является указанная фармацевтическая композиция, предназначенная для применения для лечения сосудистых глазных заболеваний.

10 Другим объектом изобретения является применение антитела, предлагаемого в изобретении, для приготовления лекарственного средства предназначенного для лечения сосудистых глазных заболеваний.

Другим объектом изобретения является способ лечения пациента, страдающего сосудистыми глазными заболеваниями, заключающийся в том, что вводят антитело, предлагаемое в изобретении, пациенту, который нуждается в таком лечении.

Понятия «сосудистое глазное заболевание» и «сосудистое заболевание глаз» в контексте настоящего описания применяют взаимозаменяемо, и они включают (но, не ограничиваясь только ими) синдромы внутриглазной неоваскуляризации, такие как диабетическая ретинопатия, диабетический отек желтого пятна, ретролентальная фиброплазия, неоваскулярная глаукома, окклюзии вен сетчатки, окклюзии центральной вены сетчатки, дегенерация желтого пятна, возрастная дегенерация желтого пятна, пигментный ретинит, ретинальная ангиоматозная пролиферация, телеангиэктазия желтого пятна, ишемическая ретинопатия, неоваскуляризация радужной оболочки, внутриглазная неоваскуляризация, неоваскуляризация роговицы, неоваскуляризация сетчатки, хороидальная неоваскуляризация и дегенерация сетчатки (Garner A., Vascular diseases, в: Pathobiology of ocular disease, A dynamic approach, под ред. Garner A. и Klintworth G.K., 2-ое изд., изд-во Marcel Dekker, New York, 1994, сс. 1625-1710). В контексте настоящего описания сосудистое глазное заболевание включает любые патологические состояния, отличающиеся измененной или нерегулируемой пролиферацией и инвазией новых кровеносных сосудов в структуры тканей глаза, таких как сетчатка или роговица. В одном из

вариантов осуществления изобретения сосудистое глазное заболевание выбирают из группы, включающей: влажную возрастную дегенерацию желтого пятна (влажная форма AMD), сухую возрастную дегенерацию желтого пятна (сухая форма AMD), диабетический отек желтого пятна (DME), цистоидный отек желтого пятна (CME), непролиферативную диабетическую ретинопатию (NPDR), пролиферативную диабетическую ретинопатию (PDR), цистоидный отек желтого пятна, васкулит (например, окклюзия центральной вены сетчатки) папиллоэдему (отек диска зрительного нерва), ретинит, конъюнктивит, увеит, хороидит, мультифокальный хороидит, гитоплазмоз глаза, блефарит, «сухой глаз» (болезнь Шегрена) и другие офтальмические заболевания, при которых глазное заболевание или нарушение ассоциировано с неоваскуляризацией глаза, просачиванием из сосудов и/или отеком сетчатки. Таким образом, биспецифические антитела, предлагаемые в изобретении, можно применять для предупреждения и лечения влажной формы AMD, сухой формы AMD, CME, DME, NPDR, PDR, блефарита, «сухого глаза» и увеита, предпочтительно также влажной формы AMD, сухой формы AMD, блефарита и «сухого глаза», предпочтительно также CME, DME, NPDR и PDR, предпочтительно также блефарита и «сухого глаза», в частности влажной формы AMD и сухой формы AMD, а также наиболее предпочтительно важной формы AMD. В некоторых вариантах осуществления изобретения глазное заболевание выбирают из группы, включающей влажную возрастную дегенерацию желтого пятна (влажная форма AMD), отек сетчатки, окклюзии вен сетчатки, ретролентальную фиброплазию и диабетическую ретинопатию.

Другие болезни, ассоциированные с неоваскуляризацией роговицы, включают (но, не ограничиваясь только ими) эпидемический кератоконъюнктивит, дефицит витамина А, переносение положенного времени контактных линз, атопический кератит, верхний лимбический кератит, птеригий, сухой кератит, болезнь Шегрена, розовые угри, филектенулоз, сифилис, инфекции, вызываемые микобактериями, липидные дегенерации, химические ожоги, бактериальные язвы, грибковые язвы, инфекции, вызываемые вирусом герпеса простого, инфекции, вызываемые вирусом опоясывающего лишая, протозойные инфекции, саркому Капоши, язву Мурена, краевую дегенерацию Терриена, краевой кератолизис, ревматоидный артрит, системную красную

волчанку, полиартрит, травму, саркоидоз Вегенера, склерит, болезнь Стивена-Джонсона, перифигондную радиальную кератотомию и отторжение трансплантата роговицы.

5 Заболевания, ассоциированные с ретинальной/хороидаальной неоваскуляризацией, включают (но, не ограничиваясь только ими) диабетическую ретинопатию, дегенерацию желтого пятна, серповидноклеточную анемию, саркоид, сифилис, псевдоксантому эластическую, болезнь Педжета, окклюзию вен, окклюзию артерий, обструктивное заболевание сонной артерии, хронический увеит/витрит, инфекции, вызываемые микобактериями, болезнь Лайма, системную красную волчанку, ретролентальную фиброплазию, пигментный ретинит, отек сетчатки (включая отек желтого пятна), болезнь Изла, болезнь Бехчета, инфекции, вызывающие ретинит или хороидит, синдром предполагаемого глазного гистоплазмоза, болезнь Беста, миопию, ямки диска зрительного нерва, болезнь Штаргардта, туберкулез сосудистой оболочки

10

15

20

глазного яблока (туберкулезный увеит), хроническое отслоение сетчатки, синдром гипервязкости, токсоплазмоз, осложнения, связанные с травмой и воздействием лазера. Другие болезни включают (но, не ограничиваясь только ими) болезни, ассоциированные с покраснением (неоваскуляризация угла), и болезни, вызываемые аномальной пролиферацией фиброваскулярной или фиброзной ткани, включая все формы пролиферативной витриоретинопатии.

Ретролентальная фиброплазия (ROP) представляет собой заболевание глаза, которое поражает преждевременно родившихся детей. Вероятно, оно вызывается дезорганизованным ростом кровеносных сосудов сетчатки, что может приводить к рубцеванию и отслоению сетчатки. ROP может быть слабой и может спонтанно

25

устраняться, но может в серьезных случаях приводить к слепоте. В целом, все недоношенные дети имеют риск ROP, а очень низкий вес при рождении является дополнительным фактором риска. Как токсичность кислорода, так и относительно гипоксия могут принимать участие в развитии ROP.

Дегенерация желтого пятна представляет собой медицинское состояние, встречающееся главным образом у престарелых людей, при котором центр

30

внутренней выстилки глаза, известный как желтое пятно (макула) сетчатки, истончается, атрофируется и в некоторых случаях кровоточит. Это может приводить к снижению центрального зрения, что влечет за собой отсутствие

возможности видеть мелкие детали, читать или различать лица. Согласно Американской академии офтальмологии в Соединенных Штатах это является причиной потери центрального зрения (слепоты) у людей возрастом старше 50 лет. Хотя некоторые дистрофии желтого пятна, которые поражают более молодых индивидуумов, иногда обозначают как дегенерация желтого пятна, понятие, как правило, относится к возрастной дегенерации желтого пятна (AMD или ARMD).

Возрастная дегенерация желтого пятна начинается с характерных отложений желтого цвета, называемых друзами, в макуле (центральная область сетчатки, которая обеспечивает детализированное центральное зрение, называемая ямкой), между пигментным эпителием сетчатки и низлежащей собственно сосудистой оболочкой глаза. Большинство людей с указанными ранними изменениями (которые называют возрастной макулопатией) имеют хорошее зрение. У людей с друзами может развиваться запущенная форма AMD. Риск значительно возрастает, когда друзы становятся крупными и многочисленными и связанными с нарушением в слое пигментированных клеток под желтым пятном. Крупные и мягкие друзы связаны с повышенными отложениями холестерина и могут реагировать на лечение снижающими холестерин средствами или Рео-процедуру.

Запущенная форма AMD, ответственная за глубокую (полную) потерю зрения, имеет две формы: сухую и влажную. Затрагивающая центральную ямку географическая атрофия, сухая форма запущенной AMD, является результатом атрофии слоя пигментного эпителия сетчатки, расположенного под сетчаткой, что приводит к потере зрения в результате потери фоторецепторов (палочек и колбочек) в центральной области глаза. Хотя для этого состояния отсутствует лечение, Национальным институтом глаза и другими организациями продемонстрировано, что витаминные добавки с высокими дозами антиоксидантов, лютеином и зеаксантином замедляют развитие сухой формы дегенерации желтого пятна у некоторых пациентов, улучшая визуальную активность.

Ретинит пигментный (RP) представляет собой группу генетических состояний глаза. При прогрессировании симптомов RP, как правило, ночная слепота предшествует туннельному зрению в течение ряда лет или даже

десятилетий. Многие люди с RP не становятся формально слепыми до 40 или 50 лет и сохраняют некоторое зрение в течение всей жизни. У других в результате RP развивается полная слепота, в некоторых случаях даже уже в детстве.

5 Развитие RP в каждом случае является различным. RP является типом наследственной дистрофии сетчатки, т.е. относится к группе наследственных  
нарушений, при которых аномалии фоторецепторов (палочки и колбочки) или  
10 ретинального пигментного эпителия (RPE) сетчатки приводит к прогрессирующей потере зрения. Пораженные индивидуумы сначала страдают нарушенной адаптацией к темноте или никталопией (куриная (ночная) слепота),  
затем снижением периферического поля зрения (так называемым туннельным  
зрением) и иногда позднее в процессе развития болезни снижением  
центрального зрения.

Макулярный отек (отек желтого пятна) имеет место, когда жидкость и  
15 белковые отложения собираются на макуле или под макулой глаза, центральной областью желтого цвета сетчатки, вызывая утолщение и набухание. Набухание может исказить центральное зрение человека, поскольку желтое пятно находится вблизи центра сетчатки на задней стенке глазного яблока. Эта область содержит плотно упакованные колбочки, что обеспечивает острое, ясное центральное зрение, позволяющее человеку видеть форму, цвет и детали,  
20 которые находятся непосредственно на линии взгляда. Цистовидный макулярный отек является типом макулярного отека, который включает образование цист.

Комбинированные терапии: Согласно некоторым вариантам осуществления изобретения биспецифическое антитело или фармацевтическую композицию,  
15 предлагаемое/предлагаемую в изобретении, применяют индивидуально (без дополнительного терапевтического средства) для лечения одного или несколько глазных заболеваний, указанных в настоящем описании.

Согласно другим вариантам осуществления изобретения биспецифическое антитело или фармацевтическую композицию, предлагаемое/предлагаемую в изобретении, применяют в сочетании с одним или несколькими  
30 дополнительными терапевтическими средствами или методами для лечения одного или несколько глазных заболеваний, указанных в настоящем описании.

В других вариантах осуществления изобретения биспецифическое антитело или фармацевтическую композицию, предлагаемое/предлагаемую в изобретении

приготавливают в сочетании с одним или несколькими дополнительными терапевтическими средствами и применяют для лечения одного или нескольких глазных заболеваний, указанных в настоящем описании.

5 В некоторых вариантах осуществления изобретения комбинированные терапии, представленные в настоящем описании, предусматривают введение биспецифического антитела или фармацевтической композиции, предлагаемого/предлагаемой в изобретении, последовательно с одним или несколькими дополнительными терапевтическими средствами для лечения одного или нескольких глазных заболеваний, указанных в настоящем описании.

10 Дополнительные терапевтические средства включают (но, не ограничиваясь только ими) триптофанил-тРНК-синтетазу (TrpRS), EyeOOI (пэгилированный анти-VEGF аптамер), скваламин, RETAANE™ (анекортава ацетат в виде депосуспензии; фирма Alcon, Inc.), пролекарство комбретастина А4 (CA4P), MACUGEN™, MIFEPREX™ (мифепристон-ru486), субтенон, триамцинолона ацетонид, интравитреальный кристаллический триамцинолона ацетонид, 15 приномастат (AG3340-синтетический ингибитор матричных металлопротеиназ, фирма Pfizer), флуцинолона ацетонид (включая внутриглазной имплантат флуцинолона, фирма Bausch & Lomb/Control Delivery Systems), ингибиторы VEGFR (фирма Sugen), VEGF-Trap (фирма Regeneron/Aventis), ингибиторы тирозинкиназного рецептора VEGF, такие как 4-(4-бром-2-фторанилино)-6-метокси-7-(1-метилпиперидин-4-илметокси)хиназолин (ZD6474), 4-(4-фтор-2-метилиндол-5-илокси)-6-метокси-7-(3-пирролидин-1-илпропокси)хиназолин 20 (AZD2171), ваталаниб (PTK787) и SU1 1248 (сунитиниб), линомид и ингибиторы функции интегрин бета-3, и ангиостатин.

25 Другие фармацевтические терапии, которые можно применять в сочетании с биспецифическим антителом или фармацевтической композицией, предлагаемым/предлагаемой в изобретении, включают (но, не ограничиваясь только ими), VISUDYNE™, применяемый вместе с нетермическим лазером, РКС 412, эндовион (фирма NeuroSearch A/S), нейротрофические факторы, включая в 30 качестве примера глиальный нейротрофический фактор и цилиарный нейротрофический фактор, диатазем, дорзоламид, фототроп (Phototrop), 9-цис-ретиаль, глазные лекарственные средства (включая эхо-терапию (Echo Therapy), включая фосфолина йодид или эхотиофат, или ингибиторы угольной

ангидразы, AE-941 (фирма AEterna Laboratories, Inc.), Sirna-027 (фирма Sirna Therapeutics, Inc.), пегаптаниб (фирма NeXstar Pharmaceuticals/Gilead Sciences), нейротрофины (включая только в качестве примера, NT-4/5, фирма Genentech), Cand5 (фирма Acuity Pharmaceuticals), INS-37217 (фирма Inspire Pharmaceuticals),  
5 антагонисты интегрина (включая препараты фирм Jerini AG и Abbott Laboratories), EG-3306 (фирма Ark Therapeutics Ltd.), BDM-E (фирма BioDiem Ltd.), талидомид (применяемый, например, фирмой EntreMed, Inc.), кардиотрофин-1 (фирма Genentech), 2-метоксиэстрадиол (фирма Allergan/Oculex), DL-8234 (фирма Toray Industries), NTC-200 (фирма Neurotech),  
10 тетратиомолибдат (Мичиганский Университет (University of Michigan)), LYN-002 (фирма Lynkeus Biotech), соединение из микроводорослей (фирма Aquasearch/Albany, Mera Pharmaceuticals), D-9120 (фирма Celltech Group pic), ATX-S10 (Hamamatsu Photonics), TGF-бета 2 (фирма Genzyme/Celtrix), ингибиторы тирозинкиназ (фирмы Allergan, SUGEN, Pfizer), NX-278-L (фирма  
15 NeXstar Pharmaceuticals/Gilead Sciences), Opt-24 (фирма OPTIS France SA), нейропротекторы ганглиев клеток сетчатки (фирма Cogent Neurosciences), N-нитропиразольные производные (фирма Texas A&M University System), KP-102 (фирма Krenitsky Pharmaceuticals), циклоспорин А, «ограниченную транслокацию сетчатки», фотодинамическую терапию (PDT) (включая (только в  
20 качестве примера) рецепторнаправленную PDT, фирма Bristol-Myers Squibb, Co.; порфимер натрия для инъекции совместно с PDT; вертепорфин, фирма QLT Inc.; ротапорфин, применяемый совместно с PDT, фирма Miravent Medical Technologies; талапорфин натрия применяемый совместно с PDT, фирма Nirron Petroleum; мотексафин лютеция, фирма Pharmascylics, Inc.), антисмысловые  
25 олигонуклеотиды (включая только в качестве примера, продукты, протестированные фирмой Novagali Pharma SA и ISIS-13650, фирма Isis Pharmaceuticals), лазерную фотокоагуляцию, обработку друз лазером, хирургию макулярных разрывов сетчатки, хирургическую транслокацию макулы, имплантируемые миниатюрные телескопы, ангиографию Phi-движения  
30 (известную также как микролазерная терапия или ангиография фидерных сосудов), бомбардировку протонным пучком, микростимулирующую терапию, хирургию по поводу отслоения сетчатки и операцию на стекловидном теле, операцию вдавливания сферы, операцию в субмакулярной области,

транспупиллярную термотерапию, терапию фотосистемы I, применение РНК-интерференции (РНКi), экстракорпоральный реоферез (известный также как мембранная дифференциальная фильтрация и реотерапия), имплантацию микрочипов, терапию стволовыми клетками, генную заместительную терапию, 5 генную терапию на основе рибозимов (включая генную терапию с использованием элемента ответа на гипоксию, фирмы Oxford Biomedica; Lentipak, Genetix; генная терапия PDEF, фирма GenVec), трансплантацию фоторецепторных/ретиальных клеток (включая трансплантируемые эпителиальные клетки сетчатки, фирма Diacrin, Inc.; трансплантат клеток 10 сетчатки, фирма Cell Genesys, Inc.) и акупунктуру.

Любое антиангиогенное средство можно применять в сочетании с биспецифическим антителом или фармацевтической композицией, предлагаемым/предлагаемой в изобретении, включая (но, не ограничиваясь 5 только ими) указанные у Carmeliet и Jain, Nature 407, 2000, сс. 249-257. В некоторых вариантах осуществления изобретения антиангиогенное средство 15 представляет собой другой антагонист VEGF или антагонист рецептора VEGF, такой как варианты VEGF, фрагменты растворимого рецептора VEGF, аптамеры, обладающие способностью блокировать VEGF или VEGFR, нейтрализующие антитела к VEGFR, низкомолекулярные ингибиторы тирозинкиназ VEGFR и 20 любые их комбинации, и они включают анти-VEGF аптамеры (например, пегаптаниб), растворимые рекомбинантные рецепторы-ловушки (например, VEGF Trap). В некоторых вариантах осуществления изобретения антиангиогенное средство включает кортикостероиды, ангиостатические 25 стероиды, анекортава ацетат, ангиостатин, эндостатин, малые интерферирующие РНК, снижающие экспрессию VEGFR или лиганда VEGF, средства пост-VEGFR-блокады на основе ингибиторов тирозинкиназ, ингибиторы MMP, IGFBP3, блокаторы SDF-1, PEDF, гамма-секретазу, дельта-подобный лиганд 4, антагонисты интегрина, блокатор HIF-1-альфа, блокатор протеинкиназы CK2 и 30 ингибитор хоминга стволовой клетки (т.е. клетки-предшественника эндотелиальных клеток) к области неоваскуляризации с использованием эндотелиального кадгерина (CD-144) и антител к стромальному фактору (SDF)-I. Можно применять также низкомолекулярные ингибиторы RTK, мишенью которых являются VEGF-рецепторы, включая PTK787. Можно применять также

агенты, обладающие активностью в отношении неоваскуляризации, которые не обязательно представляют собой анти-VEGF-соединения, и они включают противовоспалительные лекарственные средства, ингибиторы m-Tor, рапамицин, эверолимус, темсиролимус, циклоспон, анти-TNF-агенты, агенты, мишенью которых является комплемент, и нестероидные противовоспалительные средства. Можно применять также агенты, обладающие нейрозащитным действием, и которые могут потенциально снижать развитие сухой формы дегенерации желтого пятна, например, класс лекарственных средств, называемых «нейростероидами». Они включают такие лекарственные средства, как дегидроэпиандростерон (DHEA) (товарные знаки: Prastera® и Fidelin®), дегидроэпиандростерона сульфат и прегненолона сульфат. Любое предназначенное для лечения AMD (возрастная дегенерация желтого пятна) терапевтическое средство можно применять в сочетании с биспецифическим антителом или фармацевтической композицией, предлагаемым/предлагаемой в изобретении, включая (но, не ограничиваясь только ими) вертепорфин в сочетании с PDT, пегаптаниб натрия, цинк или антиоксидант(ы), индивидуально или в любой комбинации.

Понятия «индивидуум» и «пациент» применяют взаимозаменяемо, и они относятся к млекопитающим, таким как больные люди и приматы кроме человека, а также к экспериментальным животным, таким как кролики, крысы и мыши, а также другие животные. Животные включают всех позвоночных животных, например, млекопитающих и животных, не относящихся к млекопитающим, таким как собаки, кошки, овцы, свиньи, кролики, куры и т.д. Предпочтительными индивидуумами для воплощения на практике терапевтических способов, предлагаемых в настоящем изобретении, являются люди. Индивидуумы, которые нуждаются в лечении, включают пациентов, которые уже страдают глазным заболеванием или нарушением, а также предрасположенных к развитию нарушения.

В контексте настоящего описания понятия «клетка», «клеточная линия» и «клеточная культура» используются взаимозаменяемо, и они все включают потомство. Так, понятия «трансформанты» и «трансформированные клетки» включают первично трансформированную клетку и выведенные из нее культуры безотносительно к количеству пересевов. Следует понимать также, что

потомство может не быть полностью идентичным по составу ДНК из-за произвольных или преднамеренных мутаций. Под объем изобретения подпадает вариант потомства, который обладает такой же функцией или биологической активностью, которая обнаружена в результате скрининга у исходной трансформированной клетки. В тех случаях, когда следует применять другие обозначения, это должно быть очевидно из контекста.

В контексте настоящего описания понятие «трансформация» относится к процессу переноса векторов/нуклеиновой кислоты в клетку-хозяина. Если в качестве клеток-хозяев применяют клетки, оболочки которых не представляют собой труднопреодолимые барьеры, то трансфекцию осуществляют, например, методом, основанным на осаждении фосфатом кальция, описанным у Graham и Van der Eb, *Virology* 52, 1973, сс. 546-567. Однако можно применять также и другие методы интродукции ДНК в клетки, такие как инъекция в ядра или слияние протопластов. Если используют прокариотические клетки или клетки, имеющие значительные клеточные оболочки, то в качестве метода трансфекции можно применять обработку кальцием с использованием хлорида кальция, описанную у Cohen S.N. и др., *PNAS* 69, 1972, сс. 2110-2114.

В контексте настоящего описания понятие «экспрессия» относится к процессу, посредством которого осуществляется транскрипция нуклеиновой кислоты в мРНК, и/или к процессу, посредством которого транскрибированная мРНК (которую называют также транскриптом) впоследствии транслируется с образованием пептидов, полипептидов или белков. Транскрипты и кодируемые полипептиды в целом называют генным продуктом. Если полинуклеотид выводят из геномной ДНК, то экспрессия в эукариотической клетке может включать сплайсинг мРНК.

«Вектор» представляет собой молекулу нуклеиновой кислоты, в частности самореплицирующуюся молекулу, которая переносит встроенную молекулу нуклеиновой кислоты в клетки-хозяева и/или между клетками-хозяевами. Понятие включает векторы, функция которых состоит, прежде всего, во встраивании ДНК или РНК в клетку (например, хромосомная интеграция), репликационные векторы, функция которых состоит прежде всего в репликации ДНК или РНК, и в экспрессионные векторы, функция которых состоит прежде

всего в транскрипции и/или трансляции ДНК или РНК. Под понятие подпадают также векторы, которые обладают несколькими указанными функциями.

5 «Экспрессионный вектор» представляет собой полинуклеотид, который при интродукции в соответствующую клетку-хозяина может транскрибироваться и транслироваться в полипептид. Понятие «экспрессионная система» относится, как правило, к приемлемой клетке-хозяину, содержащей экспрессионный вектор, функцией которой может быть выход требуемого продукта экспрессии.

10 Следующие примеры, перечень последовательностей и чертежи даны с целью лучшего понимания настоящего изобретения, полный объем которого представлен в приведенной ниже формуле изобретения. Очевидно, что в изложенных процедурах могут быть сделаны модификации без отклонения от сущности изобретения.

Описание перечня последовательностей (аминокислотные последовательности)

SEQ ID NO:	1	CDR3H тяжелой цепи, <VEGF> ранибизумаб
SEQ ID NO:	2	CDR2H тяжелой цепи, <VEGF> ранибизумаб
SEQ ID NO:	3	CDR1H тяжелой цепи, <VEGF> ранибизумаб
SEQ ID NO:	4	CDR3L легкой цепи, <VEGF> ранибизумаб
SEQ ID NO:	5	CDR2L легкой цепи, <VEGF> ранибизумаб
SEQ ID NO:	6	CDR1L легкой цепи, <VEGF> ранибизумаб
SEQ ID NO:	7	вариабельный домен тяжелой цепи VH, <VEGF> ранибизумаб
SEQ ID NO:	8	вариабельный домен легкой цепи VL, <VEGF> ранибизумаб
SEQ ID NO:	9	CDR3H тяжелой цепи, <ANG-2> вариант Ang2i LC10
SEQ ID NO:	10	CDR2H тяжелой цепи, <ANG-2> вариант Ang2i LC10 t
SEQ ID NO:	11	CDR1H тяжелой цепи, <ANG-2> вариант Ang2i LC10
SEQ ID NO:	12	CDR3L легкой цепи, <ANG-2> вариант Ang2i LC10
SEQ ID NO:	13	CDR2L легкой цепи, <ANG-2> вариант Ang2i LC10,
SEQ ID NO:	14	CDR1L легкой цепи, <ANG-2> вариант Ang2i LC10
SEQ ID NO:	15	вариабельный домен тяжелой цепи VH, <ANG-2> вариант Ang2i LC10
SEQ ID NO:	16	вариабельный домен легкой цепи VL, <ANG-2> вариант Ang2i LC10
SEQ ID NO:	17	человеческий сосудистый эндотелиальный фактор роста (VEGF); последовательность-предшественник человеческого VEGF165
SEQ ID NO:	18	человеческий ангиопоэтин-2 (ANG-2)
SEQ ID NO:	19	человеческий ангиопоэтин-1 (ANG-1)
SEQ ID NO:	20	человеческий Tie-2-рецептор
SEQ ID NO:	21	тяжелая цепь 1 <VEGF-ANG-2> CrossMAb IgG1 с AAA-мутациями (VEGFang2-0012)
SEQ ID NO:	22	тяжелая цепь 2 <VEGF-ANG-2> CrossMAb IgG1 с AAA-мутациями (VEGFang2-0012)
SEQ ID NO:	23	легкая цепь 1 <VEGF-ANG-2> CrossMAb IgG1 с AAA-мутациями (VEGFang2-0012)

SEQ ID NO	24	легкая цепь 2 <VEGF-ANG-2> CrossMAb IgG1 с AAA-мутациями (VEGFang2-0012)
SEQ ID NO:	25	тяжелая цепь 1 <VEGF-ANG-2> CrossMAb IgG1 с AAA-мутациями и P329G LALA-мутациями (VEGFang2-0016)
SEQ ID NO:	26	тяжелая цепь 2 <VEGF-ANG-2> CrossMAb IgG1 с AAA-мутациями и P329G LALA-мутациями (VEGFang2-0016)
SEQ ID NO:	27	легкая цепь 1 <VEGF-ANG-2> CrossMAb IgG1 с AAA-мутациями и P329G LALA-мутациями (VEGFang2-0016)
SEQ ID NO:	28	легкая цепь 2 <VEGF-ANG-2> CrossMAb IgG1 с AAA-мутациями и P329G LALA-мутациями (VEGFang2-0016)
SEQ ID NO:	29	тяжелая цепь 1 <VEGF-ANG-2> CrossMAb IgG4 с AAA-мутациями и с SPLE-мутациями
SEQ ID NO:	30	тяжелая цепь 2 <VEGF-ANG-2> CrossMAb IgG4 с AAA-мутациями и с SPLE-мутациями
SEQ ID NO:	31	легкая цепь 1 <VEGF-ANG-2> CrossMAb IgG4 с AAA-мутациями и с SPLE-мутациями
SEQ ID NO:	32	легкая цепь 2 <VEGF-ANG-2> CrossMAb IgG4 с AAA-мутациями и с SPLE-мутациями
SEQ ID NO:	33	тяжелая цепь 1 <VEGF-ANG-2> OAscFab IgG1 с AAA-мутациями
SEQ ID NO:	34	тяжелая цепь 2 <VEGF-ANG-2> OAscFab IgG1 с AAA-мутациями
SEQ ID NO:	35	легкая цепь 1 <VEGF-ANG-2> OAscFab IgG1 с AAA-мутациями
SEQ ID NO:	36	тяжелая цепь 1 <VEGF-ANG-2> OAscFab IgG4 с AAA-мутациями и с SPLE-мутациями
SEQ ID NO:	37	тяжелая цепь 2 <VEGF-ANG-2> OAscFab IgG4 с AAA-мутациями и с SPLE-мутациями
SEQ ID NO:	38	легкая цепь 1 <VEGF-ANG-2> OAscFab IgG4 с AAA-мутациями и с SPLE-мутациями
SEQ ID NO:	39	тяжелая цепь 1 <VEGF-ANG-2> CrossMAb IgG1 дикого типа (без AAA-мутаций) (VEGFang2-0201)
SEQ ID NO:	40	тяжелая цепь 2 <VEGF-ANG-2> CrossMAb IgG1 дикого типа (без AAA-мутаций) (VEGFang2-0201)
SEQ ID NO:	41	легкая цепь 1 <VEGF-ANG-2> CrossMAb IgG1 дикого типа (без AAA-мутаций) (VEGFang2-0201)
SEQ ID NO:	42	легкая цепь 2 <VEGF-ANG-2> CrossMAb IgG1 дикого типа (без AAA-мутаций) (VEGFang2-0201)
SEQ ID NO:	43	тяжелая цепь 1 <VEGF-ANG-2> CrossMAb IgG1 только с P329G LALA-мутациями (без AAA-мутаций) (VEGFang2-0015)
SEQ ID NO:	44	тяжелая цепь 2 <VEGF-ANG-2> CrossMAb IgG1 только с P329G LALA-мутациями (без AAA-мутаций) (VEGFang2-0015)
SEQ ID NO:	45	легкая цепь 1 <VEGF-ANG-2> CrossMAb IgG1 только с P329G LALA-мутациями (без AAA-мутаций) (VEGFang2-0015)
SEQ ID NO:	46	легкая цепь 2 <VEGF-ANG-2> CrossMAb IgG1 только с P329G LALA-мутациями (без AAA-мутаций) (VEGFang2-0015)
SEQ ID NO:	47	константная область легкой каппа-цепи
SEQ ID NO:	48	константная область легкой лямбда-цепи
SEQ ID NO:	49	константная область тяжелой цепи, выведенная из человеческого IgG1
SEQ ID NO:	50	константная область тяжелой цепи, выведенная из человеческого IgG4

Ниже перечислены следующие варианты осуществления изобретения:

1. Биспецифическое антитело, содержащее первый антигенсвязывающий центр, который специфически связывается с человеческим VEGF, и второй

антигенсвязывающий центр, который специфически связывается с человеческим ANG-2, в котором

5 I) указанный первый антигенсвязывающий центр, специфически связывающийся с VEGF, содержит в переменном домене тяжелой цепи CDR3H-участок, имеющий SEQ ID NO: 1, CDR2H-участок, имеющий SEQ ID NO: 2, и CDR1H-участок, имеющий SEQ ID NO: 3, и в переменном домене легкой цепи CDR3L-участок, имеющий SEQ ID NO: 4, CDR2L-участок, имеющий SEQ ID NO: 5, и CDR1L-участок, имеющий SEQ ID NO: 6; и

10 II) указанный второй антигенсвязывающий центр, специфически связывающийся с ANG-2, содержит в переменном домене тяжелой цепи CDR3H-участок, имеющий SEQ ID NO: 9, CDR2H-участок, имеющий SEQ ID NO: 10, и CDR1H-участок, имеющий SEQ ID NO: 11, и в переменном домене легкой цепи CDR3L-участок, имеющий SEQ ID NO: 12, CDR2L-участок, имеющий SEQ ID NO: 13, и CDR1L-участок, имеющий SEQ ID NO: 14, и в  
15 котором

III) биспецифическое антитело содержит константную область тяжелой цепи человеческого подкласса IgG1 или человеческого подкласса IgG4 (выведенную из человеческого антитела), содержащую мутации I253A, H310A и H435A (нумерация согласно EU-индексу Кэбота).

20 2. Биспецифическое антитело по варианту осуществления изобретения 1, в котором

I) указанный первый антигенсвязывающий центр, специфически связывающийся с VEGF, содержит в качестве переменного домена тяжелой цепи VH аминокислотную последовательность SEQ ID NO: 7 и в качестве  
25 переменного домена легкой цепи VL аминокислотную последовательность SEQ ID NO: 8 и

II) указанный второй антигенсвязывающий центр, специфически связывающийся с ANG-2, содержит в качестве переменного домена тяжелой цепи VH аминокислотную последовательность SEQ ID NO: 15 и в качестве  
30 переменного домена легкой цепи VL аминокислотную последовательность SEQ ID NO: 16.

3. Биспецифическое антитело по одному из вариантов осуществления изобретения 1-2, в котором константная область тяжелой цепи, указанная в подпункте III), относится к IgG1-подклассу.

5 4. Биспецифическое антитело по варианту осуществления изобретения 3, в котором константная область тяжелой цепи IgG1-подкласса содержит также мутации L234A, L235A и P329G (нумерация согласно EU-индексу Кэбота).

5. Биспецифическое антитело по одному из вариантов осуществления изобретения 1-2, в котором константная область тяжелой цепи, указанная в подпункте III), относится к IgG4-подклассу.

10 6. Биспецифическое антитело по варианту осуществления изобретения 5, в котором константная область тяжелой цепи IgG4-подкласса содержит также мутации S228P и L235E (нумерация согласно EU-индексу Кэбота).

15 7. Биспецифическое антитело по варианту осуществления изобретения 5, в котором константная область тяжелой цепи IgG4-подкласса содержит также мутации S228P, L235E и P329G (нумерация согласно EU-индексу Кэбота).

8. Фармацевтическая композиция, содержащая антитело по одному из вариантов осуществления изобретения 1-7.

20 9. Биспецифическое антитело по одному из вариантов осуществления изобретения 1-7, предназначенное для применения для лечения сосудистых глазных заболеваний.

10. Применение биспецифического антитела по одному из вариантов осуществления изобретения 1-7 для приготовления лекарственного средства для лечения сосудистых заболеваний глаз.

25 11. Биспецифическое антитело по одному из вариантов осуществления изобретения 9 или 10, где антитело применяют путем интравитреального введения.

12. Способ лечения пациента, страдающего сосудистыми заболеваниями глаз, заключающийся в том, что вводят антитело по одному из вариантов осуществления изобретения 1-7 пациенту, нуждающемуся в таком лечении.

30 13. Нуклеиновая кислота, кодирующая биспецифическое антитело по одному из вариантов осуществления изобретения 1-7.

14. Экспрессионный вектор, содержащий указанную нуклеиновую кислоту по варианту осуществления изобретения 13, который обладает способностью

экспрессировать указанную нуклеиновую кислоту в прокариотической или эукариотической клетке-хозяине.

15. Прокариотическая или эукариотическая клетка-хозяин, содержащая вектор по варианту осуществления изобретения 14.

5 16. Способ получения биспецифического антитела по вариантам осуществления изобретения 1-7, заключающийся в том, что осуществляют стадии, на которых

а) трансформируют клетку-хозяина векторами, содержащими молекулы нуклеиновых кислот, которые кодируют указанное антитело;

10 б) культивируют клетку-хозяина в условиях, обеспечивающих синтез указанной молекулы антитела; и

в) выделяют указанную молекулу антитела из указанной культуры.

17. Биспецифическое антитело, полученное способом по варианту осуществления изобретения 16.

15 18. Биспецифическое двухвалентное антитело, содержащее первый антигенсвязывающий центр, который специфически связывается с человеческим VEGF, и второй антигенсвязывающий центр, который специфически связывается с человеческим ANG-2, отличающееся тем, что содержит аминокислотные последовательности SEQ ID NO: 25, SEQ ID NO: 26, SEQ ID NO: 27 и SEQ ID  
20 NO: 28.

19. Биспецифическое двухвалентное антитело, содержащее первый антигенсвязывающий центр, который специфически связывается с человеческим VEGF, и второй антигенсвязывающий центр, который специфически связывается с человеческим ANG-2, отличающееся тем, что содержит аминокислотные последовательности SEQ ID NO: 21, SEQ ID NO: 22, SEQ ID NO: 23 и SEQ ID  
25 NO: 24.

20. Биспецифическое двухвалентное антитело, содержащее первый антигенсвязывающий центр, который специфически связывается с человеческим VEGF, и второй антигенсвязывающий центр, который специфически связывается с человеческим ANG-2, отличающееся тем, что содержит аминокислотные последовательности SEQ ID NO: 29, SEQ ID NO: 30, SEQ ID NO: 31 и SEQ ID  
30 NO: 32.

Экспериментальные процедуры

Таблица 1: Биспецифические антитела и соответствующие им последовательности

Описание	Сокращенное обозначение	Последовательности
<VEGF-ANG-2> CrossMAb IgG1 с AAA-мутациями	VEGFang2-0012	SEQ ID NO: 21, SEQ ID NO: 22, SEQ ID NO: 23, SEQ ID NO: 24
<VEGF-ANG-2> CrossMAb IgG1 дикого типа (без AAA-мутаций)	VEGFang2-0201-	SEQ ID NO: 39, SEQ ID NO: 40, SEQ ID NO: 41, SEQ ID NO: 42
<VEGF-ANG-2> CrossMAb IgG1 с AAA-мутациями и P329G LALA-мутациями	VEGFang2-0016	SEQ ID NO: 25, SEQ ID NO: 26, SEQ ID NO: 27, SEQ ID NO: 28
<VEGF-ANG-2> CrossMAb IgG1 только с P329G LALA-мутациями (без AAA-мутаций)	VEGFang2-0015	SEQ ID NO: 43, SEQ ID NO: 44, SEQ ID NO: 45, SEQ ID NO: 46
<VEGF-ANG-2> CrossMAb IgG4 с AAA-мутациями и с SPLE-мутациями	--	SEQ ID NO: 29, SEQ ID NO: 30, SEQ ID NO: 31, SEQ ID NO: 32
<VEGF-ANG-2> OAscFab IgG1 с AAA-мутациями	-	SEQ ID NO: 33, SEQ ID NO: 34, SEQ ID NO: 35
<VEGF-ANG-2> OAscFab IgG4 с AAA-мутациями и с SPLE-мутациями	-	SEQ ID NO: 36, SEQ ID NO: 37, SEQ ID NO: 38

5            Следует иметь в виду, что в контексте настоящего описания понятие «с AAA-мутациями» относится к мутациям I253A (Ile253Ala), H310A (His310Ala) и H435A (His435Ala) в константной области тяжелой цепи IgG1 или IgG4 (нумерация согласно EU-индексу Кэбота), понятие «с P329G LALA-мутациями» в контексте настоящего описания относится к мутациям L234A (Leu235Ala) ,  
 10            L235A (Leu234Ala) и P329G (Pro329Gly) в константной области тяжелой цепи IgG1-подкласса (нумерация согласно EU-индексу Кэбота), а понятие «с SPLE-мутациями» в контексте настоящего описания относится к мутациям S228P (Ser228Pro) и L235E (Leu235Glu) в константной области тяжелой цепи IgG4-подкласса (нумерация согласно EU-индексу Кэбота).

15            Примеры

Материалы и общие методы

Общая информация, касающаяся нуклеотидных последовательностей легких и тяжелых цепей человеческого иммуноглобулина, представлена у Kabat E.A. и др., Sequences of Proteins of Immunological Interest, 5-ое изд., изд-во Public Health Service, National Institutes of Health, Bethesda, MD, 1991. Аминокислоты цепей антитела пронумерованы и обозначены согласно EU-нумерации (Edelman G.M. и др., Proc. Natl. Acad. Sci. USA 63, 1969, сс. 78-85; Kabat E.A. и др.,

Sequences of Proteins of Immunological Interest, 5-ое изд., изд-во Public Health Service, National Institutes of Health, Bethesda, MD, 1991.

#### Методы рекомбинантной ДНК

5 Для манипуляций с ДНК применяли стандартные методы, описанные у Sambrook J. и др., Molecular Cloning: A laboratory manual; изд-во Cold Spring Harbor Laboratory Press, Cold Spring Harbor, New York, 1989. Все применяемые в молекулярной биологии реагенты применяли согласно инструкциям производителей.

#### Синтез генов

10 Требуемые сегменты генов заказывали в соответствии с представленными спецификациями на фирме Geneart (Регенсбург, Германия).

#### Определение последовательности ДНК

15 Последовательности ДНК определяли путем секвенирования двух цепей, которое осуществляли на фирме MediGenomix GmbH (Мартинсрид, Германия) или Sequiserve GmbH (Фатерштеттен, Германия).

#### Анализ последовательностей ДНК и белков и оценка данных о последовательностях

20 Для создания, картирования, анализа, аннотации и иллюстрации последовательностей применяли пакет программ фирмы GCG (Genetics Computer Group, Мэдисон, шт. Висконсин), версия 10.2 и усовершенствованный набор программ Infomax's Vector NT1, версия 8.0.

#### Экспрессионные векторы

25 Для экспрессии описанных антител применяли варианты экспрессионных плазмид для кратковременной экспрессии в клетках (например, в НЕК293-F-клетках), основанных либо на кДНК-организации с интроном А промотора CMV или без него, либо на геномной организации с промотором CMV.

Помимо кассеты экспрессии антитела векторы включали:

- сайт инициации репликации, который обеспечивает репликацию этой плазмиды в *E. coli*,
- 30 - ген  $\beta$ -лактамазы, который придает устойчивость *E. coli* к ампициллину, и
- ген дигидрофолатредуктазы из *Mus musculus* в качестве селективируемого маркера в эукариотических клетках.

Транскрипционная единица гена антитела состояла из следующих элементов:

- уникальный(ые) сайт(ы) рестрикции на 5'-конце,
- немедленно-ранний энхансер и промотор из человеческого цитомегаловируса,
- расположенная за ней последовательность интрона А в случае организации на основе кДНК,
- 5'-нетранслируемая область гена человеческого антитела,
- сигнальная последовательность тяжелой цепи иммуноглобулина,
- цепь человеческого антитела (дикого типа или с заменой доменов) либо с организацией на основе кДНК, либо с геномной организацией с экзон-интронной организацией иммуноглобулина,
- 3'-нетранслируемая область с последовательностью сигнала полиаденилирования и
- уникальный(ые) сайт(ы) рестрикции на 3'-конце.

Слитые гены, содержащие цепи антитела, описанные ниже, создавали с помощью ПЦР и/или синтеза генов и собирали с помощью известных методов и технологий рекомбинации путем соединения соответствующих сегментов нуклеиновых кислот, например, с использованием уникальных сайтов рестрикции в соответствующих векторах. Субклонированные нуклеотидные последовательности подтверждали секвенированием ДНК. Для кратковременных трансфекций получали бóльшие количества плазмид путем получения плазмид из трансформированных культур *E. coli* (фирма Nucleobond AX, фирма Macherey-Nagel).

#### 25 Методики культивирования клеток

Применяли стандартные методики культивирования клеток, описанные в Current Protocols in Cell Biology, под ред. Bonifacino J.S., Dasso M., Harford J.B., Lippincott-Schwartz, J и Yamada K.M, изд-во John Wiley & Sons, Inc, 2000.

30 Биспецифические антитела экспрессировали путем кратковременной котрансфекции соответствующими плазмидами экспрессии клеток НЕК29-F, выращенных в суспензии, согласно описанному ниже методу.

## Пример 1

### Экспрессия и очистка

#### Кратковременные трансфекции в НЕК293-F-системе

Биспецифические антитела создавали путем кратковременной трансфекции с помощью соответствующих плазмид (например, кодирующих тяжелую цепь и модифицированную тяжелую цепь, а также соответствующую легкую цепь и модифицированную легкую цепь), используя НЕК293-F-систему (фирма Invitrogen), согласно инструкции производителя. В целом, метод состоял в следующем: клетки НЕК293-F (фирма Invitrogen), растущие в суспензии либо во встряхиваемой колбе, либо в ферментере с перемешивающим устройством в бессывороточной среде для экспрессии FreeStyle™ 293 (фирма Invitrogen), трансфектировали смесью из четырех экспрессионных плазмид и 293fectin™ или фектина (фирма Invitrogen). В 2-литровую встряхиваемую колбу (фирма Corning) НЕК293-F-клетки высевали с плотностью  $1,0 \times 10^6$  клеток/мл в 600 мл и инкубировали при 120 об/мин, 8% CO<sub>2</sub>. Через день клетки трансфектировали при клеточной плотности примерно  $1,5 \times 10^6$  клеток/мл, используя примерно 42 мл смеси, содержащей А) 20 мл среды Opti-MEM (фирма Invitrogen) с 600 мкг общей плазмидной ДНК (1 мкг/мл), кодирующей тяжелую или модифицированную тяжелую цепь соответственно, и соответствующую легкую цепь в эквимолярном соотношении, и Б) 20 мл Opti-MEM + 1,2 мл 293fectin™ или фектина (2 мкл/мл). В зависимости от поглощения глюкозы в процессе ферментации добавляли раствор глюкозы. Супернатант, содержащий секретированное антитело, собирали через 5-10 дней и антитела либо очищали непосредственно из супернатанта или супернатант замораживали и помещали на хранение.

#### Очистка

Биспецифические антитела очищали из супернатантов клеточных культур с помощью аффинной хроматографии, используя MabSelectSure-Sepharose™ (для не\_ААА-мутантов) (фирма GE Healthcare, Швеция) или kappaSelect-агарозу (для ААА-мутантов) (фирма GE Healthcare, Швеция), хроматографии гидрофобных взаимодействий с использованием бутил-сефарозы (фирма GE Healthcare, Швеция), и гель-фильтрации на смоле супердекс 200 (фирма GE Healthcare, Швеция).

В целом, метод состоял в следующем: полученные после стерилизации  
фильтрацией супернатанты клеточных культур «захватывали» с помощью смолы  
MabSelect SuRe, уравновешенной 3ФР-буфером (10мМ Na<sub>2</sub>HPO<sub>4</sub>, 1мМ KH<sub>2</sub>PO<sub>4</sub>,  
137мМ NaCl и 2,7мМ KCl, pH 7,4), промывали буфером для уравновешивания и  
5 элюировали 25мМ цитратом натрия, pH 3,0. AAA-мутанты «захватывали» с  
помощью смолы kappaSelect, уравновешенной 25мМ Трис, 50мМ NaCl, pH 7,2,  
отмывали буфером для уравновешивания и элюировали 25мМ цитратом натрия,  
pH 2,9. Элюированные белковые фракции объединяли и нейтрализовали 2М  
Трис, pH 9,0. Пулы антител подготавливали для хроматографии гидрофобных  
10 взаимодействий, добавляя 1,6М раствор сульфата аммония до конечной  
концентрации 0,8М сульфат аммония и значение pH доводили до 5,0 с помощью  
уксусной кислоты. После уравновешивания бутил-сефарозной смолы 35мМ  
ацетатом натрия, 0,8М сульфата аммония, pH 5,0 антитела наносили на смолу,  
промывали буфером для уравновешивания и элюировали линейным градиентом  
15 до 35мМ ацетата натрия, pH 5,0. Фракции, содержащие биспецифическое  
антитело, объединяли и дополнительно очищали с помощью гель-фильтрации,  
используя колонку, заполненную смолой супердекс 200 26/60 GL (фирма GE  
Healthcare, Швеция), уравновешенную 20мМ гистидином, 140мМ NaCl, pH 6,0.  
Фракции, содержащие биспецифическое антитело, объединяли, концентрировали  
20 до требуемой концентрации, используя устройства для ультрафильтрации  
Vivaspin (фирма Sartorius Stedim Biotech S.A., Франция), и хранили при -80°C.

Таблица 2: Выходы биспецифических антител <VEGF-ANG-2>

	VEGFang2-0015 (без AAA-мутации)	VEGFang2-0016 (с AAA- мутацией)
титр супернатанта	64 мкг/мл, (2 л соответствует 128 мг)	п.а. (масштаб 2 л)
белок А (MabSelectSure)	118 мг (~ 70% мономера)	п.а.
KappaSelect	п.а.	117 мг (~ 83% мономера)
бутил-сефароза	60 мг	57 мг
SEC (гель-фильтрация)	35 мг (>95% мономера)	38 мг (>95% мономера)

Чистоту и целостность антитела анализировали после стадии очистки с  
25 помощью капиллярного электрофореза в присутствии ДСН (КЭ-ДСН), используя  
технология микротоков Labchip (фирма Caliper Life Science, США). 5 мкл  
белкового раствора подготавливали для КЭ-ДСН-анализа, используя набор NT  
Protein Express Reagent согласно инструкциям производителя, и анализировали с

помощью системы LabChip GXII, используя чип HT Protein Express. Данные анализировали с помощью программы LabChip GX.

Таблица 3: Удаление типичных побочных продуктов с помощью различных последовательных стадий очистки по данным КЭ-ДСН

Стадия очистки	VEGFang2-0015						VEGFang2-0016					
	% площади пика * * анализ: КЭ-ДСН (Caliper Labchip GXII)											
	МАГ	¾ Ат	(НС)2	½ Ат	(LC)2	LC	МАГ	¾ Ат	(НС)2	½ Ат	(LC)2	LC
Mab Select Sure	55,7	19	10,6	9,8	3,5	0,9	-					
Карпа Select	-						63	13,4	3,5	6,1	5,8	7,4
бутил-сефароза	81,4	1,9	2,3	8,2	3,6	1,8	76,2	1,3	0,7	8,3	7,7	5,8
Супердекс 200_SEC	92,4	1,8	2,6	1,4	0,5	0,5	99	1,1	n.d.	n.d.	n.d.	n.d.

5

Содержание агрегатов в образцах антител анализировали с помощью высокоэффективной SEC на аналитической колонке для гель-фильтрации, заполненной супердексом 200 (фирма GE Healthcare, Швеция), применяя 2×3ФР (20мМ Na<sub>2</sub>HPO<sub>4</sub>, 2мМ KH<sub>2</sub>PO<sub>4</sub>, 274мМ NaCl и 5,4мМ KCl, pH 7,4) в качестве подвижного буфера, при 25°C. 25 мкг белка инъецировали в колонку со скоростью потока 0,75 мл/мин и подвергали изократическому элюированию в течение 50 мин.

10

Аналогично этому получали и очищали биспецифические антитела <VEGF-ANG-2> VEGFang2-0012 и VEGFang2-0201, достигая следующих выходов:

	VEGFang2-0012 (с AAA-мутацией)	VEGFang2-0201 (без AAA-мутации)
титр/количество	-	36 мкг/мл/72 мг
масштаб	2,1 л	2 л
белок А (MabSelectSure)	-	66 мг (содержание мономеров ~95%)
карпаSelect	43 мг (содержание мономеров ~ 65%)	-
бутил-сефароза	-	45 мг
SEC	14 мг	21 мг (содержание мономеров > 98%)
выход на гидроксилапатите	8,5 мг (содержание мономеров > 98%)	
общий выход (извлечение)	8,5 мг (20%)	21 мг (30%)

15

Биспецифические антитела <VEGF-ANG-2>, такие как <VEGF-ANG-2> CrossMAb IgG4 с AAA-мутациями и с SPLE-мутациями (SEQ ID NO: 29, SEQ ID NO: 30, SEQ ID NO: 31, SEQ ID NO: 32), <VEGF-ANG-2> OAscFab IgG1 с AAA-

мутациями (SEQ ID NO: 33, SEQ ID NO: 34, SEQ ID NO: 35) и <VEGF-ANG-2> OAscFab IgG4 с AAA-мутациями и с SPLE-мутациями (SEQ ID NO: 36, SEQ ID NO: 37, SEQ ID NO: 38), также можно получать и очищать аналогичными методами.

5 Пример 2

Аналитический анализ и возможность обнаружения

Основанное на DLS измерение вязкости в лабораторных условиях

Измерение вязкости осуществляли в целом согласно известному методу (He F. и др., Analytical Biochemistry 399, 2009, сс. 141-143). В целом, метод состоял в следующем: образцы концентрировали до получения различных концентраций белка в 200мМ сукцинате аргинина, pH 5,5 перед добавлением гранул из полистирольного латекса (диаметром 300 нм) и полисорбата 20 (0,02 об.%). Образцы переносили в оптический 384-луночный планшет посредством центрифугирования через 0,4-микрометровую фильтровальную пластину и покрывали парафиновым маслом. Кажущийся диаметр гранул латекса определяли путем динамического рассеяния света при 25°C. Вязкость раствора можно рассчитывать по формуле  $\eta = \eta_0(rh/rh,0)$  ( $\eta$ : вязкость;  $\eta_0$ : вязкость воды;  $rh$ : кажущийся гидродинамический радиус гранул латекса;  $rh,0$ : гидродинамический диаметр гранул латекса в воде).

20 Для того чтобы можно было осуществлять сравнение различных образцов при одной и той же концентрации, данные о вязкости в зависимости от концентрации аппроксимировали с помощью уравнения Муни (уравнение 1) (Mooney, Colloid Sci, 1951; Monkos, Biochem. Biophys. Acta, 1997) и осуществляли интерполяцию данных с помощью следующего уравнения:

25 
$$\eta = \eta_0 \exp\left(\frac{S\Phi}{1-K\Phi}\right)$$
 уравнение 1

(S: параметр гидродинамического взаимодействия белка; K: коэффициент самосжатия;  $\Phi$ : объем фракции растворенного белка).

30 Результаты представлены на фиг. 2: установлено, что VEGFang2-0016 с AAA-мутациями в Fc-области обладает более низкой вязкостью при всех температурах, при которых осуществляли измерения, по сравнению с VEGFang2-0015 без AAA-мутаций в Fc-области.

### Температура начала агрегации по данным DLS

Образцы приготавливали в концентрации 1 мг/мл в 20мМ гистидине/хлориде гистидина, 140мМ NaCl, pH 6,0, переносили в оптический 384-луночный планшет посредством центрифугирования через 0,4-микрометровую фильтровальную пластину и покрывали парафиновым маслом. Гидродинамический радиус и в этом случае измеряли с помощью динамического рассеяния света, при этом образцы нагревали со скоростью 0,05°C/мин с 25°C до 80°C. Температуру начала агрегации определяли как температуру, при которой гидродинамический радиус начинал возрастать. Результаты представлены на 5 10 15 20 25 30

фиг. 3. На фиг. 3 представлены данные об агрегации VEGFang2-0015 без AAA-мутаций в сравнении с VEGFang2-0016 с AAA-мутациями в Fc-области. Установлено, что для VEGFang2-0016 температура начала агрегации составляла 61°C, в то время как у VEGFang2-0015 без AAA-мутаций температура начала агрегации составляла 60°C.

### DLS-анализ в зависимости от времени

Образцы приготавливали в концентрации 1 мг/мл в 20мМ гистидине/хлориде гистидина, 140мМ NaCl, pH 6,0, переносили в оптический 384-луночный планшет посредством центрифугирования через 0,4-микрометровую фильтровальную пластину и покрывали парафиновым маслом. Гидродинамический радиус и в этом случае измеряли с помощью динамического рассеяния света, при этом образцы выдерживали при постоянной температуре 50°C вплоть до 145 ч. В этом эксперименте тенденция к агрегации нативного 20 25 30

неуложенного белка при повышенной температуре может приводить к увеличению среднего диаметра частиц с течением времени. Указанный метод на основе DLS является очень чувствительным в отношении агрегатов, поскольку их образование приводит к сверхпропорциональному изменению интенсивности рассеяния света. Даже после выдерживания в течение 145 ч при 50°C (температура, близкая к температуре начала агрегации) средний диаметр частиц как VEGFang2-0015, так и VEGFang2-0016 увеличивался менее чем на 0,5 нм.

### Хранение в течение 7 дней при 40°C в концентрации 100 мг/мл (повышение уровня НМВ)

Образцы концентрировали до конечной концентрации 100 мг/мл в 200мМ сукцинате аргинина, pH 5,5, стерилизовали фильтрацией и хранили в покое при

40°C в течение 7 дней. До и после хранения определяли содержание высоко- и низкомолекулярных видов (HMW и LMW соответственно) с помощью гель-фильтрации. Различие в содержании HMW и LMW между образцами после хранения и образцами, в которых измерение осуществляли сразу после приготовления, обозначали как «повышение HMW» и «повышение LMW» соответственно. Результаты, представленные в таблице 4 и на фиг. 4, продемонстрировали, что для VEGFang2-0015 (без AAA-мутации) характерно более выраженное снижение основного пика и более выраженное повышение HMW по сравнению с VEGF Ang2-0016 (с AAA-мутацией). При создании изобретения неожиданно было установлено, что для VEGF Ang2-0016 (с AAA-мутацией) характерна меньшая тенденция к агрегации по сравнению с VEGFang2-0015 (без AAA-мутации).

Таблица 4: Изменение основного пика и пиков, соответствующих HMW и LMW, после хранения в течение 7д при 40°C

	Изменение площади (%) (40°C-(-80°C))		
	Основной пик	HMW	LMW
VEGFang2-0015 (-AAA-мутации)	-3,56	2,89	0,67
VEGFang2-0016 (+AAA-мутации)	-1,74	1,49	0,25

Функциональный анализ биспецифических антител к VEGF и Ang2 осуществляли с помощью поверхностного плазмонного резонанса (SPR), используя устройство VIAcore® T100 или T200 (фирма GE Healthcare), при 25°C. Система VIAcore® хорошо подходит для изучения молекулярных взаимодействий. SPR-технология основана на измерении коэффициента преломления вблизи поверхности покрытого золотом биосенсорного чипа. Изменения коэффициента преломления свидетельствуют об изменениях массы на поверхности, вызываемых взаимодействием иммобилизованного лиганда с анализируемым веществом, инъецируемым в растворе. Масса возрастает, если молекулы связываются с иммобилизованными лигандами на поверхности, и наоборот масса снижается в случае диссоциации анализируемого вещества от иммобилизованного лиганда (отражая диссоциацию комплекса). SPR позволяет осуществлять непрерывный мониторинг в реальном времени связывания лиганда/анализируемого вещества и таким образом определять константу скорости ассоциации ( $k_a$ ), константу скорости диссоциации ( $k_d$ ) и константу равновесия ( $KD$ ).

### Пример 3

#### Связывание с VEGF, Ang2, FcгаммаR и FcRn

#### Оценка кинетики аффинности к изоформам VEGF, включая оценку видовой перекрестной реактивности

5           Примерно 12000 резонансных единиц (RU) системы для «захвата» (10 мкг/мл козьего античеловеческого F(ab')<sub>2</sub>; код заказа: 28958325; фирма GE Healthcare Bio-Sciences AB, Швеция) сшивали с CM5-чипом (фирма GE Healthcare, BR-1005-30) при pH 5,0, применяя набор для аминного сочетания, поставляемый фирмой GE Healthcare. Буфер для системы и образца представлял собой ЗФР-Т (10мМ забуференный фосфатом физиологический раствор, включающий 0,05% Твин 20), pH 7,4. Температуру проточной ячейки устанавливали на 25°C, а температуру блока для образца устанавливали на 12°C и примирировали дважды, используя подвижный буфер. Биспецифическое антитело «захватывали» путем инъекции 50нМ раствора в течение 30 с при скорости потока 5 мкл/мин. Ассоциацию измеряли путем инъекции человеческого hVEGF121, мышиноного mVEGF120 или крысиного rVEGF164 в различных концентрациях в растворе в течение 300 с при скорости потока 30 мкл/мин, начиная с концентрации 300нМ, применяя разведения 1:3.

10           Осуществляли мониторинг фазы диссоциации в течение периода времени вплоть до 1200 с и запускали путем замены раствора образца на подвижный буфер. Поверхность регенерировали путем 60-секундной отмывки с помощью раствора глицина, pH 2, при скорости потока 30 мкл/мин. Все различия в коэффициентах преломления корректировали путем вычитания ответа, полученного от поверхности, покрытой козьим античеловеческим F(ab')<sub>2</sub>. Вычитали также данные, полученные при осуществлении контрольных «пустых» инъекций (двойной контроль). Для расчета кажущейся величины K<sub>D</sub> и других кинетических параметров применяли модель 1:1 Лэнгмюра. Результаты представлены в таблице 5.

#### Аффинность к Ang2 в растворе, включая оценку видовой перекрестной реактивности

30           Оценка аффинности в растворе позволяет измерять аффинность взаимодействия путем определения концентрации свободных взаимодействующих партнеров в уравновешенной смеси. Анализ аффинности в

растворе включает смешение биспецифического антитела <VEGF-ANG-2>, сохраняя его постоянную концентрацию, с лигандом (т.е. Ang2) в различных концентрациях. Максимальное возможное количество резонансных единиц (например, 17000 резонансных единиц (RU)) антитела иммобилизовали на поверхности CM5-чипа (фирма GE Healthcare, BR-1005-30) при pH 5,0, используя набор для аминного сочетания, поставляемый фирмой GE Healthcare. Буфер для системы и образца представлял собой HBS-P, pH 7,4. Температуру проточной ячейки устанавливали на 25°C, а температуру блока для образца устанавливали на 12°C и примирировали дважды, используя подвижный буфер. Для получения калибровочной кривой Ang2 в возрастающих концентрациях инъецировали в проточную ячейку устройства BIAcore, содержащую иммобилизованное биспецифическое антитело к VEGF-ANG-2. Количество связанного Ang2 оценивали в резонансных единицах (RU) и строили график зависимости от концентрации. Растворы каждого лиганда (11 концентраций в диапазоне от 0 до 200 нМ биспецифического антитела к VEGF-ANG-2) инкубировали с 10 нМ Ang2 и давали достигать равновесия при комнатной температуре. Концентрации свободного Ang2 определяли с использованием калибровочной кривой, созданной до и после измерения ответа в растворах с известными количествами Ang2. 4-параметрическую подгонку осуществляли с помощью XLfit4 (программа фирмы IDBS) с моделью 201, откладывая концентрацию свободного ANG-2 на y-оси и концентрацию ингибирующего антитела на x-оси. Аффинность рассчитывали, определяя точку изгиба этой кривой. Поверхность регенерировали путем однократной отмывки в течение 30 с 0,85%-ным раствором H<sub>3</sub>PO<sub>4</sub> при скорости потока 30 мкл/мин. Все различия в коэффициентах преломления корректировали путем вычитания ответа, полученного от поверхности, покрытой «пустым» контролем. Результаты представлены в таблице 6.

#### Аффинность к FcRn в стабильном состоянии

Для сравнения биспецифических антител друг с другом определяли аффинность к FcRn в стабильном состоянии. Человеческий FcRn разводили в буфере для сочетания (10 мкг/мл Na-ацетата, pH 5,0) и иммобилизовывали на C1-чипе (фирма GE Healthcare, BR-1005-35), используя процедуру направленной иммобилизации, применяя устройство BIAcore, до достижения конечного ответа

200 RU. Температуру проточной ячейки устанавливали на 25°C, а температуру блока для образца устанавливали на 12°C и дважды протирывали, используя подвижный буфер. Буфер для системы и образца представлял собой 3ФР-Т (10мМ забуференный фосфатом физиологический раствор, включающий 0,05% Твин 20) рН 6,0. Для исследования каждого антитела применяли различные концентрации IgG, составляющие 62,5, 125, 250 и 500нМ. Скорость потока составляла 30 мкл/мин и различные образцы инъецировали последовательно на поверхность чипа, при этом в качестве периода ассоциации был выбран промежуток времени, составляющий 180 с. Поверхность регенерировали путем инъекции 3ФР-Т, рН 8 в течение 60 с при скорости потока 30 мкл/мин. Все различия в коэффициентах преломления корректировали путем вычитания ответа, полученного от «пустой» поверхности. Вычитали также результаты, полученные при инъекциях буфера (т.е. применяли двойной контроль). Для расчета аффинности в стабильном состоянии применяли метод, входящий в программу Via-Evaluation. В целом, метод состоял в следующем: строили график зависимости величины RU (RU max) от анализируемых концентраций, получая кривую дозовой зависимости. На основе 2-параметрической подгонки рассчитывали верхнюю асимптоту, что позволяло определять величину RU, составляющую половину от максимальной, и таким образом определять аффинность. Результаты представлены на фиг 5 и в таблице 7. Аналогичным образом определял аффинность к FcRn обезьян циномоглус (супо), мышей и кроликов.

#### Оценка связывания FсгаммаRIIIа

Для измерения аффинности к FсгаммаRIIIа применяли прямой анализ связывания. Систему для «захвата» (1 мкг/мл пента-His; фирма Quiagen) (примерно 3000 резонансных единиц (RU)) сшивали с CM5-чипом (фирма GE Healthcare, BR-1005-30) при рН 5,0, используя набор для аминного сочетания, поставляемый фирмой GE Healthcare. Буфер для системы и образца представлял собой HBS-P, рН 7,4. Температуру проточной ячейки устанавливали на 25°C, а температуру блока для образца устанавливали на 12°C и протирывали дважды, используя подвижный буфер. FсгаммаRIIIа-His-рецептор «захватывали» путем инъекции 100нМ раствора в течение 60 с при скорости потока 5 мкл/мин. Связывание оценивали путем инъекции 100нМ биспецифического антитела или

моноспецифических контрольных антител (анти-Dig для антитела IgG1-подкласса и IgG4-подкласса) в течение 180 с при скорости потока 30 мкл/мин. Поверхность регенерировали путем отмычки в течение 120 с раствором глицина, рН 2,5 при скорости потока 30 мкл/мин. Поскольку связывание FсгаммаRIIIa отличается от модели связывания 1:1 Лэнгмюра, в этом анализе определяли только наличие связывания/отсутствие связывания. Аналогичным образом можно определять связывание FсгаммаRIa и FсгаммаRIIa. Из результатов, представленных на фиг. 6, следует, что после интродукции мутаций P329G LALA не удалось обнаружить связывание с FсгаммаRIIIa.

10        Оценка независимого связывания VEGF и Ang2 с биспецифическими антителами<VEGF-ANG-2>

15        Примерно 3500 резонансных единиц (RU) системы для «захвата» (10 мкг/мл козьего античеловеческого IgG; фирма GE Healthcare Bio-Sciences AB, Швеция) сшивали с CM4-чипом (фирма GE Healthcare BR-1005-34) при рН 5,0, используя набор для аминного сочетания, поставляемый фирмой GE Healthcare. Буфер для системы и образца представлял собой ЗФР-Т (10мМ забуференный фосфатом физиологический раствор, включающий 0,05% Твин 20) рН 7,4. Температуру проточной ячейки устанавливали на 25°C, а температуру блока для образца устанавливали на 12°C. Перед «захватом» проточную ячейку дважды примировали, используя подвижный буфер.

20        Биспецифическое антитело «захватывали» путем инъекции 10нМ раствора в течение 60 с со скоростью 5 мкл/мин. Независимое связывание каждого лиганда с биспецифическим антителом анализировали, определяя способность активного связывания для каждого лиганда, которые добавляли либо последовательно, либо одновременно (скорость 30 мкл/мин), согласно описанным ниже вариантам:

1. Инъекция человеческого VEGF в концентрации 200нМ в течение 180 с (демонстрирует индивидуальное связывание антигена).

2. Инъекция человеческого Ang2 в концентрации 100нМ в течение 180 с (демонстрирует индивидуальное связывание антигена).

3. Инъекция человеческого VEGF в концентрации 200нМ в течение 180 с с последующей дополнительной инъекцией человеческого Ang2 в концентрации 100нМ в течение 180 с (демонстрирует связывание Ang2 в присутствии VEGF).

4. Инъекция человеческого Ang2 в концентрации 100нМ в течение 180 с с последующей дополнительной инъекцией человеческого VEGF в концентрации 200нМ (демонстрирует связывание VEGF в присутствии Ang2).

5. Совместная инъекция человеческого VEGF в концентрации 200нМ и человеческого Ang2 в концентрации 100нМ в течение 180 с (демонстрирует одновременное связывание VEGF и Ang2).

10. Поверхность регенерировали в помощью отмывки в течение 60 с 3мМ раствором MgCl<sub>2</sub> при скорости потока 30 мкл/мин. Все различия в коэффициентах преломления корректировали путем вычитания ответа, полученного от поверхности, сенсibilизированной античеловеческим IgG.

15. Считается, что биспецифическое антитело обладает способностью связываться с обоими антигенами независимо друг от друга, если образующийся конечный сигнал, полученный при применении подходов 3, 4 и 5, равен или близок к сумме индивидуальных конечных сигналов, полученных при применении подходов 1 и 2. Результаты, представленные в таблице 9, демонстрируют, что оба антитела VEGFang2-0016, VEGFang2-0012 обладали способностью независимо друг от друга связываться с VEGF и ANG2.

Оценка одновременного связывания VEGF и Ang2 с биспецифическими антителами <VEGF-ANG-2>

20. Во-первых, сшивали примерно 1600 резонансных единиц (RU) VEGF (20 мкг/мл) с CM4-чипом (фирма GE Healthcare, BR-1005-34) при pH 5,0, используя набор для аминного сочетания, поставляемый фирмой GE Healthcare. Буфер для системы и образца представлял собой ЗФР-Т (10мМ забуференный фосфатом физиологический раствор, включающий 0,05% Твин 20), pH 7,4. Температуру проточной ячейки устанавливали на 25°C, а температуру блока для образца устанавливали на 12°C и прямировали дважды, используя подвижный буфер. Во-вторых, 50нМ раствор биспецифического антитела инъецировали в течение 180 с со скоростью 30 мкл/мин. В-третьих, hAng-2 инъецировали в течение 180 с со скоростью 30 мкл/мин. Ответ в виде связывания hAng-2 зависел от количества биспецифического антитела, связанного с VEGF, и он свидетельствовал об одновременном связывании. Поверхность регенерировали путем отмывки в течение 60 с с помощью 0,85%-ного раствора H<sub>3</sub>PO<sub>4</sub> при скорости потока 30 мкл/мин. О наличии одновременного связывания свидетельствует

дополнительный специфический сигнал связывания hAng2 относительно предшествующего сигнала связывания VEGF с биспецифическими антителами <VEGF-ANG-2>. Для обоих биспецифических антител VEGFang2-0015 и VEGFang2-0016 удалось обнаружить одновременное связывание VEGF и Ang2 с биспецифическими антителами <VEGF-ANG-2> (данные не представлены).

**Таблица 5: Результаты: Кинетики аффинности к изоформам VEGF из различных видов**

	VEGFang2-0015 - кажущаяся аффинность	VEGFang2-0016 - кажущаяся аффинность	VEGFang2-0012 - кажущаяся аффинность	VEGFang2-0201 - кажущаяся аффинность
человеческий VEGF 121	≤1пМ (по Biacore-спецификации)	≤1пМ (по Biacore-спецификации)	≤1пМ (по Biacore-спецификации)	≤1пМ (по Biacore-спецификации)
мышинный VEGF 120	нет связывания	нет связывания	нет связывания	нет связывания
крысиный VEGF 164	13нМ	14нМ	24нМ	35нМ

**Таблица 6: Результаты: Аффинность к Ang2 в растворе**

	VEGFang2-0015, KD [нМ]	VEGFang2-0016, KD [нМ]	VEGFang2-0012, KD [нМ]	VEGFang2-0201, KD [нМ]
человеческий Ang2	8	20	20	Tbd (подлежит определению)
супо Ang2	5	13	10	Tbd
мышинный Ang2	8	13	8	Tbd
кроличий Ang2	4	11	8	Tbd

**Таблица 7: Результаты: Аффинность к FcRn биспецифических антител <VEGF-ANG-2>**

	VEGFang2-0015 [аффинность]	VEGFang2-0016 [аффинность]	VEGFang2-0012 [аффинность]	VEGFang2-0201 [аффинность]
человеческий FcRn	0,8мкМ	нет связывания	нет связывания	0,8мкМ
супо FcRn	0,9мкМ	нет связывания	нет связывания	1,0мкМ
мышинный FcRn	0,2мкМ	нет связывания	нет связывания	0,2мкМ

**Таблица 8: Результаты: Связывание с FcγRIIa**

	VEGFang2-0015	VEGFang2-0016	VEGFang2-0012	VEGFang2-0201
FcγRIa	нет связывания	нет связывания	связывание	связывание
FcγRIIa	нет связывания	нет связывания	нет связывания	связывание
FcγRIIIa	нет связывания	нет связывания	нет связывания	связывание

Таблица 9: Результаты: Независимое связывание VEGF и Ang2 с биспецифическими антителами <VEGF-ANG-2>

	1) Ang2 [RUmax]	2) VEGF [RUmax]	3) сначала VEGF, затем Ang2 [RUmax]	4) сначала Ang2, затем VEGF [RUmax]	5) Совместная инъекция Ang2+VEGF [RUmax]
VEGFang2-0016	174	50	211	211	211
VEGFang2-0012	143	43	178	177	178

5 Пример 4

Масс-спектрометрия

В данном разделе описана характеристика биспецифических антител <VEGF-ANG-2> в отношении правильной сборки. Предполагаемые первичные структуры подтверждали с помощью масс-спектрометрии с ионизацией электроспреем (ESI-МС) дегликозилированных и интактных или расщепленных с помощью IdeS (расщепляющий IgG фермент из *S. pyogenes*) биспецифических антител <VEGF-ANG-2>. Расщепление с помощью IdeS осуществляли с использованием 100 мкг очищенного антитела, которое инкубировали с 2 мкг IdeS-протеазы (фирма Roche) в буфере, содержащем 100 ммоль/л  $\text{NaH}_2\text{PO}_4/\text{Na}_2\text{HPO}_4$ , pH 7,1, при 37°C в течение 5 ч. Затем антитела дегликозилировали с помощью N-гликозидазы F, нейраминидазы и O-гликозидазы (фирма Roche) в буфере, содержащем 100 ммоль/л  $\text{NaH}_2\text{PO}_4/\text{Na}_2\text{HPO}_4$ , pH 7,1, при 37°C в течение вплоть до 16 ч, используя белок в концентрации 1 мг/мл, и затем осуществляли обессоливание с помощью ЖХВР на колонке сефадекс G25 (фирма GE Healthcare). Общую массу определяли с помощью ESI-МС, применяя МС-систему maXis 4G UHR-QTOF (фирма Bruker Daltonik), снабженную источником TriVersa NanoMate (фирма Advion).

Массы, установленные для расщепленных IdeS, дегликозилированных (таблица 10) или интактных дегликозилированных (таблица 11) молекул, соответствовали предсказанным массам, которые выводили на основе аминокислотных последовательностей биспецифических антител <VEGF-ANG-2>, состоящих из двух различных легких цепей  $\text{LC}_{\text{Ang2}}$  и  $\text{LC}_{\text{луцентис}}$  (ранибизумаб) и двух различных тяжелых цепей  $\text{HC}_{\text{Ang2}}$  и  $\text{HC}_{\text{луцентис}}$ .

Таблица 10: Массы дегликозилированных и расщепленных с помощью IdeS биспецифических антител <VEGF/ANG2>, таких как VEGFang2-0201 (без AAA-мутации) и VEGFang2-0012 (с AAA-мутацией)

Образец	F(ab') <sub>2</sub> биспецифического антитела <VEGF-ANG-2>		Дегликозилированная Fc биспецифического антитела <VEGF-ANG-2>	
	Предсказанная средняя масса [Да]	Обнаруженная средняя масса [Да]	Предсказанная средняя масса [Да]	Обнаруженная средняя масса [Да]
VEGFang2-0201	99360,8	99360,7	47439,2	47430,1
VEGFang2-0012	99360,8	99361,1	47087,7	47082,0

5 Таблица 11: Массы дегликозилированных биспецифических антител <VEGF/ANG2>, таких как VEGFang2-0016 (с AAA-мутацией) и VEGFang2-0015 (без AAA-мутации)

	Дегликозилированное биспецифического антитела <VEGF-ANG-2>	
	Предсказанная средняя масса [Да]	Обнаруженная средняя масса [Да]
VEGFang2-0016	146156,9	146161,2
VEGFang2-0015	146505,3	146509,4

Пример 5

10 Хроматография для оценки связывания Fc-Rn

Сочетание со стрептавидин-сефарозой:

Добавляли 1 г стрептавидин-сефарозы (фирма GE Healthcare) к биотинилированному и подвергнутому диализу рецептору и инкубировали в течение 2 ч при встряхивании. Дериватизированной рецептором сефарозой  
15 заполняли 1-миллилитровую ХК-колонку (фирма GE Healthcare).

Хроматография с применением аффинной FcRn-колонки:

Условия:

размеры колонки: 50 мм × 5 мм,

высота слоя: 5 см,

20 загрузка: 50 мкг образца,

буфер для уравнивания: 20мМ MES с 150мМ NaCl, регулирующий значение pH до 5,5,

буфер для элюции: 20мМ Трис/HCl с 150мМ NaCl, регулирующий значение pH до 8,8,

25 элюция: 7,5 CV (объем колонки) буфера для уравнивания в от 30 CV до 100% буфера для элюции, 10 CV буфера для элюции.

Колоночная хроматография на основе аффинности к huFcRn

В приведенной ниже таблице представлены данные о временах удерживания биспецифических антител <VEGF-ANG-2> на колонках для аффинной хроматографии, содержащих человеческий FcRn. Данные получали с использованием указанных выше условий. В приведенной ниже таблице представлены данные о временах удерживания биспецифических антител <VEGF-ANG-2> на человеческом FcRn.

Таблица 12: Результаты: Времена удерживания биспецифических антител<VEGF-ANG-2>

Антитело	Время удерживания [мин]
VEGFAng2-0015 (без AAA-мутации)	78,5
VEGFAng2-0201 (без AAA-мутации )	78,9
VEGFAng2-0012 (с AAA-мутацией )	2,7 («пустой» пик)
VEGFAng2-0016 (с AAA-мутацией )	2,7 («пустой» пик)

Пример 6

Фармакокинетические (ФК) свойства

ФК данные в отношении Fc-Rn, полученные на мышах, трансгенных по человеческому FcRn

Фаза прижизненных исследований

Опыт проводили на самках мышей C57BL/6J (фон); мышей с дефицитом FcRn, но гемизиготных трансгенных по человеческому FcRn (huFcRn, линия 276 -/tg)

Часть 1

Всем мышам инъецировали однократно интравитреально в правый глаз 2 мкл/животное соответствующего раствора (т.е. 21 мкг соединения /животное (VEGFAng2-0015 (без AAA-мутации) или 23,6 мкг соединения /животное (VEGFAng2-0016 (с AAA-мутацией)).

Мышей подразделяли на 2 группы по 6 животных в каждой. Получали образцы крови у животных группы 1 через 2, 24 и 96 ч, а у животных группы 2 через 7, 48 и 168 ч после дозирования.

Осуществляли инъекцию в стекловидное тело правого глаза мышей с помощью включающей микрошприц системы NanoFil для нанолитровых инъекций фирмы World Precision Instruments, Inc., Берлин, Германия. Мышей анестезировали с помощью 2,5% изофлурана и для визуализации глаза мышей

применяли микроскоп Leica MZFL 3 с 40-кратным увеличением и источником кольцевого света Leica KL 2500 LCD. Затем 2 мкл соединения инъецировали с помощью иглы 35-размера.

5 Кровь собирали из ретробульбарного венозного сплетения контралатерального глаза каждого животного для определения уровней соединения в сыворотке.

10 Образцы сыворотки объемом по меньшей мере 50 мкл получали из крови после выдерживания в течение 1 ч при КТ путем центрифугирования (9300×g) при 4°C в течение 3 мин. Образцы сыворотки замораживали непосредственно после центрифугирования и хранили в замороженном состоянии при -80°C до анализа. Обработанные глаза животных из группы 1 выделяли через 96 ч после обработки, у животных из группы 2 - через 168 ч после обработки. Образцы хранили в замороженном состоянии при -80°C до анализа.

#### Часть 2

15 Всем мышам инъецировали однократно внутривенно через хвостовую вену по 200 мкл/животное соответствующего раствора (т.е. 21 мкг соединения/животное (VEGF<sub>Ang2</sub>-0015 (без AAA-мутации) или 23,6 мкг соединения/животное (VEGF<sub>Ang2</sub>-0016 (с AAA-мутацией).

20 Мышей подразделяли на 2 группы по 5 животных в каждой. Получали образцы крови у животных группы 1 через 1, 24 и 96 ч, а у животных группы 2 через 7, 48 и 168 ч после дозирования. Кровь собирали из ретробульбарного венозного сплетения каждого животного для определения уровней соединения в сыворотке.

25 Образцы сыворотки объемом по меньшей мере 50 мкл получали из крови после выдерживания в течение 1 ч при КТ путем центрифугирования (9300×g) при 4°C в течение 3 мин. Образцы сыворотки замораживали непосредственно после центрифугирования и хранили в замороженном состоянии при -80°C до анализа.

#### Получение лизатов всего глаза (мышей)

30 Лизаты глаз получали путем физико-химического расщепления всего глаза лабораторных животных. Для механического разрушения каждый глаз переносили в микропробирку с коническим дном объемом 1,5 мл. После замораживания-оттаивания глаза промывали однократно промывочным буфером

(фирма Bio-Rad, набор для лизиса клеток Bio-Plex, каталожный № 171-304011). На следующей стадии добавляли 500 мкл свежеприготовленного буфера для лизиса клеток и глаза измельчали с помощью 1,5-миллилитрового пестика для измельчения тканей (фирма Kimble Chase, 1,5-миллилитровый пестик, артикул № 749521-1500). Затем смесь 5 раз подвергали замораживанию и оттаиванию и вновь измельчали. Для отделения лизата от оставшейся ткани образцы центрифугировали в течение 4 мин при 4500×g. После центрифугирования супернатант собирали и хранили при -20°C для дополнительного анализа с помощью количественного ELISA.

#### 10        Анализ

Концентрации антител <VEGF/ANG2> в сыворотке и лизатах глаз мышей определяли с помощью твердофазного иммуноферментного анализа (ELISA).

Для количественной оценки антител <VEGF/ANG2> в образцах сыворотки и лизатах глаз мышей осуществляли стандартный твердофазный серийный сэндвич-иммуноанализ с применением биотинилированного и дигоксигенированного моноклональных антител в качестве иммобилизованного («захватывающего») и идентифицирующего антител. Подтверждением сохранения биспецифичности анализируемого соединения должно являться то, что биотинилированное «захватывающее» антитело распознает анти-VEGF-связывающий сайт, в то время как дигоксигенированное идентифицирующее антитело связывается с анти-Ang2-связывающим сайтом анализируемого соединения. Связанный иммунный комплекс, включающий «захватывающее» антитело, анализируемое соединение и идентифицирующее антитело, на твердой фазе сенсibilизированного стрептавидином титрационного микропланшета (SA-MTP) затем выявляли с помощью сшитого с пероксидазой из хрена антитела к дигоксигенину. После отмывки несвязанного материала из SA-MTP и добавления ABTS-субстрата полученный сигнал пропорционален количеству анализируемого соединения, связанного с твердой фазой SA-MTP. Затем осуществляли количественную оценку путем превращения измеренных сигналов образцов в концентрации, определенные относительно калибраторов, анализируемых параллельно.

На первой стадии SA-MTP сенсibilизировали, используя 100 мкл/лунку раствора биотинилированного «захватывающего» антитела (MAт<Id<VEGF>>M-

2.45.51-IgG-Bi(DDS)) в концентрации 1 мкг/мл в течение 1 ч при 500 об/мин на МТР-шейкере. Тем временем подготавливали калибраторы, QC-образцы (образцы для контроля качества) и образцы. Калибраторы и QC-образцы разводили до 2% сывороточной основой; образцы разводили до тех пор, пока сигналы не попадали в линейную область калибраторов.

После сенсibilизации SA-МТР «захватывающим» антителом планшет промывали трижды промывочным буфером, используя 300 мкл/лунку. Затем с помощью пипетки вносили по 100 мкл/лунку калибраторов, QC-образцов и образцов в SA-МТР и вновь инкубировали в течение 1 ч при 500 об/мин. При этом анализируемое соединение связывалось с помощью его анти-VEGF-связывающего сайта через «захватывающее» антитело с твердой фазой SA-МТР. После инкубации и удаления несвязанного анализируемого соединения путем промывки планшета в SA-МТР добавляли по 100 мкл/лунку первого идентифицирующего антитела (МАт<Id-<Ang2>>М-2.6.81-IgG-Dig(XOSu)) в концентрации 250 нг/мл. И в этом случае планшет инкубировали в течение 1 ч при 500 об/мин на шейкере. После промывки в лунки SA-МТР добавляли по 100 мкл/лунку второго идентифицирующего антитела (ПАт<дигоксигенин>S-Fab-POD (поли)) в концентрации 50 мед./мл и планшет вновь инкубировали в течение 1 ч при 500 об/мин. После конечной стадии промывки для удаления идентифицирующего антитела добавляли по 100 мкл/лунку субстрата (ABTS). Конъюгат антитело-фермент катализировал цветную реакцию ABTS®-субстрата. Затем сигнал измеряли с помощью ридера для ELISA при длине волны 405 нм (длина референс-волны: 490 нм ([405/490] нм)).

#### Оценка фармакокинетики

Фармакокинетические параметры рассчитывали с помощью некомпартментального анализа, используя программу для оценки фармакокинетических параметров WinNonlin™ (фирма Pharsight), версия 5.2.1.

#### Результаты: А) Концентрации в сыворотке

Результаты определения концентраций в сыворотке представлены в таблицах 13-16 и на фиг. 7Б-7В.

**Таблица 13: VEGFang2-0015 (без AAA-мутации): сравнение концентраций в сыворотке после интравитреального и внутривенного введения**

	Концентрация в сыворотке после интравитреального введения	Концентрация в сыворотке после внутривенного введения
Время	Средняя конц. [мкг/мл]	Средняя конц. [мкг/мл]
1 ч		17,7
2 ч	9,8	
7 ч	10,4	12,1
24 ч	6,4	8,3
48 ч	6,5	6,9
96 ч	3,4	4,1
168 ч	2,9	2,7

**Таблица 14: VEGFang2-0016 (с AAA-мутацией): сравнение концентраций**

5 **в сыворотке после интравитреального и внутривенного введения**

	Концентрация в сыворотке после интравитреального введения	Концентрация в сыворотке после внутривенного введения
Время	Средняя конц. [мкг/мл]	Средняя конц. [мкг/мл]
1 ч		18,4
2 ч	7,0	
7 ч	8,7	10,0
24 ч	2,2	3,3
48 ч	1,0	1,0
96 ч	0,1	0,1
168 ч	0,0	0,0

**Таблица 15: VEGFang2-0015 (без AAA-мутации) и VEGFang2-0016 (с AAA-мутацией): сравнение концентраций в сыворотке после интравитреального введения)**

	VEGFang2-0015 (без AAA-мутации)	VEGFang2-0016 (с AAA-мутацией)
Время	Средняя конц. [мкг/мл]	Средняя конц. [мкг/мл]
2 ч	9,8	7,0
7 ч	10,4	8,7
24 ч	6,4	2,2
48 ч	6,5	1,0
96 ч	3,4	0,1
168 ч	2,9	0,0

10

**Таблица 16: VEGFang2-0015 (без AAA-мутации) и VEGFang2-0016 (с AAA-мутацией): сравнение концентраций в сыворотке после внутривенного)**

	VEGFang2-0015 (без AAA-мутации)	VEGFang2-0016 (с AAA-мутацией)
Время	Средняя конц. [мкг/мл]	Средняя конц. [мкг/мл]
1 ч	17,7	18,4
7 ч	12,1	10,0
24 ч	8,3	3,3
48 ч	6,9	1,0

	VEGFang2-0015 (без AAA-мутации)	VEGFang2-0016 (с AAA-мутацией)
Время	Средняя конц. [мкг/мл]	Средняя конц. [мкг/мл]
96 ч	4,1	0,1
168 ч	2,7	0,0

Результаты: Б) Концентрации в глазных лизатах левых и правых глаз

Результаты определения концентраций в глазных лизатах представлены в таблицах 17-18 и на фиг. 7Г-7Д.

5 Таблица 17а: Концентрации VEGFang2-0015 (без AAA-мутации) в глазных лизатах после интравитреального введения в правый глаз

Средние величины конц. для n=6 мышей		
Время		Средняя конц. [нг/мл]
96 ч	левый глаз	8,7
	правый глаз	46,1
168 ч	левый глаз	4,3
	правый глаз	12,9

Таблица 17б: Концентрации VEGFang2-0015 (без AAA-мутации) в глазных лизатах после внутривенного введения

Средние величины конц. для n=5 мышей		
Время		Средняя конц. [нг/мл]
96 ч	левый глаз	4,2
	правый глаз	7,5
168 ч	левый глаз	3,4
	правый глаз	6,1

10

Таблица 18а: Концентрации VEGFang2-0016 (с AAA-мутациями) в глазных лизатах после интравитреального введения в правый глаз

Средние величины конц. Для n=5 мышей		
Время		Средняя конц. [нг/мл]
96 ч	левый глаз	0,3
	правый глаз	34,5
168 ч	левый глаз	0,1
	правый глаз	9,0

15 Таблица 18б: Концентрации VEGFang2-0016 (с AAA-мутациями) в глазных лизатах после внутривенного введения

Средние величины конц. Для n=5 мышей		
Время		Средняя конц. [нг/мл]
96 ч	левый глаз	0,0
	правый глаз	0,1
168 ч	левый глаз	0,0
	правый глаз	0,1

Обобщение результатов:

После интравитреального введения биспецифического антитела <VEGF/ANG2>, предлагаемого в изобретении, такого как VEGFang2-0016 (с AAA-мутацией), в глазных лизатах обнаружены его концентрации (через 96 и 168 ч), близкие к концентрациям биспецифического антитела <VEGF/ANG2> без AAA-мутации, такого как VEGFang2-0015.

Кроме того, после интравитреального введения биспецифического антитела <VEGF/ANG2>, предлагаемого в изобретении, такого как VEGFang2-0016 (с AAA-мутацией), обнаружены также более быстрый клиренс и более короткое время полужизни в сыворотке по сравнению с биспецифическим антителом <VEGF/ANG2> без AAA-мутации, таким как VEGFang2-0015.

Пример 7

Анализ ангиогенеза в микрокармане роговицы мышей

Для оценки антиангиогенного действия биспецифического антитела <VEGF/ANG2> с соответствующими последовательностями анти-VEGF VH и VL SEQ ID NO: 7 и 8 и анти-ANG2 VH и VL SEQ ID NO: 15 и 16 в отношении индуцируемого VEGF ангиогенеза *in vivo*, при создании изобретения осуществляли анализ ангиогенеза в роговице мышей. При осуществлении этого анализа насыщенный VEGF Nylaflo-диск имплантировали в карман из бессосудистой роговицы на фиксированном расстоянии от сосудов лимба. В ответ на создание градиента VEGF в роговице сразу начинался рост сосудов. Опыт проводили на самках мышей линии Balb/c возрастом 8-10 недель, которых покупали у фирмы Charles River, Сульцфельд, Германия. Протокол модифицировали согласно методу, описанному у Rogers M.S. и др., Nat. Protoc. 2, 2007, сс. 2545-2550. В целом, метод состоял в следующем: у анестезированных мышей создавали под микроскопом микрокарманы глубиной примерно 500 мкм на расстоянии примерно 1 мм от лимба до верхней части роговицы, используя хирургическое лезвие и острые пинцеты. Имплантировали диск (Nylaflo®, фирма Pall Corporation, шт. Мичиган) диаметром 0,6 мм и поверхность области имплантации выравнивали. Диски инкубировали в соответствующем факторе роста или наполнителе в течение по меньшей мере 30 мин. Через 3, 5 и 7 дней (или в другом варианте только после 3, 5 или 7 дней)

глаза фотографировали и оценивали сосудистый ответ. Результаты анализа выражали количественно, рассчитывая процент области новых сосудов относительно общей площади роговицы.

5 Диски пропитывали 300 нг VEGF или ЗФР в качестве контроля и имплантировали на 7 дней. Выросты сосудов из лимба в диск оценивали в день 3, 5 и/или 7. За 1 день до имплантации диска внутривенно вводили антитело в дозе 10 мг/кг (благодаря тому, что при внутривенном применении стабильное в сыворотке антитело VEGFang2-0015 (без AAA-мутации), которое отличалось от VEGFang2-0016 только AAA-мутацией и имело такие же анти-VEGF и анти-10 ANG2 VH- и VL-области, опосредующие эффективность, его применяли в качестве заместителя указанного антитела) для тестирования антиангиогенного действия в отношении индуцированного VEGF ангиогенеза *in vivo*. Животных в контрольной группе обрабатывали наполнителем. Применяемый объем составлял 10 мл/кг.

15

ПЕРЕЧЕНЬ ПОСЛЕДОВАТЕЛЬНОСТЕЙ

- <110> Роше Гликарт АГ
- 5 <120> Биспецифические антитела к VEGF/к ANG-2 и их применения для лечения сосудистых глазных заболеваний
- <130> 31094 WO
- 10 <150> EP12176299.1  
<151> 2012-07-13
- <160> 50
- 15 <170> PatentIn, версия 3.5
- <210> 1  
<211> 14  
<212> PRT
- 20 <213> Искусственная
- <220>  
<223> CDR3H тяжелой цепи, <VEGF>ранибизумаб
- 25 <400> 1
- Tyr Pro Tyr Tyr Tyr Gly Thr Ser His Trp Tyr Phe Asp Val  
1 5 10
- 30 <210> 2  
<211> 17  
<212> PRT  
<213> Искусственная
- 35 <220>  
<223> CDR2H тяжелой цепи, <VEGF>ранибизумаб
- <400> 2
- 40 Trp Ile Asn Thr Tyr Thr Gly Glu Pro Thr Tyr Ala Ala Asp Phe Lys  
1 5 10 15
- 45 Arg

<210> 3  
<211> 5  
<212> PRT  
5 <213> Искусственная

<220>  
<223> CDR1H тяжелой цепи, <VEGF>ранибизумаб

10 <400> 3

His Tyr Gly Met Asn  
1 5

15 <210> 4  
<211> 9  
<212> PRT  
<213> Искусственная

20 <220>  
<223> CDR3L легкой цепи, <VEGF>ранибизумаб

<400> 4

25 Gln Gln Tyr Ser Thr Val Pro Trp Thr  
1 5

30 <210> 5  
<211> 7  
<212> PRT  
<213> Искусственная

35 <220>  
<223> CDR2L легкой цепи, <VEGF>ранибизумаб

<400> 5

40 Phe Thr Ser Ser Leu His Ser  
1 5

45 <210> 6  
<211> 11  
<212> PRT  
<213> Искусственная

<220>

<223> CDR1L легкой цепи, <VEGF>ранибизумаб

5 <400> 6

Ser Ala Ser Gln Asp Ile Ser Asn Tyr Leu Asn  
1 5 10

10

<210> 7

<211> 123

<212> PRT

<213> Искусственная

15

<220>

<223> переменный домен тяжелой цепи VH, <VEGF>ранибизумаб

<400> 7

20

Glu Val Gln Leu Val Glu Ser Gly Gly Gly Leu Val Gln Pro Gly Gly  
1 5 10 15

25

Ser Leu Arg Leu Ser Cys Ala Ala Ser Gly Tyr Asp Phe Thr His Tyr  
20 25 30

30

Gly Met Asn Trp Val Arg Gln Ala Pro Gly Lys Gly Leu Glu Trp Val  
35 40 45

35

Gly Trp Ile Asn Thr Tyr Thr Gly Glu Pro Thr Tyr Ala Ala Asp Phe  
50 55 60

40

Lys Arg Arg Phe Thr Phe Ser Leu Asp Thr Ser Lys Ser Thr Ala Tyr  
65 70 75 80

45

Leu Gln Met Asn Ser Leu Arg Ala Glu Asp Thr Ala Val Tyr Tyr Cys  
85 90 95

Ala Lys Tyr Pro Tyr Tyr Tyr Gly Thr Ser His Trp Tyr Phe Asp Val  
100 105 110

Trp Gly Gln Gly Thr Leu Val Thr Val Ser Ser  
115 120

5

<210> 8  
<211> 107  
<212> PRT  
<213> Искусственная

10

<220>  
<223> переменный домен легкой цепи VL, <VEGF>ранибизумаб

<400> 8

15

Asp Ile Gln Leu Thr Gln Ser Pro Ser Ser Leu Ser Ala Ser Val Gly  
1 5 10 15

20

Asp Arg Val Thr Ile Thr Cys Ser Ala Ser Gln Asp Ile Ser Asn Tyr  
20 25 30

25

Leu Asn Trp Tyr Gln Gln Lys Pro Gly Lys Ala Pro Lys Val Leu Ile  
35 40 45

30

Tyr Phe Thr Ser Ser Leu His Ser Gly Val Pro Ser Arg Phe Ser Gly  
50 55 60

35

Ser Gly Ser Gly Thr Asp Phe Thr Leu Thr Ile Ser Ser Leu Gln Pro  
65 70 75 80

40

Thr Phe Gly Gln Gly Thr Lys Val Glu Ile Lys  
100 105

45

<210> 9  
<211> 20  
<212> PRT  
<213> Искусственная

<220>

<223> CDR3H тяжелой цепи, <ANG-2> вариант Ang2i\_LC10

5 <400> 9

Ser Pro Asn Pro Tyr Tyr Tyr Asp Ser Ser Gly Tyr Tyr Tyr Pro Gly  
1 5 10 15

10

Ala Phe Asp Ile  
20

15 <210> 10

<211> 17

<212> PRT

<213> Искусственная

20 <220>

<223> CDR2H тяжелой цепи, <ANG-2> вариант Ang2i\_LC10

<400> 10

25 Trp Ile Asn Pro Asn Ser Gly Gly Thr Asn Tyr Ala Gln Lys Phe Gln  
1 5 10 15

Gly

30

<210> 11

<211> 5

<212> PRT

35 <213> Искусственная

<220>

<223> CDR1H тяжелой цепи, <ANG-2> вариант Ang2i\_LC10

40 <400> 11

Gly Tyr Tyr Met His  
1 5

45

<210> 12

<211> 11

<212> PRT

<213> Искусственная

<220>

5 <223> CDR3L легкой цепи, <ANG-2> вариант Ang2i\_LC10

<400> 12

Gln Val Trp Asp Ser Ser Ser Asp His Trp Val

10 1 5 10

<210> 13

<211> 7

15 <212> PRT

<213> Искусственная

<220>

20 <223> CDR2L легкой цепи, <ANG-2> вариант Ang2i\_LC10

<400> 13

Asp Asp Ser Asp Arg Pro Ser

25 1 5

<210> 14

<211> 11

<212> PRT

30 <213> Искусственная

<220>

<223> CDR1L легкой цепи, <ANG-2> вариант Ang2i\_LC10

35 <400> 14

Gly Gly Asn Asn Ile Gly Ser Lys Ser Val His

40 1 5 10

<210> 15

<211> 129

<212> PRT

<213> Искусственная

45

<220>

<223> переменный домен тяжелой цепи VH, <ANG-2> вариант Ang2i\_LC10

<400> 15

5 Gln Val Gln Leu Val Gln Ser Gly Ala Glu Val Lys Lys Pro Gly Ala  
1 5 10 15

10 Ser Val Lys Val Ser Cys Lys Ala Ser Gly Tyr Thr Phe Thr Gly Tyr  
20 25 30

15 Tyr Met His Trp Val Arg Gln Ala Pro Gly Gln Gly Leu Glu Trp Met  
35 40 45

20 Gly Trp Ile Asn Pro Asn Ser Gly Gly Thr Asn Tyr Ala Gln Lys Phe  
50 55 60

25 Gln Gly Arg Val Thr Met Thr Arg Asp Thr Ser Ile Ser Thr Ala Tyr  
65 70 75 80

30 Met Glu Leu Ser Arg Leu Arg Ser Asp Asp Thr Ala Val Tyr Tyr Cys  
85 90 95

35 Ala Arg Ser Pro Asn Pro Tyr Tyr Tyr Asp Ser Ser Gly Tyr Tyr Tyr  
100 105 110

40 Pro Gly Ala Phe Asp Ile Trp Gly Gln Gly Thr Met Val Thr Val Ser  
115 120 125

45 Ser

<210> 16  
<211> 110  
<212> PRT  
<213> Искусственная

<220>  
<223> переменный домен легкой цепи VL, <ANG-2> вариант Ang2i\_LC10

<400> 16

Ser Tyr Val Leu Thr Gln Pro Pro Ser Val Ser Val Ala Pro Gly Gln  
1 5 10 15

5

Thr Ala Arg Ile Thr Cys Gly Gly Asn Asn Ile Gly Ser Lys Ser Val  
20 25 30

10

His Trp Tyr Gln Gln Lys Pro Gly Gln Ala Pro Val Leu Val Val Tyr  
35 40 45

15

Asp Asp Ser Asp Arg Pro Ser Gly Ile Pro Glu Arg Phe Ser Gly Ser  
50 55 60

20

Asn Ser Gly Asn Thr Ala Thr Leu Thr Ile Ser Arg Val Glu Ala Gly  
65 70 75 80

25

Asp Glu Ala Asp Tyr Tyr Cys Gln Val Trp Asp Ser Ser Ser Asp His  
85 90 95

30

Trp Val Phe Gly Gly Gly Thr Lys Leu Thr Val Leu Gly Gln  
100 105 110

<210> 17

<211> 191

<212> PRT

<213> Homo sapiens

35

<400> 17

Met Asn Phe Leu Leu Ser Trp Val His Trp Ser Leu Ala Leu Leu Leu  
1 5 10 15

40

Tyr Leu His His Ala Lys Trp Ser Gln Ala Ala Pro Met Ala Glu Gly  
20 25 30

45

Gly Gly Gln Asn His His Glu Val Val Lys Phe Met Asp Val Tyr Gln  
35 40 45

Arg Ser Tyr Cys His Pro Ile Glu Thr Leu Val Asp Ile Phe Gln Glu  
50 55 60  
5

Tyr Pro Asp Glu Ile Glu Tyr Ile Phe Lys Pro Ser Cys Val Pro Leu  
65 70 75 80  
10

Met Arg Cys Gly Gly Cys Cys Asn Asp Glu Gly Leu Glu Cys Val Pro  
85 90 95

Thr Glu Glu Ser Asn Ile Thr Met Gln Ile Met Arg Ile Lys Pro His  
100 105 110  
15

Gln Gly Gln His Ile Gly Glu Met Ser Phe Leu Gln His Asn Lys Cys  
115 120 125  
20

Glu Cys Arg Pro Lys Lys Asp Arg Ala Arg Gln Glu Asn Pro Cys Gly  
130 135 140  
25

Pro Cys Ser Glu Arg Arg Lys His Leu Phe Val Gln Asp Pro Gln Thr  
145 150 155 160  
30

Cys Lys Cys Ser Cys Lys Asn Thr Asp Ser Arg Cys Lys Ala Arg Gln  
165 170 175  
35

Leu Glu Leu Asn Glu Arg Thr Cys Arg Cys Asp Lys Pro Arg Arg  
180 185 190

<210> 18  
40 <211> 496  
<212> PRT  
<213> Homo sapiens

<400> 18  
45 Met Trp Gln Ile Val Phe Phe Thr Leu Ser Cys Asp Leu Val Leu Ala  
1 5 10 15

Ala Ala Tyr Asn Asn Phe Arg Lys Ser Met Asp Ser Ile Gly Lys Lys  
20 25 30  
5

Gln Tyr Gln Val Gln His Gly Ser Cys Ser Tyr Thr Phe Leu Leu Pro  
35 40 45  
10

Glu Met Asp Asn Cys Arg Ser Ser Ser Ser Pro Tyr Val Ser Asn Ala  
50 55 60  
15

Val Gln Arg Asp Ala Pro Leu Glu Tyr Asp Asp Ser Val Gln Arg Leu  
65 70 75 80  
20

Gln Val Leu Glu Asn Ile Met Glu Asn Asn Thr Gln Trp Leu Met Lys  
85 90 95  
25

Leu Glu Asn Tyr Ile Gln Asp Asn Met Lys Lys Glu Met Val Glu Ile  
100 105 110  
30

Gln Gln Asn Ala Val Gln Asn Gln Thr Ala Val Met Ile Glu Ile Gly  
115 120 125  
35

Thr Asn Leu Leu Asn Gln Thr Ala Glu Gln Thr Arg Lys Leu Thr Asp  
130 135 140  
40

Val Glu Ala Gln Val Leu Asn Gln Thr Thr Arg Leu Glu Leu Gln Leu  
145 150 155 160  
45

Leu Glu His Ser Leu Ser Thr Asn Lys Leu Glu Lys Gln Ile Leu Asp  
165 170 175  
50

Gln Thr Ser Glu Ile Asn Lys Leu Gln Asp Lys Asn Ser Phe Leu Glu  
180 185 190  
55

Lys Lys Val Leu Ala Met Glu Asp Lys His Ile Ile Gln Leu Gln Ser



Ser Leu Tyr Glu His Phe Tyr Leu Ser Ser Glu Glu Leu Asn Tyr Arg  
385 390 395 400

5 Ile His Leu Lys Gly Leu Thr Gly Thr Ala Gly Lys Ile Ser Ser Ile  
405 410 415

10 Ser Gln Pro Gly Asn Asp Phe Ser Thr Lys Asp Gly Asp Asn Asp Lys  
420 425 430

15 Cys Ile Cys Lys Cys Ser Gln Met Leu Thr Gly Gly Trp Trp Phe Asp  
435 440 445

20 Ala Cys Gly Pro Ser Asn Leu Asn Gly Met Tyr Tyr Pro Gln Arg Gln  
450 455 460

Asn Thr Asn Lys Phe Asn Gly Ile Lys Trp Tyr Tyr Trp Lys Gly Ser  
465 470 475 480

25 Gly Tyr Ser Leu Lys Ala Thr Thr Met Met Ile Arg Pro Ala Asp Phe  
485 490 495

30 <210> 19  
<211> 498  
<212> PRT  
<213> Homo sapiens

35 <400> 19  
Met Thr Val Phe Leu Ser Phe Ala Phe Leu Ala Ala Ile Leu Thr His  
1 5 10 15

40 Ile Gly Cys Ser Asn Gln Arg Arg Ser Pro Glu Asn Ser Gly Arg Arg  
20 25 30

45 Tyr Asn Arg Ile Gln His Gly Gln Cys Ala Tyr Thr Phe Ile Leu Pro  
35 40 45

Glu His Asp Gly Asn Cys Arg Glu Ser Thr Thr Asp Gln Tyr Asn Thr  
50 55 60

5 Asn Ala Leu Gln Arg Asp Ala Pro His Val Glu Pro Asp Phe Ser Ser  
65 70 75 80

10 Gln Lys Leu Gln His Leu Glu His Val Met Glu Asn Tyr Thr Gln Trp  
85 90 95

15 Leu Gln Lys Leu Glu Asn Tyr Ile Val Glu Asn Met Lys Ser Glu Met  
100 105 110

20 Ala Gln Ile Gln Gln Asn Ala Val Gln Asn His Thr Ala Thr Met Leu  
115 120 125

25 Glu Ile Gly Thr Ser Leu Leu Ser Gln Thr Ala Glu Gln Thr Arg Lys  
130 135 140

30 Leu Thr Asp Val Glu Thr Gln Val Leu Asn Gln Thr Ser Arg Leu Glu  
145 150 155 160

35 Ile Gln Leu Leu Glu Asn Ser Leu Ser Thr Tyr Lys Leu Glu Lys Gln  
165 170 175

40 Leu Leu Gln Gln Thr Asn Glu Ile Leu Lys Ile His Glu Lys Asn Ser  
180 185 190

45 Leu Leu Glu His Lys Ile Leu Glu Met Glu Gly Lys His Lys Glu Glu  
195 200 205

50 Leu Asp Thr Leu Lys Glu Glu Lys Glu Asn Leu Gln Gly Leu Val Thr  
210 215 220

55 Arg Gln Thr Tyr Ile Ile Gln Glu Leu Glu Lys Gln Leu Asn Arg Ala  
225 230 235 240

Thr Thr Asn Asn Ser Val Leu Gln Lys Gln Gln Leu Glu Leu Met Asp  
245 250 255

5

Thr Val His Asn Leu Val Asn Leu Cys Thr Lys Glu Gly Val Leu Leu  
260 265 270

10

Lys Gly Gly Lys Arg Glu Glu Glu Lys Pro Phe Arg Asp Cys Ala Asp  
275 280 285

15

Val Tyr Gln Ala Gly Phe Asn Lys Ser Gly Ile Tyr Thr Ile Tyr Ile  
290 295 300

20

Asn Asn Met Pro Glu Pro Lys Lys Val Phe Cys Asn Met Asp Val Asn  
305 310 315 320

25

Gly Gly Gly Trp Thr Val Ile Gln His Arg Glu Asp Gly Ser Leu Asp  
325 330 335

30

Phe Gln Arg Gly Trp Lys Glu Tyr Lys Met Gly Phe Gly Asn Pro Ser  
340 345 350

35

Gly Glu Tyr Trp Leu Gly Asn Glu Phe Ile Phe Ala Ile Thr Ser Gln  
355 360 365

40

Arg Gln Tyr Met Leu Arg Ile Glu Leu Met Asp Trp Glu Gly Asn Arg  
370 375 380

45

Ala Tyr Ser Gln Tyr Asp Arg Phe His Ile Gly Asn Glu Lys Gln Asn  
385 390 395 400

50

Tyr Arg Leu Tyr Leu Lys Gly His Thr Gly Thr Ala Gly Lys Gln Ser  
405 410 415

55

Ser Leu Ile Leu His Gly Ala Asp Phe Ser Thr Lys Asp Ala Asp Asn  
420 425 430

5 Asp Asn Cys Met Cys Lys Cys Ala Leu Met Leu Thr Gly Gly Trp Trp  
435 440 445

10 Phe Asp Ala Cys Gly Pro Ser Asn Leu Asn Gly Met Phe Tyr Thr Ala  
450 455 460

15 Gly Gln Asn His Gly Lys Leu Asn Gly Ile Lys Trp His Tyr Phe Lys  
465 470 475 480

20 Asp Phe  
485 490 495

25 <210> 20  
<211> 1124  
<212> PRT  
<213> Homo sapiens  
  
<400> 20

30 Met Asp Ser Leu Ala Ser Leu Val Leu Cys Gly Val Ser Leu Leu Leu  
1 5 10 15

35 Ser Gly Thr Val Glu Gly Ala Met Asp Leu Ile Leu Ile Asn Ser Leu  
20 25 30

40 Pro Leu Val Ser Asp Ala Glu Thr Ser Leu Thr Cys Ile Ala Ser Gly  
35 40 45

45 Trp Arg Pro His Glu Pro Ile Thr Ile Gly Arg Asp Phe Glu Ala Leu  
50 55 60

Met Asn Gln His Gln Asp Pro Leu Glu Val Thr Gln Asp Val Thr Arg  
65 70 75 80



260

265

270

5 Gly Cys Lys Ser Tyr Val Phe Cys Leu Pro Asp Pro Tyr Gly Cys Ser  
275 280 285

10 Cys Ala Thr Gly Trp Lys Gly Leu Gln Cys Asn Glu Ala Cys His Pro  
290 295 300

15 Gly Phe Tyr Gly Pro Asp Cys Lys Leu Arg Cys Ser Cys Asn Asn Gly  
305 310 315 320

20 Glu Met Cys Asp Arg Phe Gln Gly Cys Leu Cys Ser Pro Gly Trp Gln  
325 330 335

25 Gly Leu Gln Cys Glu Arg Glu Gly Ile Pro Arg Met Thr Pro Lys Ile  
340 345 350

30 Val Asp Leu Pro Asp His Ile Glu Val Asn Ser Gly Lys Phe Asn Pro  
355 360 365

35 Ile Cys Lys Ala Ser Gly Trp Pro Leu Pro Thr Asn Glu Glu Met Thr  
370 375 380

40 Leu Val Lys Pro Asp Gly Thr Val Leu His Pro Lys Asp Phe Asn His  
385 390 395 400

45 Thr Asp His Phe Ser Val Ala Ile Phe Thr Ile His Arg Ile Leu Pro  
405 410 415

50 Pro Asp Ser Gly Val Trp Val Cys Ser Val Asn Thr Val Ala Gly Met  
420 425 430

55 Val Glu Lys Pro Phe Asn Ile Ser Val Lys Val Leu Pro Lys Pro Leu  
435 440 445

Asn Ala Pro Asn Val Ile Asp Thr Gly His Asn Phe Ala Val Ile Asn  
450 455 460

5 Ile Ser Ser Glu Pro Tyr Phe Gly Asp Gly Pro Ile Lys Ser Lys Lys  
465 470 475 480

10 Leu Leu Tyr Lys Pro Val Asn His Tyr Glu Ala Trp Gln His Ile Gln  
485 490 495

15 Val Thr Asn Glu Ile Val Thr Leu Asn Tyr Leu Glu Pro Arg Thr Glu  
500 505 510

20 Tyr Glu Leu Cys Val Gln Leu Val Arg Arg Gly Glu Gly Gly Glu Gly  
515 520 525

His Pro Gly Pro Val Arg Arg Phe Thr Thr Ala Ser Ile Gly Leu Pro  
530 535 540

25 Pro Pro Arg Gly Leu Asn Leu Leu Pro Lys Ser Gln Thr Thr Leu Asn  
545 550 555 560

30 Leu Thr Trp Gln Pro Ile Phe Pro Ser Ser Glu Asp Asp Phe Tyr Val  
565 570 575

35 Glu Val Glu Arg Arg Ser Val Gln Lys Ser Asp Gln Gln Asn Ile Lys  
580 585 590

Val Pro Gly Asn Leu Thr Ser Val Leu Leu Asn Asn Leu His Pro Arg  
595 600 605

40 Glu Gln Tyr Val Val Arg Ala Arg Val Asn Thr Lys Ala Gln Gly Glu  
610 615 620

45 Trp Ser Glu Asp Leu Thr Ala Trp Thr Leu Ser Asp Ile Leu Pro Pro  
625 630 635 640

Gln Pro Glu Asn Ile Lys Ile Ser Asn Ile Thr His Ser Ser Ala Val  
645 650 655

5  
Ile Ser Trp Thr Ile Leu Asp Gly Tyr Ser Ile Ser Ser Ile Thr Ile  
660 665 670

10  
Arg Tyr Lys Val Gln Gly Lys Asn Glu Asp Gln His Val Asp Val Lys  
675 680 685

15  
Ile Lys Asn Ala Thr Ile Thr Gln Tyr Gln Leu Lys Gly Leu Glu Pro  
690 695 700

20  
Glu Thr Ala Tyr Gln Val Asp Ile Phe Ala Glu Asn Asn Ile Gly Ser  
705 710 715 720

25  
Ser Asn Pro Ala Phe Ser His Glu Leu Val Thr Leu Pro Glu Ser Gln  
725 730 735

30  
Ala Pro Ala Asp Leu Gly Gly Gly Lys Met Leu Leu Ile Ala Ile Leu  
740 745 750

35  
Gly Ser Ala Gly Met Thr Cys Leu Thr Val Leu Leu Ala Phe Leu Ile  
755 760 765

40  
Ile Leu Gln Leu Lys Arg Ala Asn Val Gln Arg Arg Met Ala Gln Ala  
770 775 780

45  
Phe Gln Asn Val Arg Glu Glu Pro Ala Val Gln Phe Asn Ser Gly Thr  
785 790 795 800

50  
Leu Ala Leu Asn Arg Lys Val Lys Asn Asn Pro Asp Pro Thr Ile Tyr  
805 810 815

55  
Pro Val Leu Asp Trp Asn Asp Ile Lys Phe Gln Asp Val Ile Gly Glu  
820 825 830

5 Gly Asn Phe Gly Gln Val Leu Lys Ala Arg Ile Lys Lys Asp Gly Leu  
835 840 845

10 Arg Met Asp Ala Ala Ile Lys Arg Met Lys Glu Tyr Ala Ser Lys Asp  
850 855 860

15 Asp His Arg Asp Phe Ala Gly Glu Leu Glu Val Leu Cys Lys Leu Gly  
865 870 875 880

20 His His Pro Asn Ile Ile Asn Leu Leu Gly Ala Cys Glu His Arg Gly  
885 890 895

25 Tyr Leu Tyr Leu Ala Ile Glu Tyr Ala Pro His Gly Asn Leu Leu Asp  
900 905 910

30 Phe Leu Arg Lys Ser Arg Val Leu Glu Thr Asp Pro Ala Phe Ala Ile  
915 920 925

35 Ala Asn Ser Thr Ala Ser Thr Leu Ser Ser Gln Gln Leu Leu His Phe  
930 935 940

40 Ala Ala Asp Val Ala Arg Gly Met Asp Tyr Leu Ser Gln Lys Gln Phe  
945 950 955 960

45 Ile His Arg Asp Leu Ala Ala Arg Asn Ile Leu Val Gly Glu Asn Tyr  
965 970 975

50 Val Ala Lys Ile Ala Asp Phe Gly Leu Ser Arg Gly Gln Glu Val Tyr  
980 985 990

55 Val Lys Lys Thr Met Gly Arg Leu Pro Val Arg Trp Met Ala Ile Glu  
995 1000 1005

60 Ser Leu Asn Tyr Ser Val Tyr Thr Thr Asn Ser Asp Val Trp Ser

	1010		1015		1020
5	Tyr Gly Val Leu Leu Trp Glu Ile Val Ser Leu Gly Gly Thr Pro 1025		1030		1035
10	Tyr Cys Gly Met Thr Cys Ala Glu Leu Tyr Glu Lys Leu Pro Gln 1040		1045		1050
15	Gly Tyr Arg Leu Glu Lys Pro Leu Asn Cys Asp Asp Glu Val Tyr 1055		1060		1065
20	Asp Leu Met Arg Gln Cys Trp Arg Glu Lys Pro Tyr Glu Arg Pro 1070		1075		1080
25	Ser Phe Ala Gln Ile Leu Val Ser Leu Asn Arg Met Leu Glu Glu 1085		1090		1095
30	Arg Lys Thr Tyr Val Asn Thr Thr Leu Tyr Glu Lys Phe Thr Tyr 1100		1105		1110
35	Ala Gly Ile Asp Cys Ser Ala Glu Glu Ala Ala 1115		1120		
40	<210> 21 <211> 453 <212> PRT <213> Искусственная  <220> <223> тяжелая цепь 1 <VEGF-ANG-2> CrossMAb IgG1 с AAA-мутациями (VEGFang2-0012)				
45	Glu Val Gln Leu Val Glu Ser Gly Gly Gly Leu Val Gln Pro Gly Gly 1 5 10 15				
	Ser Leu Arg Leu Ser Cys Ala Ala Ser Gly Tyr Asp Phe Thr His Tyr				

	20		25		30
5	Gly Met Asn Trp Val Arg Gln Ala Pro Gly Lys Gly Leu Glu Trp Val	35	40		45
10	Gly Trp Ile Asn Thr Tyr Thr Gly Glu Pro Thr Tyr Ala Ala Asp Phe	50	55		60
15	Lys Arg Arg Phe Thr Phe Ser Leu Asp Thr Ser Lys Ser Thr Ala Tyr	65	70		75
20	Leu Gln Met Asn Ser Leu Arg Ala Glu Asp Thr Ala Val Tyr Tyr Cys	85	90		95
25	Ala Lys Tyr Pro Tyr Tyr Tyr Gly Thr Ser His Trp Tyr Phe Asp Val	100	105		110
30	Trp Gly Gln Gly Thr Leu Val Thr Val Ser Ser Ala Ser Thr Lys Gly	115	120		125
35	Pro Ser Val Phe Pro Leu Ala Pro Ser Ser Lys Ser Thr Ser Gly Gly	130	135		140
40	Thr Ala Ala Leu Gly Cys Leu Val Lys Asp Tyr Phe Pro Glu Pro Val	145	150		155
45	Thr Val Ser Trp Asn Ser Gly Ala Leu Thr Ser Gly Val His Thr Phe	165	170		175
50	Pro Ala Val Leu Gln Ser Ser Gly Leu Tyr Ser Leu Ser Ser Val Val	180	185		190
55	Thr Val Pro Ser Ser Ser Leu Gly Thr Gln Thr Tyr Ile Cys Asn Val	195	200		205

Asn His Lys Pro Ser Asn Thr Lys Val Asp Lys Lys Val Glu Pro Lys  
210 215 220

5 Ser Cys Asp Lys Thr His Thr Cys Pro Pro Cys Pro Ala Pro Glu Leu  
225 230 235 240

10 Leu Gly Gly Pro Ser Val Phe Leu Phe Pro Pro Lys Pro Lys Asp Thr  
245 250 255

15 Leu Met Ala Ser Arg Thr Pro Glu Val Thr Cys Val Val Val Asp Val  
260 265 270

20 Ser His Glu Asp Pro Glu Val Lys Phe Asn Trp Tyr Val Asp Gly Val  
275 280 285

Glu Val His Asn Ala Lys Thr Lys Pro Arg Glu Glu Gln Tyr Asn Ser  
290 295 300

25 Thr Tyr Arg Val Val Ser Val Leu Thr Val Leu Ala Gln Asp Trp Leu  
305 310 315 320

30 Asn Gly Lys Glu Tyr Lys Cys Lys Val Ser Asn Lys Ala Leu Pro Ala  
325 330 335

35 Pro Ile Glu Lys Thr Ile Ser Lys Ala Lys Gly Gln Pro Arg Glu Pro  
340 345 350

Gln Val Tyr Thr Leu Pro Pro Cys Arg Asp Glu Leu Thr Lys Asn Gln  
355 360 365

40 Val Ser Leu Trp Cys Leu Val Lys Gly Phe Tyr Pro Ser Asp Ile Ala  
370 375 380

45 Val Glu Trp Glu Ser Asn Gly Gln Pro Glu Asn Asn Tyr Lys Thr Thr  
385 390 395 400

Pro Pro Val Leu Asp Ser Asp Gly Ser Phe Phe Leu Tyr Ser Lys Leu  
405 410 415

5  
Thr Val Asp Lys Ser Arg Trp Gln Gln Gly Asn Val Phe Ser Cys Ser  
420 425 430

10  
Val Met His Glu Ala Leu His Asn Ala Tyr Thr Gln Lys Ser Leu Ser  
435 440 445

15  
Leu Ser Pro Gly Lys  
450

<210> 22  
<211> 463  
20 <212> PRT  
<213> Искусственная

<220>  
<223> Тяжелая цепь 2 <VEGF-ANG-2> CrossMAb IgG1 с AAA-мутациями  
25 (VEGFang2-0012)

<400> 22

30  
Gln Val Gln Leu Val Gln Ser Gly Ala Glu Val Lys Lys Pro Gly Ala  
1 5 10 15

35  
Ser Val Lys Val Ser Cys Lys Ala Ser Gly Tyr Thr Phe Thr Gly Tyr  
20 25 30

40  
Tyr Met His Trp Val Arg Gln Ala Pro Gly Gln Gly Leu Glu Trp Met  
35 40 45

40  
Gly Trp Ile Asn Pro Asn Ser Gly Gly Thr Asn Tyr Ala Gln Lys Phe  
50 55 60

45  
Gln Gly Arg Val Thr Met Thr Arg Asp Thr Ser Ile Ser Thr Ala Tyr  
65 70 75 80

Met Glu Leu Ser Arg Leu Arg Ser Asp Asp Thr Ala Val Tyr Tyr Cys  
85 90 95

5  
Ala Arg Ser Pro Asn Pro Tyr Tyr Tyr Asp Ser Ser Gly Tyr Tyr Tyr  
100 105 110

10  
Pro Gly Ala Phe Asp Ile Trp Gly Gln Gly Thr Met Val Thr Val Ser  
115 120 125

15  
Ser Ala Ser Val Ala Ala Pro Ser Val Phe Ile Phe Pro Pro Ser Asp  
130 135 140

20  
Glu Gln Leu Lys Ser Gly Thr Ala Ser Val Val Cys Leu Leu Asn Asn  
145 150 155 160

25  
Phe Tyr Pro Arg Glu Ala Lys Val Gln Trp Lys Val Asp Asn Ala Leu  
165 170 175

30  
Gln Ser Gly Asn Ser Gln Glu Ser Val Thr Glu Gln Asp Ser Lys Asp  
180 185 190

35  
Ser Thr Tyr Ser Leu Ser Ser Thr Leu Thr Leu Ser Lys Ala Asp Tyr  
195 200 205

40  
Glu Lys His Lys Val Tyr Ala Cys Glu Val Thr His Gln Gly Leu Ser  
210 215 220

45  
Ser Pro Val Thr Lys Ser Phe Asn Arg Gly Glu Cys Asp Lys Thr His  
225 230 235 240

50  
Thr Cys Pro Pro Cys Pro Ala Pro Glu Leu Leu Gly Gly Pro Ser Val  
245 250 255

55  
Phe Leu Phe Pro Pro Lys Pro Lys Asp Thr Leu Met Ala Ser Arg Thr  
260 265 270

5 Pro Glu Val Thr Cys Val Val Val Asp Val Ser His Glu Asp Pro Glu  
275 280 285

10 Val Lys Phe Asn Trp Tyr Val Asp Gly Val Glu Val His Asn Ala Lys  
290 295 300

15 Thr Lys Pro Arg Glu Glu Gln Tyr Asn Ser Thr Tyr Arg Val Val Ser  
305 310 315 320

20 Val Leu Thr Val Leu Ala Gln Asp Trp Leu Asn Gly Lys Glu Tyr Lys  
325 330 335

25 Cys Lys Val Ser Asn Lys Ala Leu Pro Ala Pro Ile Glu Lys Thr Ile  
340 345 350

30 Ser Lys Ala Lys Gly Gln Pro Arg Glu Pro Gln Val Cys Thr Leu Pro  
355 360 365

35 Pro Ser Arg Asp Glu Leu Thr Lys Asn Gln Val Ser Leu Ser Cys Ala  
370 375 380

40 Val Lys Gly Phe Tyr Pro Ser Asp Ile Ala Val Glu Trp Glu Ser Asn  
385 390 395 400

45 Gly Gln Pro Glu Asn Asn Tyr Lys Thr Thr Pro Pro Val Leu Asp Ser  
405 410 415

50 Asp Gly Ser Phe Phe Leu Val Ser Lys Leu Thr Val Asp Lys Ser Arg  
420 425 430

55 Trp Gln Gln Gly Asn Val Phe Ser Cys Ser Val Met His Glu Ala Leu  
435 440 445

60 His Asn Ala Tyr Thr Gln Lys Ser Leu Ser Leu Ser Pro Gly Lys

450

455

460

<210> 23  
5 <211> 214  
<212> PRT  
<213> Искусственная  
  
<220>  
10 <223> Легкая цепь 1 <VEGF-ANG-2> CrossMAb IgG1 с AAA-мутациями  
(VEGFang2-0012)  
  
<400> 23  
  
15 Asp Ile Gln Leu Thr Gln Ser Pro Ser Ser Leu Ser Ala Ser Val Gly  
1 5 10 15  
  
20 Asp Arg Val Thr Ile Thr Cys Ser Ala Ser Gln Asp Ile Ser Asn Tyr  
20 25 30  
  
25 Leu Asn Trp Tyr Gln Gln Lys Pro Gly Lys Ala Pro Lys Val Leu Ile  
35 40 45  
  
30 Tyr Phe Thr Ser Ser Leu His Ser Gly Val Pro Ser Arg Phe Ser Gly  
50 55 60  
  
35 Ser Gly Ser Gly Thr Asp Phe Thr Leu Thr Ile Ser Ser Leu Gln Pro  
65 70 75 80  
  
40 Thr Phe Gly Gln Gly Thr Lys Val Glu Ile Lys Arg Thr Val Ala Ala  
100 105 110  
  
45 Pro Ser Val Phe Ile Phe Pro Pro Ser Asp Glu Gln Leu Lys Ser Gly  
115 120 125  
  
Thr Ala Ser Val Val Cys Leu Leu Asn Asn Phe Tyr Pro Arg Glu Ala

130 135 140

5 Lys Val Gln Trp Lys Val Asp Asn Ala Leu Gln Ser Gly Asn Ser Gln  
145 150 155 160

10 Glu Ser Val Thr Glu Gln Asp Ser Lys Asp Ser Thr Tyr Ser Leu Ser  
165 170 175

15 Ser Thr Leu Thr Leu Ser Lys Ala Asp Tyr Glu Lys His Lys Val Tyr  
180 185 190

20 Ala Cys Glu Val Thr His Gln Gly Leu Ser Ser Pro Val Thr Lys Ser  
195 200 205

25 Phe Asn Arg Gly Glu Cys  
210

<210> 24  
<211> 213  
<212> PRT  
<213> Искусственная

30 <220>  
<223> Легкая цепь 2 <VEGF-ANG-2> CrossMAb IgG1 с AAA-мутациями  
(VEGF-Ang2-0012)

<400> 24

35 Ser Tyr Val Leu Thr Gln Pro Pro Ser Val Ser Val Ala Pro Gly Gln  
1 5 10 15

40 Thr Ala Arg Ile Thr Cys Gly Gly Asn Asn Ile Gly Ser Lys Ser Val  
20 25 30

45 His Trp Tyr Gln Gln Lys Pro Gly Gln Ala Pro Val Leu Val Val Tyr  
35 40 45

Asp Asp Ser Asp Arg Pro Ser Gly Ile Pro Glu Arg Phe Ser Gly Ser



<220>

<223> Тяжелая цепь 1 <VEGF-ANG-2> CrossMAb IgG1 с AAA-мутациями  
и P329G LALA-мутациями (VEGFang2-0016)

5

<400> 25

Glu Val Gln Leu Val Glu Ser Gly Gly Gly Leu Val Gln Pro Gly Gly  
1 5 10 15

10

Ser Leu Arg Leu Ser Cys Ala Ala Ser Gly Tyr Asp Phe Thr His Tyr  
20 25 30

15

Gly Met Asn Trp Val Arg Gln Ala Pro Gly Lys Gly Leu Glu Trp Val  
35 40 45

20

Gly Trp Ile Asn Thr Tyr Thr Gly Glu Pro Thr Tyr Ala Ala Asp Phe  
50 55 60

25

Lys Arg Arg Phe Thr Phe Ser Leu Asp Thr Ser Lys Ser Thr Ala Tyr  
65 70 75 80

30

Leu Gln Met Asn Ser Leu Arg Ala Glu Asp Thr Ala Val Tyr Tyr Cys  
85 90 95

Ala Lys Tyr Pro Tyr Tyr Tyr Gly Thr Ser His Trp Tyr Phe Asp Val  
100 105 110

35

Trp Gly Gln Gly Thr Leu Val Thr Val Ser Ser Ala Ser Thr Lys Gly  
115 120 125

40

Pro Ser Val Phe Pro Leu Ala Pro Ser Ser Lys Ser Thr Ser Gly Gly  
130 135 140

45

Thr Ala Ala Leu Gly Cys Leu Val Lys Asp Tyr Phe Pro Glu Pro Val  
145 150 155 160

Thr Val Ser Trp Asn Ser Gly Ala Leu Thr Ser Gly Val His Thr Phe  
165 170 175

5 Pro Ala Val Leu Gln Ser Ser Gly Leu Tyr Ser Leu Ser Ser Val Val  
180 185 190

10 Thr Val Pro Ser Ser Ser Leu Gly Thr Gln Thr Tyr Ile Cys Asn Val  
195 200 205

15 Asn His Lys Pro Ser Asn Thr Lys Val Asp Lys Lys Val Glu Pro Lys  
210 215 220

Ser Cys Asp Lys Thr His Thr Cys Pro Pro Cys Pro Ala Pro Glu Ala  
225 230 235 240

20 Ala Gly Gly Pro Ser Val Phe Leu Phe Pro Pro Lys Pro Lys Asp Thr  
245 250 255

25 Leu Met Ala Ser Arg Thr Pro Glu Val Thr Cys Val Val Val Asp Val  
260 265 270

30 Ser His Glu Asp Pro Glu Val Lys Phe Asn Trp Tyr Val Asp Gly Val  
275 280 285

35 Glu Val His Asn Ala Lys Thr Lys Pro Arg Glu Glu Gln Tyr Asn Ser  
290 295 300

Thr Tyr Arg Val Val Ser Val Leu Thr Val Leu Ala Gln Asp Trp Leu  
305 310 315 320

40 Asn Gly Lys Glu Tyr Lys Cys Lys Val Ser Asn Lys Ala Leu Gly Ala  
325 330 335

45 Pro Ile Glu Lys Thr Ile Ser Lys Ala Lys Gly Gln Pro Arg Glu Pro  
340 345 350

Gln Val Tyr Thr Leu Pro Pro Cys Arg Asp Glu Leu Thr Lys Asn Gln  
355 360 365

5

Val Ser Leu Trp Cys Leu Val Lys Gly Phe Tyr Pro Ser Asp Ile Ala  
370 375 380

10

Val Glu Trp Glu Ser Asn Gly Gln Pro Glu Asn Asn Tyr Lys Thr Thr  
385 390 395 400

15

Pro Pro Val Leu Asp Ser Asp Gly Ser Phe Phe Leu Tyr Ser Lys Leu  
405 410 415

20

Thr Val Asp Lys Ser Arg Trp Gln Gln Gly Asn Val Phe Ser Cys Ser  
420 425 430

Val Met His Glu Ala Leu His Asn Ala Tyr Thr Gln Lys Ser Leu Ser  
435 440 445

25

Leu Ser Pro Gly Lys  
450

30

<210> 26  
<211> 463  
<212> PRT  
<213> Искусственная

35

<220>  
<223> Тяжелая цепь 2 <VEGF-ANG-2> CrossMAb IgG1 с AAA-мутациями  
и P329G LALA-мутациями (VEGFang2-0016)

<400> 26

40

Gln Val Gln Leu Val Gln Ser Gly Ala Glu Val Lys Lys Pro Gly Ala  
1 5 10 15

45

Ser Val Lys Val Ser Cys Lys Ala Ser Gly Tyr Thr Phe Thr Gly Tyr  
20 25 30

Tyr Met His Trp Val Arg Gln Ala Pro Gly Gln Gly Leu Glu Trp Met  
35 40 45

5  
Gly Trp Ile Asn Pro Asn Ser Gly Gly Thr Asn Tyr Ala Gln Lys Phe  
50 55 60

10  
Gln Gly Arg Val Thr Met Thr Arg Asp Thr Ser Ile Ser Thr Ala Tyr  
65 70 75 80

15  
Met Glu Leu Ser Arg Leu Arg Ser Asp Asp Thr Ala Val Tyr Tyr Cys  
85 90 95

20  
Ala Arg Ser Pro Asn Pro Tyr Tyr Tyr Asp Ser Ser Gly Tyr Tyr Tyr  
100 105 110

25  
Pro Gly Ala Phe Asp Ile Trp Gly Gln Gly Thr Met Val Thr Val Ser  
115 120 125

30  
Ser Ala Ser Val Ala Ala Pro Ser Val Phe Ile Phe Pro Pro Ser Asp  
130 135 140

35  
Glu Gln Leu Lys Ser Gly Thr Ala Ser Val Val Cys Leu Leu Asn Asn  
145 150 155 160

40  
Phe Tyr Pro Arg Glu Ala Lys Val Gln Trp Lys Val Asp Asn Ala Leu  
165 170 175

45  
Gln Ser Gly Asn Ser Gln Glu Ser Val Thr Glu Gln Asp Ser Lys Asp  
180 185 190

50  
Ser Thr Tyr Ser Leu Ser Ser Thr Leu Thr Leu Ser Lys Ala Asp Tyr  
195 200 205

55  
Glu Lys His Lys Val Tyr Ala Cys Glu Val Thr His Gln Gly Leu Ser  
210 215 220

5 Ser Pro Val Thr Lys Ser Phe Asn Arg Gly Glu Cys Asp Lys Thr His  
225 230 235 240

10 Thr Cys Pro Pro Cys Pro Ala Pro Glu Ala Ala Gly Gly Pro Ser Val  
245 250 255

15 Phe Leu Phe Pro Pro Lys Pro Lys Asp Thr Leu Met Ala Ser Arg Thr  
260 265 270

20 Val Lys Phe Asn Trp Tyr Val Asp Gly Val Glu Val His Asn Ala Lys  
290 295 300

25 Thr Lys Pro Arg Glu Glu Gln Tyr Asn Ser Thr Tyr Arg Val Val Ser  
305 310 315 320

30 Val Leu Thr Val Leu Ala Gln Asp Trp Leu Asn Gly Lys Glu Tyr Lys  
325 330 335

35 Cys Lys Val Ser Asn Lys Ala Leu Gly Ala Pro Ile Glu Lys Thr Ile  
340 345 350

40 Ser Lys Ala Lys Gly Gln Pro Arg Glu Pro Gln Val Cys Thr Leu Pro  
355 360 365

45 Pro Ser Arg Asp Glu Leu Thr Lys Asn Gln Val Ser Leu Ser Cys Ala  
370 375 380

50 Val Lys Gly Phe Tyr Pro Ser Asp Ile Ala Val Glu Trp Glu Ser Asn  
385 390 395 400

55 Gly Gln Pro Glu Asn Asn Tyr Lys Thr Thr Pro Pro Val Leu Asp Ser

405

410

415

5 Asp Gly Ser Phe Phe Leu Val Ser Lys Leu Thr Val Asp Lys Ser Arg  
420 425 430

10 Trp Gln Gln Gly Asn Val Phe Ser Cys Ser Val Met His Glu Ala Leu  
435 440 445

15 His Asn Ala Tyr Thr Gln Lys Ser Leu Ser Leu Ser Pro Gly Lys  
450 455 460

<210> 27

<211> 214

<212> PRT

<213> Искусственная

20

<220>

<223> Легкая цепь 1 <VEGF-ANG-2> CrossMAb IgG1 с AAA-мутациями  
и P329G LALA-мутациями (VEGFang2-0016)

25 <400> 27

Asp Ile Gln Leu Thr Gln Ser Pro Ser Ser Leu Ser Ala Ser Val Gly  
1 5 10 15

30

Asp Arg Val Thr Ile Thr Cys Ser Ala Ser Gln Asp Ile Ser Asn Tyr  
20 25 30

35 Leu Asn Trp Tyr Gln Gln Lys Pro Gly Lys Ala Pro Lys Val Leu Ile  
35 40 45

40 Tyr Phe Thr Ser Ser Leu His Ser Gly Val Pro Ser Arg Phe Ser Gly  
50 55 60

45 Ser Gly Ser Gly Thr Asp Phe Thr Leu Thr Ile Ser Ser Leu Gln Pro  
65 70 75 80

Glu Asp Phe Ala Thr Tyr Tyr Cys Gln Gln Tyr Ser Thr Val Pro Trp

85

90

95

5 Thr Phe Gly Gln Gly Thr Lys Val Glu Ile Lys Arg Thr Val Ala Ala  
100 105 110

10 Pro Ser Val Phe Ile Phe Pro Pro Ser Asp Glu Gln Leu Lys Ser Gly  
115 120 125

15 Thr Ala Ser Val Val Cys Leu Leu Asn Asn Phe Tyr Pro Arg Glu Ala  
130 135 140

20 Lys Val Gln Trp Lys Val Asp Asn Ala Leu Gln Ser Gly Asn Ser Gln  
145 150 155 160

25 Glu Ser Val Thr Glu Gln Asp Ser Lys Asp Ser Thr Tyr Ser Leu Ser  
165 170 175

30 Ser Thr Leu Thr Leu Ser Lys Ala Asp Tyr Glu Lys His Lys Val Tyr  
180 185 190

35 Ala Cys Glu Val Thr His Gln Gly Leu Ser Ser Pro Val Thr Lys Ser  
195 200 205

40 Phe Asn Arg Gly Glu Cys  
210

45 <210> 28  
<211> 213  
<212> PRT  
<213> Искусственная

<220>  
<223> Легкая цепь 2 <VEGF-ANG-2> CrossMAb IgG1 с AAA-мутациями  
и P329G LALA-мутациями (VEGFang2-0016)

<400> 28

Ser Tyr Val Leu Thr Gln Pro Pro Ser Val Ser Val Ala Pro Gly Gln



Cys Asn Val Asn His Lys Pro Ser Asn Thr Lys Val Asp Lys Lys Val  
195 200 205

5 Glu Pro Lys Ser Cys  
210

<210> 29  
10 <211> 450  
<212> PRT  
<213> Искусственная

<220>  
15 <223> Тяжелая цепь 1 <VEGF-ANG-2> CrossMAb IgG4 с AAA-мутациями  
и с SPLE-мутациями

<400> 29

20 Glu Val Gln Leu Val Glu Ser Gly Gly Gly Leu Val Gln Pro Gly Gly  
1 5 10 15

Ser Leu Arg Leu Ser Cys Ala Ala Ser Gly Tyr Asp Phe Thr His Tyr  
25 20 25 30

Gly Met Asn Trp Val Arg Gln Ala Pro Gly Lys Gly Leu Glu Trp Val  
30 35 40 45

Gly Trp Ile Asn Thr Tyr Thr Gly Glu Pro Thr Tyr Ala Ala Asp Phe  
50 55 60

35 Lys Arg Arg Phe Thr Phe Ser Leu Asp Thr Ser Lys Ser Thr Ala Tyr  
65 70 75 80

40 Leu Gln Met Asn Ser Leu Arg Ala Glu Asp Thr Ala Val Tyr Tyr Cys  
85 90 95

45 Ala Lys Tyr Pro Tyr Tyr Tyr Gly Thr Ser His Trp Tyr Phe Asp Val  
100 105 110

Trp Gly Gln Gly Thr Leu Val Thr Val Ser Ser Ala Ser Thr Lys Gly  
115 120 125

5 Pro Ser Val Phe Pro Leu Ala Pro Cys Ser Arg Ser Thr Ser Glu Ser  
130 135 140

10 Thr Ala Ala Leu Gly Cys Leu Val Lys Asp Tyr Phe Pro Glu Pro Val  
145 150 155 160

15 Thr Val Ser Trp Asn Ser Gly Ala Leu Thr Ser Gly Val His Thr Phe  
165 170 175

Pro Ala Val Leu Gln Ser Ser Gly Leu Tyr Ser Leu Ser Ser Val Val  
180 185 190

20 Thr Val Pro Ser Ser Ser Leu Gly Thr Lys Thr Tyr Thr Cys Asn Val  
195 200 205

25 Asp His Lys Pro Ser Asn Thr Lys Val Asp Lys Arg Val Glu Ser Lys  
210 215 220

30 Tyr Gly Pro Pro Cys Pro Pro Cys Pro Ala Pro Glu Phe Glu Gly Gly  
225 230 235 240

35 Pro Ser Val Phe Leu Phe Pro Pro Lys Pro Lys Asp Thr Leu Met Ala  
245 250 255

Ser Arg Thr Pro Glu Val Thr Cys Val Val Val Asp Val Ser Gln Glu  
260 265 270

40 Asp Pro Glu Val Gln Phe Asn Trp Tyr Val Asp Gly Val Glu Val His  
275 280 285

45 Asn Ala Lys Thr Lys Pro Arg Glu Glu Gln Phe Asn Ser Thr Tyr Arg  
290 295 300

Val Val Ser Val Leu Thr Val Leu Ala Gln Asp Trp Leu Asn Gly Lys  
305 310 315 320

5

Glu Tyr Lys Cys Lys Val Ser Asn Lys Gly Leu Pro Ser Ser Ile Glu  
325 330 335

10

Lys Thr Ile Ser Lys Ala Lys Gly Gln Pro Arg Glu Pro Gln Val Cys  
340 345 350

15

Thr Leu Pro Pro Ser Gln Glu Glu Met Thr Lys Asn Gln Val Ser Leu  
355 360 365

20

Ser Cys Ala Val Lys Gly Phe Tyr Pro Ser Asp Ile Ala Val Glu Trp  
370 375 380

Glu Ser Asn Gly Gln Pro Glu Asn Asn Tyr Lys Thr Thr Pro Pro Val  
385 390 395 400

25

Leu Asp Ser Asp Gly Ser Phe Phe Leu Val Ser Arg Leu Thr Val Asp  
405 410 415

30

Lys Ser Arg Trp Gln Glu Gly Asn Val Phe Ser Cys Ser Val Met His  
420 425 430

35

Glu Ala Leu His Asn Ala Tyr Thr Gln Lys Ser Leu Ser Leu Ser Leu  
435 440 445

Gly Lys  
450

40

<210> 30

<211> 460

<212> PRT

45

<213> Искусственная

<220>

<223> Тяжелая цепь 2 <VEGF-ANG-2> CrossMAb IgG4 с AAA-мутациями  
и с SPLE-мутациями

<400> 30

5

Gln Val Gln Leu Val Gln Ser Gly Ala Glu Val Lys Lys Pro Gly Ala  
1 5 10 15

10

Ser Val Lys Val Ser Cys Lys Ala Ser Gly Tyr Thr Phe Thr Gly Tyr  
20 25 30

15

Tyr Met His Trp Val Arg Gln Ala Pro Gly Gln Gly Leu Glu Trp Met  
35 40 45

20

Gly Trp Ile Asn Pro Asn Ser Gly Gly Thr Asn Tyr Ala Gln Lys Phe  
50 55 60

Gln Gly Arg Val Thr Met Thr Arg Asp Thr Ser Ile Ser Thr Ala Tyr  
65 70 75 80

25

Met Glu Leu Ser Arg Leu Arg Ser Asp Asp Thr Ala Val Tyr Tyr Cys  
85 90 95

30

Ala Arg Ser Pro Asn Pro Tyr Tyr Tyr Asp Ser Ser Gly Tyr Tyr Tyr  
100 105 110

35

Pro Gly Ala Phe Asp Ile Trp Gly Gln Gly Thr Met Val Thr Val Ser  
115 120 125

40

Ser Ala Ser Val Ala Ala Pro Ser Val Phe Ile Phe Pro Pro Ser Asp  
130 135 140

45

Glu Gln Leu Lys Ser Gly Thr Ala Ser Val Val Cys Leu Leu Asn Asn  
145 150 155 160

Phe Tyr Pro Arg Glu Ala Lys Val Gln Trp Lys Val Asp Asn Ala Leu  
165 170 175

5 Gln Ser Gly Asn Ser Gln Glu Ser Val Thr Glu Gln Asp Ser Lys Asp  
180 185 190

Ser Thr Tyr Ser Leu Ser Ser Thr Leu Thr Leu Ser Lys Ala Asp Tyr  
195 200 205

10 Glu Lys His Lys Val Tyr Ala Cys Glu Val Thr His Gln Gly Leu Ser  
210 215 220

15 Ser Pro Val Thr Lys Ser Phe Asn Arg Gly Glu Cys Pro Pro Cys Pro  
225 230 235 240

20 Pro Cys Pro Ala Pro Glu Phe Glu Gly Gly Pro Ser Val Phe Leu Phe  
245 250 255

25 Pro Pro Lys Pro Lys Asp Thr Leu Met Ala Ser Arg Thr Pro Glu Val  
260 265 270

30 Thr Cys Val Val Val Asp Val Ser Gln Glu Asp Pro Glu Val Gln Phe  
275 280 285

35 Asn Trp Tyr Val Asp Gly Val Glu Val His Asn Ala Lys Thr Lys Pro  
290 295 300

40 Val Leu Ala Gln Asp Trp Leu Asn Gly Lys Glu Tyr Lys Cys Lys Val  
325 330 335

45 Ser Asn Lys Gly Leu Pro Ser Ser Ile Glu Lys Thr Ile Ser Lys Ala  
340 345 350

Lys Gly Gln Pro Arg Glu Pro Gln Val Tyr Thr Leu Pro Pro Cys Gln

355 360 365

5 Glu Glu Met Thr Lys Asn Gln Val Ser Leu Trp Cys Leu Val Lys Gly  
370 375 380

10 Phe Tyr Pro Ser Asp Ile Ala Val Glu Trp Glu Ser Asn Gly Gln Pro  
385 390 395 400

15 Glu Asn Asn Tyr Lys Thr Thr Pro Pro Val Leu Asp Ser Asp Gly Ser  
405 410 415

20 Phe Phe Leu Tyr Ser Arg Leu Thr Val Asp Lys Ser Arg Trp Gln Glu  
420 425 430

25 Gly Asn Val Phe Ser Cys Ser Val Met His Glu Ala Leu His Asn Ala  
435 440 445

30 Tyr Thr Gln Lys Ser Leu Ser Leu Ser Leu Gly Lys  
450 455 460

<210> 31  
<211> 214  
<212> PRT  
<213> Искусственная

35 <220>  
<223> Легкая цепь 1 <VEGF-ANG-2> CrossMAb IgG4 с ААА-мутациями  
и с SPLE-мутациями

<400> 31

40 Asp Ile Gln Leu Thr Gln Ser Pro Ser Ser Leu Ser Ala Ser Val Gly  
1 5 10 15

45 Asp Arg Val Thr Ile Thr Cys Ser Ala Ser Gln Asp Ile Ser Asn Tyr  
20 25 30

Leu Asn Trp Tyr Gln Gln Lys Pro Gly Lys Ala Pro Lys Val Leu Ile

35

40

45

5 Tyr Phe Thr Ser Ser Leu His Ser Gly Val Pro Ser Arg Phe Ser Gly  
50 55 60

10 Ser Gly Ser Gly Thr Asp Phe Thr Leu Thr Ile Ser Ser Leu Gln Pro  
65 70 75 80

15 Glu Asp Phe Ala Thr Tyr Tyr Cys Gln Gln Tyr Ser Thr Val Pro Trp  
85 90 95

20 Thr Phe Gly Gln Gly Thr Lys Val Glu Ile Lys Arg Thr Val Ala Ala  
100 105 110

25 Pro Ser Val Phe Ile Phe Pro Pro Ser Asp Glu Gln Leu Lys Ser Gly  
115 120 125

30 Thr Ala Ser Val Val Cys Leu Leu Asn Asn Phe Tyr Pro Arg Glu Ala  
130 135 140

35 Lys Val Gln Trp Lys Val Asp Asn Ala Leu Gln Ser Gly Asn Ser Gln  
145 150 155 160

40 Glu Ser Val Thr Glu Gln Asp Ser Lys Asp Ser Thr Tyr Ser Leu Ser  
165 170 175

45 Ser Thr Leu Thr Leu Ser Lys Ala Asp Tyr Glu Lys His Lys Val Tyr  
180 185 190

50 Ala Cys Glu Val Thr His Gln Gly Leu Ser Ser Pro Val Thr Lys Ser  
195 200 205

55 Phe Asn Arg Gly Glu Cys  
210

<210> 32  
<211> 213  
<212> PRT  
<213> Искусственная

5

<220>  
<223> Легкая цепь 2 <VEGF-ANG-2> CrossMAb IgG4 с AAA-мутациями и с SPLE-мутациями

10 <400> 32

Ser Tyr Val Leu Thr Gln Pro Pro Ser Val Ser Val Ala Pro Gly Gln  
1 5 10 15

15

Thr Ala Arg Ile Thr Cys Gly Gly Asn Asn Ile Gly Ser Lys Ser Val  
20 25 30

20 His Trp Tyr Gln Gln Lys Pro Gly Gln Ala Pro Val Leu Val Val Tyr  
35 40 45

25 Asp Asp Ser Asp Arg Pro Ser Gly Ile Pro Glu Arg Phe Ser Gly Ser  
50 55 60

30 Asn Ser Gly Asn Thr Ala Thr Leu Thr Ile Ser Arg Val Glu Ala Gly  
65 70 75 80

35 Asp Glu Ala Asp Tyr Tyr Cys Gln Val Trp Asp Ser Ser Ser Asp His  
85 90 95

40 Trp Val Phe Gly Gly Gly Thr Lys Leu Thr Val Leu Ser Ser Ala Ser  
100 105 110

40 Thr Lys Gly Pro Ser Val Phe Pro Leu Ala Pro Cys Ser Arg Ser Thr  
115 120 125

45 Ser Glu Ser Thr Ala Ala Leu Gly Cys Leu Val Lys Asp Tyr Phe Pro  
130 135 140

Glu Pro Val Thr Val Ser Trp Asn Ser Gly Ala Leu Thr Ser Gly Val  
145 150 155 160

5 His Thr Phe Pro Ala Val Leu Gln Ser Ser Gly Leu Tyr Ser Leu Ser  
165 170 175

10 Ser Val Val Thr Val Pro Ser Ser Ser Leu Gly Thr Lys Thr Tyr Thr  
180 185 190

15 Cys Asn Val Asp His Lys Pro Ser Asn Thr Lys Val Asp Lys Arg Val  
195 200 205

Glu Ser Lys Tyr Gly  
210

20

<210> 33  
<211> 453  
<212> PRT  
<213> Искусственная

25

<220>  
<223> Тяжелая цепь 1 <VEGF-ANG-2> OAscFab IgG1 с AAA-мутациями

<400> 33

30

Glu Val Gln Leu Val Glu Ser Gly Gly Gly Leu Val Gln Pro Gly Gly  
1 5 10 15

35 Ser Leu Arg Leu Ser Cys Ala Ala Ser Gly Tyr Asp Phe Thr His Tyr  
20 25 30

40 Gly Met Asn Trp Val Arg Gln Ala Pro Gly Lys Gly Leu Glu Trp Val  
35 40 45

Gly Trp Ile Asn Thr Tyr Thr Gly Glu Pro Thr Tyr Ala Ala Asp Phe  
50 55 60

45

Lys Arg Arg Phe Thr Phe Ser Leu Asp Thr Ser Lys Ser Thr Ala Tyr

	65					70						75					80
5	Leu	Gln	Met	Asn	Ser	Leu	Arg	Ala	Glu	Asp	Thr	Ala	Val	Tyr	Tyr	Cys	
					85					90					95		
10	Ala	Lys	Tyr	Pro	Tyr	Tyr	Tyr	Gly	Thr	Ser	His	Trp	Tyr	Phe	Asp	Val	
				100					105					110			
15	Trp	Gly	Gln	Gly	Thr	Leu	Val	Thr	Val	Ser	Ser	Ala	Ser	Thr	Lys	Gly	
			115					120						125			
20	Pro	Ser	Val	Phe	Pro	Leu	Ala	Pro	Ser	Ser	Lys	Ser	Thr	Ser	Gly	Gly	
	130						135					140					
25	Thr	Ala	Ala	Leu	Gly	Cys	Leu	Val	Lys	Asp	Tyr	Phe	Pro	Glu	Pro	Val	
	145					150				155						160	
30	Thr	Val	Ser	Trp	Asn	Ser	Gly	Ala	Leu	Thr	Ser	Gly	Val	His	Thr	Phe	
					165					170					175		
35	Pro	Ala	Val	Leu	Gln	Ser	Ser	Gly	Leu	Tyr	Ser	Leu	Ser	Ser	Val	Val	
				180					185					190			
40	Thr	Val	Pro	Ser	Ser	Ser	Leu	Gly	Thr	Gln	Thr	Tyr	Ile	Cys	Asn	Val	
			195					200					205				
45	Asn	His	Lys	Pro	Ser	Asn	Thr	Lys	Val	Asp	Lys	Lys	Val	Glu	Pro	Lys	
	210						215					220					
50	Ser	Cys	Asp	Lys	Thr	His	Thr	Cys	Pro	Pro	Cys	Pro	Ala	Pro	Glu	Leu	
	225					230					235					240	
55	Leu	Gly	Gly	Pro	Ser	Val	Phe	Leu	Phe	Pro	Pro	Lys	Pro	Lys	Asp	Thr	
					245					250					255		

Leu Met Ala Ser Arg Thr Pro Glu Val Thr Cys Val Val Val Asp Val  
260 265 270

5 Ser His Glu Asp Pro Glu Val Lys Phe Asn Trp Tyr Val Asp Gly Val  
275 280 285

10 Glu Val His Asn Ala Lys Thr Lys Pro Arg Glu Glu Gln Tyr Asn Ser  
290 295 300

15 Thr Tyr Arg Val Val Ser Val Leu Thr Val Leu Ala Gln Asp Trp Leu  
305 310 315 320

Asn Gly Lys Glu Tyr Lys Cys Lys Val Ser Asn Lys Ala Leu Pro Ala  
325 330 335

20 Pro Ile Glu Lys Thr Ile Ser Lys Ala Lys Gly Gln Pro Arg Glu Pro  
340 345 350

25 Gln Val Cys Thr Leu Pro Pro Ser Arg Asp Glu Leu Thr Lys Asn Gln  
355 360 365

30 Val Ser Leu Ser Cys Ala Val Lys Gly Phe Tyr Pro Ser Asp Ile Ala  
370 375 380

35 Val Glu Trp Glu Ser Asn Gly Gln Pro Glu Asn Asn Tyr Lys Thr Thr  
385 390 395 400

Pro Pro Val Leu Asp Ser Asp Gly Ser Phe Phe Leu Val Ser Lys Leu  
405 410 415

40 Thr Val Asp Lys Ser Arg Trp Gln Gln Gly Asn Val Phe Ser Cys Ser  
420 425 430

45 Val Met His Glu Ala Leu His Asn Ala Tyr Thr Gln Lys Ser Leu Ser  
435 440 445

Leu Ser Pro Gly Lys  
450

5

<210> 34  
<211> 705  
<212> PRT  
<213> Искусственная

10

<220>  
<223> Тяжелая цепь 2 <VEGF-ANG-2> OAscFab IgG1 с AAA-мутациями

<400> 34

15

Ser Tyr Val Leu Thr Gln Pro Pro Ser Val Ser Val Ala Pro Gly Gln  
1 5 10 15

20

Thr Ala Arg Ile Thr Cys Gly Gly Asn Asn Ile Gly Ser Lys Ser Val  
20 25 30

25

His Trp Tyr Gln Gln Lys Pro Gly Gln Ala Pro Val Leu Val Val Tyr  
35 40 45

30

Asp Asp Ser Asp Arg Pro Ser Gly Ile Pro Glu Arg Phe Ser Gly Ser  
50 55 60

35

Asn Ser Gly Asn Thr Ala Thr Leu Thr Ile Ser Arg Val Glu Ala Gly  
65 70 75 80

40

Asp Glu Ala Asp Tyr Tyr Cys Gln Val Trp Asp Ser Ser Ser Asp His  
85 90 95

45

Trp Val Phe Gly Gly Gly Thr Lys Leu Thr Val Leu Gly Gln Pro Lys  
100 105 110

Ala Ala Pro Ser Val Thr Leu Phe Pro Pro Ser Ser Glu Glu Leu Gln  
115 120 125

Ala Asn Lys Ala Thr Leu Val Cys Leu Ile Ser Asp Phe Tyr Pro Gly  
130 135 140

5 Ala Val Thr Val Ala Trp Lys Ala Asp Ser Ser Pro Val Lys Ala Gly  
145 150 155 160

10 Val Glu Thr Thr Thr Pro Ser Lys Gln Ser Asn Asn Lys Tyr Ala Ala  
165 170 175

15 Ser Ser Tyr Leu Ser Leu Thr Pro Glu Gln Trp Lys Ser His Arg Ser  
180 185 190

20 Tyr Ser Cys Gln Val Thr His Glu Gly Ser Thr Val Glu Lys Thr Val  
195 200 205

Ala Pro Thr Glu Cys Ser Gly Gly Gly Gly Ser Gly Gly Gly Gly Ser  
210 215 220

25 Gly Gly Gly Gly Ser Gly Gly Gly Gly Ser Gly Gly Gly Gly Ser Gly  
225 230 235 240

30 Gly Gly Gly Ser Gly Gly Gln Val Gln Leu Val Glu Ser Gly Ala Glu  
245 250 255

35 Val Lys Lys Pro Gly Ala Ser Val Lys Val Ser Cys Lys Ala Ser Gly  
260 265 270

Tyr Thr Phe Thr Gly Tyr Tyr Met His Trp Val Arg Gln Ala Pro Gly  
275 280 285

40 Gln Gly Leu Glu Trp Met Gly Trp Ile Asn Pro Asn Ser Gly Gly Thr  
290 295 300

45 Asn Tyr Ala Gln Lys Phe Gln Gly Arg Val Thr Met Thr Arg Asp Thr  
305 310 315 320

Ser Ile Ser Thr Ala Tyr Met Glu Leu Ser Arg Leu Arg Ser Asp Asp  
325 330 335

5

Thr Ala Val Tyr Tyr Cys Ala Arg Ser Pro Asn Pro Tyr Tyr Tyr Asp  
340 345 350

10

Ser Ser Gly Tyr Tyr Tyr Pro Gly Ala Phe Asp Ile Trp Gly Gln Gly  
355 360 365

15

Thr Met Val Thr Val Ser Ser Ala Ser Thr Lys Gly Pro Ser Val Phe  
370 375 380

20

Pro Leu Ala Pro Ser Ser Lys Ser Thr Ser Gly Gly Thr Ala Ala Leu  
385 390 395 400

25

Gly Cys Leu Val Lys Asp Tyr Phe Pro Glu Pro Val Thr Val Ser Trp  
405 410 415

Asn Ser Gly Ala Leu Thr Ser Gly Val His Thr Phe Pro Ala Val Leu  
420 425 430

30

Gln Ser Ser Gly Leu Tyr Ser Leu Ser Ser Val Val Thr Val Pro Ser  
435 440 445

35

Ser Ser Leu Gly Thr Gln Thr Tyr Ile Cys Asn Val Asn His Lys Pro  
450 455 460

40

Ser Asn Thr Lys Val Asp Lys Lys Val Glu Pro Lys Ser Cys Asp Lys  
465 470 475 480

Thr His Thr Cys Pro Pro Cys Pro Ala Pro Glu Leu Leu Gly Gly Pro  
485 490 495

45

Ser Val Phe Leu Phe Pro Pro Lys Pro Lys Asp Thr Leu Met Ala Ser  
500 505 510

5 Arg Thr Pro Glu Val Thr Cys Val Val Val Asp Val Ser His Glu Asp  
515 520 525

10 Pro Glu Val Lys Phe Asn Trp Tyr Val Asp Gly Val Glu Val His Asn  
530 535 540

15 Ala Lys Thr Lys Pro Arg Glu Glu Gln Tyr Asn Ser Thr Tyr Arg Val  
545 550 555 560

20 Val Ser Val Leu Thr Val Leu Ala Gln Asp Trp Leu Asn Gly Lys Glu  
565 570 575

25 Tyr Lys Cys Lys Val Ser Asn Lys Ala Leu Pro Ala Pro Ile Glu Lys  
580 585 590

30 Thr Ile Ser Lys Ala Lys Gly Gln Pro Arg Glu Pro Gln Val Tyr Thr  
595 600 605

35 Leu Pro Pro Cys Arg Asp Glu Leu Thr Lys Asn Gln Val Ser Leu Trp  
610 615 620

40 Cys Leu Val Lys Gly Phe Tyr Pro Ser Asp Ile Ala Val Glu Trp Glu  
625 630 635 640

45 Ser Asn Gly Gln Pro Glu Asn Asn Tyr Lys Thr Thr Pro Pro Val Leu  
645 650 655

50 Asp Ser Asp Gly Ser Phe Phe Leu Tyr Ser Lys Leu Thr Val Asp Lys  
660 665 670

55 Ser Arg Trp Gln Gln Gly Asn Val Phe Ser Cys Ser Val Met His Glu  
675 680 685

60 Ala Leu His Asn Ala Tyr Thr Gln Lys Ser Leu Ser Leu Ser Pro Gly

690

695

700

5 Lys  
705

<210> 35  
<211> 214  
10 <212> PRT  
<213> Искусственная

<220>  
<223> Легкая цепь 1 <VEGF-ANG-2> OAscFab IgG1 с AAA-мутациями  
15 <400> 35

Asp Ile Gln Leu Thr Gln Ser Pro Ser Ser Leu Ser Ala Ser Val Gly  
1 5 10 15

20 Asp Arg Val Thr Ile Thr Cys Ser Ala Ser Gln Asp Ile Ser Asn Tyr  
20 25 30

25 Leu Asn Trp Tyr Gln Gln Lys Pro Gly Lys Ala Pro Lys Val Leu Ile  
35 40 45

30 Tyr Phe Thr Ser Ser Leu His Ser Gly Val Pro Ser Arg Phe Ser Gly  
50 55 60

35 Ser Gly Ser Gly Thr Asp Phe Thr Leu Thr Ile Ser Ser Leu Gln Pro  
65 70 75 80

40 Glu Asp Phe Ala Thr Tyr Tyr Cys Gln Gln Tyr Ser Thr Val Pro Trp  
85 90 95

45 Thr Phe Gly Gln Gly Thr Lys Val Glu Ile Lys Arg Thr Val Ala Ala  
100 105 110

Pro Ser Val Phe Ile Phe Pro Pro Ser Asp Glu Gln Leu Lys Ser Gly  
115 120 125

5 Thr Ala Ser Val Val Cys Leu Leu Asn Asn Phe Tyr Pro Arg Glu Ala  
130 135 140

10 Lys Val Gln Trp Lys Val Asp Asn Ala Leu Gln Ser Gly Asn Ser Gln  
145 150 155 160

15 Glu Ser Val Thr Glu Gln Asp Ser Lys Asp Ser Thr Tyr Ser Leu Ser  
165 170 175

20 Ala Cys Glu Val Thr His Gln Gly Leu Ser Ser Pro Val Thr Lys Ser  
195 200 205

25 Phe Asn Arg Gly Glu Cys  
210

30 <210> 36  
<211> 450  
<212> PRT  
<213> Искусственная

35 <220>  
<223> Тяжелая цепь 1 <VEGF-ANG-2> OAscFab IgG4 с AAA-мутациями  
и с SPLE-мутациями

40 <400> 36

45 Glu Val Gln Leu Val Glu Ser Gly Gly Gly Leu Val Gln Pro Gly Gly  
1 5 10 15

Ser Leu Arg Leu Ser Cys Ala Ala Ser Gly Tyr Asp Phe Thr His Tyr  
20 25 30

Gly Met Asn Trp Val Arg Gln Ala Pro Gly Lys Gly Leu Glu Trp Val  
35 40 45

5 Gly Trp Ile Asn Thr Tyr Thr Gly Glu Pro Thr Tyr Ala Ala Asp Phe  
50 55 60

10 Lys Arg Arg Phe Thr Phe Ser Leu Asp Thr Ser Lys Ser Thr Ala Tyr  
65 70 75 80

15 Leu Gln Met Asn Ser Leu Arg Ala Glu Asp Thr Ala Val Tyr Tyr Cys  
85 90 95

20 Ala Lys Tyr Pro Tyr Tyr Tyr Gly Thr Ser His Trp Tyr Phe Asp Val  
100 105 110

25 Trp Gly Gln Gly Thr Leu Val Thr Val Ser Ser Ala Ser Thr Lys Gly  
115 120 125

30 Pro Ser Val Phe Pro Leu Ala Pro Cys Ser Arg Ser Thr Ser Glu Ser  
130 135 140

35 Thr Ala Ala Leu Gly Cys Leu Val Lys Asp Tyr Phe Pro Glu Pro Val  
145 150 155 160

40 Thr Val Ser Trp Asn Ser Gly Ala Leu Thr Ser Gly Val His Thr Phe  
165 170 175

45 Pro Ala Val Leu Gln Ser Ser Gly Leu Tyr Ser Leu Ser Ser Val Val  
180 185 190

50 Thr Val Pro Ser Ser Ser Leu Gly Thr Lys Thr Tyr Thr Cys Asn Val  
195 200 205

55 Asp His Lys Pro Ser Asn Thr Lys Val Asp Lys Arg Val Glu Ser Lys  
210 215 220

60 Tyr Gly Pro Pro Cys Pro Pro Cys Pro Ala Pro Glu Phe Glu Gly Gly

	225				230					235					240	
5	Pro	Ser	Val	Phe	Leu	Phe	Pro	Pro	Lys	Pro	Lys	Asp	Thr	Leu	Met	Ala
					245					250					255	
10	Ser	Arg	Thr	Pro	Glu	Val	Thr	Cys	Val	Val	Val	Asp	Val	Ser	Gln	Glu
				260					265					270		
15	Asp	Pro	Glu	Val	Gln	Phe	Asn	Trp	Tyr	Val	Asp	Gly	Val	Glu	Val	His
			275					280					285			
20	Val	Val	Ser	Val	Leu	Thr	Val	Leu	Ala	Gln	Asp	Trp	Leu	Asn	Gly	Lys
	305					310					315					320
25	Glu	Tyr	Lys	Cys	Lys	Val	Ser	Asn	Lys	Gly	Leu	Pro	Ser	Ser	Ile	Glu
					325					330					335	
30	Lys	Thr	Ile	Ser	Lys	Ala	Lys	Gly	Gln	Pro	Arg	Glu	Pro	Gln	Val	Cys
				340					345					350		
35	Thr	Leu	Pro	Pro	Ser	Gln	Glu	Glu	Met	Thr	Lys	Asn	Gln	Val	Ser	Leu
			355						360				365			
40	Ser	Cys	Ala	Val	Lys	Gly	Phe	Tyr	Pro	Ser	Asp	Ile	Ala	Val	Glu	Trp
		370					375					380				
45	Glu	Ser	Asn	Gly	Gln	Pro	Glu	Asn	Asn	Tyr	Lys	Thr	Thr	Pro	Pro	Val
	385					390					395					400
45	Leu	Asp	Ser	Asp	Gly	Ser	Phe	Phe	Leu	Val	Ser	Arg	Leu	Thr	Val	Asp
					405					410					415	

Lys Ser Arg Trp Gln Glu Gly Asn Val Phe Ser Cys Ser Val Met His  
420 425 430

5 Glu Ala Leu His Asn Ala Tyr Thr Gln Lys Ser Leu Ser Leu Ser Leu  
435 440 445

10 Gly Lys  
450

<210> 37  
<211> 702  
15 <212> PRT  
<213> Искусственная

<220>  
20 <223> Тяжелая цепь 2 <VEGF-ANG-2> OAscFab IgG4 с AAA-мутациями и  
с SPLE-мутациями

<400> 37

25 Ser Tyr Val Leu Thr Gln Pro Pro Ser Val Ser Val Ala Pro Gly Gln  
1 5 10 15

30 Thr Ala Arg Ile Thr Cys Gly Gly Asn Asn Ile Gly Ser Lys Ser Val  
20 25 30

35 His Trp Tyr Gln Gln Lys Pro Gly Gln Ala Pro Val Leu Val Val Tyr  
35 40 45

Asp Asp Ser Asp Arg Pro Ser Gly Ile Pro Glu Arg Phe Ser Gly Ser  
50 55 60

40 Asn Ser Gly Asn Thr Ala Thr Leu Thr Ile Ser Arg Val Glu Ala Gly  
65 70 75 80

45 Asp Glu Ala Asp Tyr Tyr Cys Gln Val Trp Asp Ser Ser Ser Asp His  
85 90 95

Trp Val Phe Gly Gly Gly Thr Lys Leu Thr Val Leu Gly Gln Pro Lys  
100 105 110

5 Ala Ala Pro Ser Val Thr Leu Phe Pro Pro Ser Ser Glu Glu Leu Gln  
115 120 125

10 Ala Asn Lys Ala Thr Leu Val Cys Leu Ile Ser Asp Phe Tyr Pro Gly  
130 135 140

15 Ala Val Thr Val Ala Trp Lys Ala Asp Ser Ser Pro Val Lys Ala Gly  
145 150 155 160

20 Val Glu Thr Thr Thr Pro Ser Lys Gln Ser Asn Asn Lys Tyr Ala Ala  
165 170 175

Ser Ser Tyr Leu Ser Leu Thr Pro Glu Gln Trp Lys Ser His Arg Ser  
180 185 190

25 Tyr Ser Cys Gln Val Thr His Glu Gly Ser Thr Val Glu Lys Thr Val  
195 200 205

30 Ala Pro Thr Glu Cys Ser Gly Gly Gly Gly Ser Gly Gly Gly Gly Ser  
210 215 220

35 Gly Gly Gly Gly Ser Gly Gly Gly Gly Ser Gly Gly Gly Gly Ser Gly  
225 230 235 240

Gly Gly Gly Ser Gly Gly Gln Val Gln Leu Val Glu Ser Gly Ala Glu  
245 250 255

40 Val Lys Lys Pro Gly Ala Ser Val Lys Val Ser Cys Lys Ala Ser Gly  
260 265 270

45 Tyr Thr Phe Thr Gly Tyr Tyr Met His Trp Val Arg Gln Ala Pro Gly  
275 280 285

Gln Gly Leu Glu Trp Met Gly Trp Ile Asn Pro Asn Ser Gly Gly Thr  
290 295 300

5

Asn Tyr Ala Gln Lys Phe Gln Gly Arg Val Thr Met Thr Arg Asp Thr  
305 310 315 320

10

Ser Ile Ser Thr Ala Tyr Met Glu Leu Ser Arg Leu Arg Ser Asp Asp  
325 330 335

15

Thr Ala Val Tyr Tyr Cys Ala Arg Ser Pro Asn Pro Tyr Tyr Tyr Asp  
340 345 350

20

Ser Ser Gly Tyr Tyr Tyr Pro Gly Ala Phe Asp Ile Trp Gly Gln Gly  
355 360 365

25

Thr Met Val Thr Val Ser Ser Ala Ser Thr Lys Gly Pro Ser Val Phe  
370 375 380

30

Pro Leu Ala Pro Cys Ser Arg Ser Thr Ser Glu Ser Thr Ala Ala Leu  
385 390 395 400

35

Gly Cys Leu Val Lys Asp Tyr Phe Pro Glu Pro Val Thr Val Ser Trp  
405 410 415

40

Asn Ser Gly Ala Leu Thr Ser Gly Val His Thr Phe Pro Ala Val Leu  
420 425 430

45

Gln Ser Ser Gly Leu Tyr Ser Leu Ser Ser Val Val Thr Val Pro Ser  
435 440 445

50

Ser Ser Leu Gly Thr Lys Thr Tyr Thr Cys Asn Val Asp His Lys Pro  
450 455 460

55

Ser Asn Thr Lys Val Asp Lys Arg Val Glu Ser Lys Tyr Gly Pro Pro  
465 470 475 480

5 Cys Pro Pro Cys Pro Ala Pro Glu Phe Glu Gly Gly Pro Ser Val Phe  
485 490 495

10 Leu Phe Pro Pro Lys Pro Lys Asp Thr Leu Met Ala Ser Arg Thr Pro  
500 505 510

15 Glu Val Thr Cys Val Val Val Asp Val Ser Gln Glu Asp Pro Glu Val  
515 520 525

20 Gln Phe Asn Trp Tyr Val Asp Gly Val Glu Val His Asn Ala Lys Thr  
530 535 540

25 Lys Pro Arg Glu Glu Gln Phe Asn Ser Thr Tyr Arg Val Val Ser Val  
545 550 555 560

30 Leu Thr Val Leu Ala Gln Asp Trp Leu Asn Gly Lys Glu Tyr Lys Cys  
565 570 575

35 Lys Val Ser Asn Lys Gly Leu Pro Ser Ser Ile Glu Lys Thr Ile Ser  
580 585 590

40 Lys Ala Lys Gly Gln Pro Arg Glu Pro Gln Val Tyr Thr Leu Pro Pro  
595 600 605

45 Cys Gln Glu Glu Met Thr Lys Asn Gln Val Ser Leu Trp Cys Leu Val  
610 615 620

50 Lys Gly Phe Tyr Pro Ser Asp Ile Ala Val Glu Trp Glu Ser Asn Gly  
625 630 635 640

55 Gln Pro Glu Asn Asn Tyr Lys Thr Thr Pro Pro Val Leu Asp Ser Asp  
645 650 655

60 Gly Ser Phe Phe Leu Tyr Ser Arg Leu Thr Val Asp Lys Ser Arg Trp

660 665 670

5 Gln Glu Gly Asn Val Phe Ser Cys Ser Val Met His Glu Ala Leu His  
675 680 685

10 Asn Ala Tyr Thr Gln Lys Ser Leu Ser Leu Ser Leu Gly Lys  
690 695 700

<210> 38  
<211> 214  
<212> PRT  
15 <213> Искусственная

<220>  
<223> Легкая цепь 1 <VEGF-ANG-2> OAscFab IgG4 с AAA мутациями и  
с SPLE-мутациями  
20 <400> 38

25 Asp Ile Gln Leu Thr Gln Ser Pro Ser Ser Leu Ser Ala Ser Val Gly  
1 5 10 15

30 Asp Arg Val Thr Ile Thr Cys Ser Ala Ser Gln Asp Ile Ser Asn Tyr  
20 25 30

35 Leu Asn Trp Tyr Gln Gln Lys Pro Gly Lys Ala Pro Lys Val Leu Ile  
35 40 45

40 Tyr Phe Thr Ser Ser Leu His Ser Gly Val Pro Ser Arg Phe Ser Gly  
50 55 60

45 Ser Gly Ser Gly Thr Asp Phe Thr Leu Thr Ile Ser Ser Leu Gln Pro  
65 70 75 80

45 Glu Asp Phe Ala Thr Tyr Tyr Cys Gln Gln Tyr Ser Thr Val Pro Trp  
85 90 95

Thr Phe Gly Gln Gly Thr Lys Val Glu Ile Lys Arg Thr Val Ala Ala

100 105 110

5 Pro Ser Val Phe Ile Phe Pro Pro Ser Asp Glu Gln Leu Lys Ser Gly  
115 120 125

10 Thr Ala Ser Val Val Cys Leu Leu Asn Asn Phe Tyr Pro Arg Glu Ala  
130 135 140

15 Lys Val Gln Trp Lys Val Asp Asn Ala Leu Gln Ser Gly Asn Ser Gln  
145 150 155 160

20 Glu Ser Val Thr Glu Gln Asp Ser Lys Asp Ser Thr Tyr Ser Leu Ser  
165 170 175

25 Ser Thr Leu Thr Leu Ser Lys Ala Asp Tyr Glu Lys His Lys Val Tyr  
180 185 190

30 Ala Cys Glu Val Thr His Gln Gly Leu Ser Ser Pro Val Thr Lys Ser  
195 200 205

35 Phe Asn Arg Gly Glu Cys  
210

<210> 39  
<211> 453  
<212> PRT  
<213> Искусственная

40 <220>  
<223> Тяжелая цепь 1 <VEGF-ANG-2> CrossMAb IgG1 дикого типа  
без AAA-мутаций) (VEGFang2-0201)

45 <400> 39

Glu Val Gln Leu Val Glu Ser Gly Gly Gly Leu Val Gln Pro Gly Gly  
1 5 10 15

Ser Leu Arg Leu Ser Cys Ala Ala Ser Gly Tyr Asp Phe Thr His Tyr

20 25 30

5 Gly Met Asn Trp Val Arg Gln Ala Pro Gly Lys Gly Leu Glu Trp Val  
35 40 45

10 Gly Trp Ile Asn Thr Tyr Thr Gly Glu Pro Thr Tyr Ala Ala Asp Phe  
50 55 60

15 Lys Arg Arg Phe Thr Phe Ser Leu Asp Thr Ser Lys Ser Thr Ala Tyr  
65 70 75 80

20 Leu Gln Met Asn Ser Leu Arg Ala Glu Asp Thr Ala Val Tyr Tyr Cys  
85 90 95

25 Ala Lys Tyr Pro Tyr Tyr Tyr Gly Thr Ser His Trp Tyr Phe Asp Val  
100 105 110

30 Trp Gly Gln Gly Thr Leu Val Thr Val Ser Ser Ala Ser Thr Lys Gly  
115 120 125

35 Pro Ser Val Phe Pro Leu Ala Pro Ser Ser Lys Ser Thr Ser Gly Gly  
130 135 140

40 Thr Ala Ala Leu Gly Cys Leu Val Lys Asp Tyr Phe Pro Glu Pro Val  
145 150 155 160

45 Thr Val Ser Trp Asn Ser Gly Ala Leu Thr Ser Gly Val His Thr Phe  
165 170 175

50 Pro Ala Val Leu Gln Ser Ser Gly Leu Tyr Ser Leu Ser Ser Val Val  
180 185 190

55 Thr Val Pro Ser Ser Ser Leu Gly Thr Gln Thr Tyr Ile Cys Asn Val  
195 200 205

Asn His Lys Pro Ser Asn Thr Lys Val Asp Lys Lys Val Glu Pro Lys  
210 215 220

5 Ser Cys Asp Lys Thr His Thr Cys Pro Pro Cys Pro Ala Pro Glu Leu  
225 230 235 240

10 Leu Gly Gly Pro Ser Val Phe Leu Phe Pro Pro Lys Pro Lys Asp Thr  
245 250 255

15 Leu Met Ile Ser Arg Thr Pro Glu Val Thr Cys Val Val Val Asp Val  
260 265 270

20 Ser His Glu Asp Pro Glu Val Lys Phe Asn Trp Tyr Val Asp Gly Val  
275 280 285

Glu Val His Asn Ala Lys Thr Lys Pro Arg Glu Glu Gln Tyr Asn Ser  
290 295 300

25 Thr Tyr Arg Val Val Ser Val Leu Thr Val Leu His Gln Asp Trp Leu  
305 310 315 320

30 Asn Gly Lys Glu Tyr Lys Cys Lys Val Ser Asn Lys Ala Leu Pro Ala  
325 330 335

35 Pro Ile Glu Lys Thr Ile Ser Lys Ala Lys Gly Gln Pro Arg Glu Pro  
340 345 350

Gln Val Tyr Thr Leu Pro Pro Cys Arg Asp Glu Leu Thr Lys Asn Gln  
355 360 365

40 Val Ser Leu Trp Cys Leu Val Lys Gly Phe Tyr Pro Ser Asp Ile Ala  
370 375 380

45 Val Glu Trp Glu Ser Asn Gly Gln Pro Glu Asn Asn Tyr Lys Thr Thr  
385 390 395 400

Pro Pro Val Leu Asp Ser Asp Gly Ser Phe Phe Leu Tyr Ser Lys Leu  
405 410 415

5

Thr Val Asp Lys Ser Arg Trp Gln Gln Gly Asn Val Phe Ser Cys Ser  
420 425 430

10

Val Met His Glu Ala Leu His Asn His Tyr Thr Gln Lys Ser Leu Ser  
435 440 445

15

Leu Ser Pro Gly Lys  
450

20

<210> 40  
<211> 463  
<212> PRT  
<213> Искусственная

25

<220>  
<223> Тяжелая цепь 2 <VEGF-ANG-2> CrossMAb IgG1 дикого типа  
(без AAA-мутаций) (VEGFang2-0201)

30

Gln Val Gln Leu Val Gln Ser Gly Ala Glu Val Lys Lys Pro Gly Ala  
1 5 10 15

35

Ser Val Lys Val Ser Cys Lys Ala Ser Gly Tyr Thr Phe Thr Gly Tyr  
20 25 30

40

Tyr Met His Trp Val Arg Gln Ala Pro Gly Gln Gly Leu Glu Trp Met  
35 40 45

45

Gly Trp Ile Asn Pro Asn Ser Gly Gly Thr Asn Tyr Ala Gln Lys Phe  
50 55 60

Gln Gly Arg Val Thr Met Thr Arg Asp Thr Ser Ile Ser Thr Ala Tyr  
65 70 75 80

Met Glu Leu Ser Arg Leu Arg Ser Asp Asp Thr Ala Val Tyr Tyr Cys  
85 90 95

5

Ala Arg Ser Pro Asn Pro Tyr Tyr Tyr Asp Ser Ser Gly Tyr Tyr Tyr  
100 105 110

10

Pro Gly Ala Phe Asp Ile Trp Gly Gln Gly Thr Met Val Thr Val Ser  
115 120 125

15

Ser Ala Ser Val Ala Ala Pro Ser Val Phe Ile Phe Pro Pro Ser Asp  
130 135 140

20

Glu Gln Leu Lys Ser Gly Thr Ala Ser Val Val Cys Leu Leu Asn Asn  
145 150 155 160

Phe Tyr Pro Arg Glu Ala Lys Val Gln Trp Lys Val Asp Asn Ala Leu  
165 170 175

25

Gln Ser Gly Asn Ser Gln Glu Ser Val Thr Glu Gln Asp Ser Lys Asp  
180 185 190

30

Ser Thr Tyr Ser Leu Ser Ser Thr Leu Thr Leu Ser Lys Ala Asp Tyr  
195 200 205

35

Glu Lys His Lys Val Tyr Ala Cys Glu Val Thr His Gln Gly Leu Ser  
210 215 220

40

Ser Pro Val Thr Lys Ser Phe Asn Arg Gly Glu Cys Asp Lys Thr His  
225 230 235 240

Thr Cys Pro Pro Cys Pro Ala Pro Glu Leu Leu Gly Gly Pro Ser Val  
245 250 255

45

Phe Leu Phe Pro Pro Lys Pro Lys Asp Thr Leu Met Ile Ser Arg Thr  
260 265 270

Pro Glu Val Thr Cys Val Val Val Asp Val Ser His Glu Asp Pro Glu  
275 280 285  
5

Val Lys Phe Asn Trp Tyr Val Asp Gly Val Glu Val His Asn Ala Lys  
290 295 300  
10

Thr Lys Pro Arg Glu Glu Gln Tyr Asn Ser Thr Tyr Arg Val Val Ser  
305 310 315 320  
15

Val Leu Thr Val Leu His Gln Asp Trp Leu Asn Gly Lys Glu Tyr Lys  
325 330 335  
20

Cys Lys Val Ser Asn Lys Ala Leu Pro Ala Pro Ile Glu Lys Thr Ile  
340 345 350  
25

Ser Lys Ala Lys Gly Gln Pro Arg Glu Pro Gln Val Cys Thr Leu Pro  
355 360 365  
30

Pro Ser Arg Asp Glu Leu Thr Lys Asn Gln Val Ser Leu Ser Cys Ala  
370 375 380  
35

Val Lys Gly Phe Tyr Pro Ser Asp Ile Ala Val Glu Trp Glu Ser Asn  
385 390 395 400  
40

Gly Gln Pro Glu Asn Asn Tyr Lys Thr Thr Pro Pro Val Leu Asp Ser  
405 410 415  
45

Asp Gly Ser Phe Phe Leu Val Ser Lys Leu Thr Val Asp Lys Ser Arg  
420 425 430  
45

Trp Gln Gln Gly Asn Val Phe Ser Cys Ser Val Met His Glu Ala Leu  
435 440 445  
45

His Asn His Tyr Thr Gln Lys Ser Leu Ser Leu Ser Pro Gly Lys

450

455

460

<210> 41  
5 <211> 214  
<212> PRT  
<213> Искусственная  
  
<220>  
10 <223> Легкая цепь 1 <VEGF-ANG-2> CrossMAb IgG1 дикого типа  
(без AAA-мутаций) (VEGFang2-0201)  
  
<400> 41  
  
15 Asp Ile Gln Leu Thr Gln Ser Pro Ser Ser Leu Ser Ala Ser Val Gly  
1 5 10 15  
  
20 Asp Arg Val Thr Ile Thr Cys Ser Ala Ser Gln Asp Ile Ser Asn Tyr  
20 25 30  
  
25 Leu Asn Trp Tyr Gln Gln Lys Pro Gly Lys Ala Pro Lys Val Leu Ile  
35 40 45  
  
30 Tyr Phe Thr Ser Ser Leu His Ser Gly Val Pro Ser Arg Phe Ser Gly  
50 55 60  
  
35 Ser Gly Ser Gly Thr Asp Phe Thr Leu Thr Ile Ser Ser Leu Gln Pro  
65 70 75 80  
  
40 Thr Phe Gly Gln Gly Thr Lys Val Glu Ile Lys Arg Thr Val Ala Ala  
100 105 110  
  
45 Pro Ser Val Phe Ile Phe Pro Pro Ser Asp Glu Gln Leu Lys Ser Gly  
115 120 125  
  
Thr Ala Ser Val Val Cys Leu Leu Asn Asn Phe Tyr Pro Arg Glu Ala

130 135 140

5 Lys Val Gln Trp Lys Val Asp Asn Ala Leu Gln Ser Gly Asn Ser Gln  
145 150 155 160

10 Glu Ser Val Thr Glu Gln Asp Ser Lys Asp Ser Thr Tyr Ser Leu Ser  
165 170 175

15 Ser Thr Leu Thr Leu Ser Lys Ala Asp Tyr Glu Lys His Lys Val Tyr  
180 185 190

Ala Cys Glu Val Thr His Gln Gly Leu Ser Ser Pro Val Thr Lys Ser  
195 200 205

20 Phe Asn Arg Gly Glu Cys  
210

<210> 42  
25 <211> 213  
<212> PRT  
<213> Искусственная

<220>  
30 <223> Легкая цепь 2 <VEGF-ANG-2> CrossMAb IgG1 дикого типа  
(без AAA-мутаций) (VEGFang2-0201)

<400> 42

35 Ser Tyr Val Leu Thr Gln Pro Pro Ser Val Ser Val Ala Pro Gly Gln  
1 5 10 15

40 Thr Ala Arg Ile Thr Cys Gly Gly Asn Asn Ile Gly Ser Lys Ser Val  
20 25 30

His Trp Tyr Gln Gln Lys Pro Gly Gln Ala Pro Val Leu Val Val Tyr  
35 40 45

45 Asp Asp Ser Asp Arg Pro Ser Gly Ile Pro Glu Arg Phe Ser Gly Ser



<220>

<223> Тяжелая цепь 1 <VEGF-ANG-2> CrossMAb IgG1 только с P329G LALA-  
мутациями (без AAA-мутаций) (VEGFang2-0015)

5

<400> 43

10

Glu Val Gln Leu Val Glu Ser Gly Gly Gly Leu Val Gln Pro Gly Gly  
1 5 10 15

Ser Leu Arg Leu Ser Cys Ala Ala Ser Gly Tyr Asp Phe Thr His Tyr  
20 25 30

15

Gly Met Asn Trp Val Arg Gln Ala Pro Gly Lys Gly Leu Glu Trp Val  
35 40 45

20

Gly Trp Ile Asn Thr Tyr Thr Gly Glu Pro Thr Tyr Ala Ala Asp Phe  
50 55 60

25

Lys Arg Arg Phe Thr Phe Ser Leu Asp Thr Ser Lys Ser Thr Ala Tyr  
65 70 75 80

30

Leu Gln Met Asn Ser Leu Arg Ala Glu Asp Thr Ala Val Tyr Tyr Cys  
85 90 95

35

Ala Lys Tyr Pro Tyr Tyr Tyr Gly Thr Ser His Trp Tyr Phe Asp Val  
100 105 110

40

Pro Ser Val Phe Pro Leu Ala Pro Ser Ser Lys Ser Thr Ser Gly Gly  
130 135 140

45

Thr Ala Ala Leu Gly Cys Leu Val Lys Asp Tyr Phe Pro Glu Pro Val  
145 150 155 160

Thr Val Ser Trp Asn Ser Gly Ala Leu Thr Ser Gly Val His Thr Phe  
165 170 175

5 Pro Ala Val Leu Gln Ser Ser Gly Leu Tyr Ser Leu Ser Ser Val Val  
180 185 190

10 Thr Val Pro Ser Ser Ser Leu Gly Thr Gln Thr Tyr Ile Cys Asn Val  
195 200 205

15 Asn His Lys Pro Ser Asn Thr Lys Val Asp Lys Lys Val Glu Pro Lys  
210 215 220

Ser Cys Asp Lys Thr His Thr Cys Pro Pro Cys Pro Ala Pro Glu Ala  
225 230 235 240

20 Ala Gly Gly Pro Ser Val Phe Leu Phe Pro Pro Lys Pro Lys Asp Thr  
245 250 255

25 Leu Met Ile Ser Arg Thr Pro Glu Val Thr Cys Val Val Val Asp Val  
260 265 270

30 Ser His Glu Asp Pro Glu Val Lys Phe Asn Trp Tyr Val Asp Gly Val  
275 280 285

35 Glu Val His Asn Ala Lys Thr Lys Pro Arg Glu Glu Gln Tyr Asn Ser  
290 295 300

Thr Tyr Arg Val Val Ser Val Leu Thr Val Leu His Gln Asp Trp Leu  
305 310 315 320

40 Asn Gly Lys Glu Tyr Lys Cys Lys Val Ser Asn Lys Ala Leu Gly Ala  
325 330 335

45 Pro Ile Glu Lys Thr Ile Ser Lys Ala Lys Gly Gln Pro Arg Glu Pro  
340 345 350

Gln Val Tyr Thr Leu Pro Pro Cys Arg Asp Glu Leu Thr Lys Asn Gln  
355 360 365

5

Val Ser Leu Trp Cys Leu Val Lys Gly Phe Tyr Pro Ser Asp Ile Ala  
370 375 380

10

Val Glu Trp Glu Ser Asn Gly Gln Pro Glu Asn Asn Tyr Lys Thr Thr  
385 390 395 400

15

Pro Pro Val Leu Asp Ser Asp Gly Ser Phe Phe Leu Tyr Ser Lys Leu  
405 410 415

20

Thr Val Asp Lys Ser Arg Trp Gln Gln Gly Asn Val Phe Ser Cys Ser  
420 425 430

25

Val Met His Glu Ala Leu His Asn His Tyr Thr Gln Lys Ser Leu Ser  
435 440 445

Leu Ser Pro Gly Lys  
450

30

<210> 44  
<211> 463  
<212> PRT  
<213> Искусственная

35

<220>  
<223> Тяжелая цепь 2 <VEGF-ANG-2> CrossMAb IgG1 только с P329G LALA-  
мутациями (без AAA-мутаций) (VEGFang2-0015)

<400> 44

40

Gln Val Gln Leu Val Gln Ser Gly Ala Glu Val Lys Lys Pro Gly Ala  
1 5 10 15

45

Ser Val Lys Val Ser Cys Lys Ala Ser Gly Tyr Thr Phe Thr Gly Tyr  
20 25 30

Tyr Met His Trp Val Arg Gln Ala Pro Gly Gln Gly Leu Glu Trp Met  
35 40 45

5  
Gly Trp Ile Asn Pro Asn Ser Gly Gly Thr Asn Tyr Ala Gln Lys Phe  
50 55 60

10  
Gln Gly Arg Val Thr Met Thr Arg Asp Thr Ser Ile Ser Thr Ala Tyr  
65 70 75 80

15  
Met Glu Leu Ser Arg Leu Arg Ser Asp Asp Thr Ala Val Tyr Tyr Cys  
85 90 95

20  
Ala Arg Ser Pro Asn Pro Tyr Tyr Tyr Asp Ser Ser Gly Tyr Tyr Tyr  
100 105 110

25  
Pro Gly Ala Phe Asp Ile Trp Gly Gln Gly Thr Met Val Thr Val Ser  
115 120 125

30  
Ser Ala Ser Val Ala Ala Pro Ser Val Phe Ile Phe Pro Pro Ser Asp  
130 135 140

35  
Glu Gln Leu Lys Ser Gly Thr Ala Ser Val Val Cys Leu Leu Asn Asn  
145 150 155 160

40  
Phe Tyr Pro Arg Glu Ala Lys Val Gln Trp Lys Val Asp Asn Ala Leu  
165 170 175

45  
Gln Ser Gly Asn Ser Gln Glu Ser Val Thr Glu Gln Asp Ser Lys Asp  
180 185 190

50  
Ser Thr Tyr Ser Leu Ser Ser Thr Leu Thr Leu Ser Lys Ala Asp Tyr  
195 200 205

55  
Glu Lys His Lys Val Tyr Ala Cys Glu Val Thr His Gln Gly Leu Ser  
210 215 220

5 Ser Pro Val Thr Lys Ser Phe Asn Arg Gly Glu Cys Asp Lys Thr His  
225 230 235 240

10 Thr Cys Pro Pro Cys Pro Ala Pro Glu Ala Ala Gly Gly Pro Ser Val  
245 250 255

15 Phe Leu Phe Pro Pro Lys Pro Lys Asp Thr Leu Met Ile Ser Arg Thr  
260 265 270

20 Pro Glu Val Thr Cys Val Val Val Asp Val Ser His Glu Asp Pro Glu  
275 280 285

25 Val Lys Phe Asn Trp Tyr Val Asp Gly Val Glu Val His Asn Ala Lys  
290 295 300

30 Thr Lys Pro Arg Glu Glu Gln Tyr Asn Ser Thr Tyr Arg Val Val Ser  
305 310 315 320

35 Val Leu Thr Val Leu His Gln Asp Trp Leu Asn Gly Lys Glu Tyr Lys  
325 330 335

40 Cys Lys Val Ser Asn Lys Ala Leu Gly Ala Pro Ile Glu Lys Thr Ile  
340 345 350

45 Ser Lys Ala Lys Gly Gln Pro Arg Glu Pro Gln Val Cys Thr Leu Pro  
355 360 365

50 Pro Ser Arg Asp Glu Leu Thr Lys Asn Gln Val Ser Leu Ser Cys Ala  
370 375 380

55 Val Lys Gly Phe Tyr Pro Ser Asp Ile Ala Val Glu Trp Glu Ser Asn  
385 390 395 400

60 Gly Gln Pro Glu Asn Asn Tyr Lys Thr Thr Pro Pro Val Leu Asp Ser

405

410

415

5 Asp Gly Ser Phe Phe Leu Val Ser Lys Leu Thr Val Asp Lys Ser Arg  
420 425 430

10 Trp Gln Gln Gly Asn Val Phe Ser Cys Ser Val Met His Glu Ala Leu  
435 440 445

15 His Asn His Tyr Thr Gln Lys Ser Leu Ser Leu Ser Pro Gly Lys  
450 455 460

<210> 45  
<211> 214  
<212> PRT  
<213> Искусственная

20 <220>  
<223> Легкая цепь 1 <VEGF-ANG-2> CrossMAb IgG1 только с P329G LALA-  
мутациями (без AAA-мутаций) (VEGFang2-0015)

25 <400> 45

30 Asp Ile Gln Leu Thr Gln Ser Pro Ser Ser Leu Ser Ala Ser Val Gly  
1 5 10 15

35 Asp Arg Val Thr Ile Thr Cys Ser Ala Ser Gln Asp Ile Ser Asn Tyr  
20 25 30

40 Leu Asn Trp Tyr Gln Gln Lys Pro Gly Lys Ala Pro Lys Val Leu Ile  
35 40 45

45 Tyr Phe Thr Ser Ser Leu His Ser Gly Val Pro Ser Arg Phe Ser Gly  
50 55 60

Ser Gly Ser Gly Thr Asp Phe Thr Leu Thr Ile Ser Ser Leu Gln Pro  
65 70 75 80

Glu Asp Phe Ala Thr Tyr Tyr Cys Gln Gln Tyr Ser Thr Val Pro Trp

85

90

95

5 Thr Phe Gly Gln Gly Thr Lys Val Glu Ile Lys Arg Thr Val Ala Ala  
100 105 110

10 Pro Ser Val Phe Ile Phe Pro Pro Ser Asp Glu Gln Leu Lys Ser Gly  
115 120 125

15 Thr Ala Ser Val Val Cys Leu Leu Asn Asn Phe Tyr Pro Arg Glu Ala  
130 135 140

20 Lys Val Gln Trp Lys Val Asp Asn Ala Leu Gln Ser Gly Asn Ser Gln  
145 150 155 160

25 Glu Ser Val Thr Glu Gln Asp Ser Lys Asp Ser Thr Tyr Ser Leu Ser  
165 170 175

30 Ser Thr Leu Thr Leu Ser Lys Ala Asp Tyr Glu Lys His Lys Val Tyr  
180 185 190

35 Ala Cys Glu Val Thr His Gln Gly Leu Ser Ser Pro Val Thr Lys Ser  
195 200 205

40 Phe Asn Arg Gly Glu Cys  
210

<210> 46  
<211> 213  
<212> PRT  
<213> Искусственная

45 <220>  
<223> Легкая цепь 2 <VEGF-ANG-2> CrossMAb IgG1 только с P329G LALA-  
мутациями (без AAA-мутаций) (VEGFang2-0015)

<400> 46

Ser Tyr Val Leu Thr Gln Pro Pro Ser Val Ser Val Ala Pro Gly Gln



Cys Asn Val Asn His Lys Pro Ser Asn Thr Lys Val Asp Lys Lys Val  
195 200 205

5 Glu Pro Lys Ser Cys  
210

<210> 47

10 <211> 107

<212> PRT

<213> Homo sapiens

<400> 47

15

Arg Thr Val Ala Ala Pro Ser Val Phe Ile Phe Pro Pro Ser Asp Glu  
1 5 10 15

20 Gln Leu Lys Ser Gly Thr Ala Ser Val Val Cys Leu Leu Asn Asn Phe  
20 25 30

25 Tyr Pro Arg Glu Ala Lys Val Gln Trp Lys Val Asp Asn Ala Leu Gln  
35 40 45

30 Ser Gly Asn Ser Gln Glu Ser Val Thr Glu Gln Asp Ser Lys Asp Ser  
50 55 60

Thr Tyr Ser Leu Ser Ser Thr Leu Thr Leu Ser Lys Ala Asp Tyr Glu  
65 70 75 80

35 Lys His Lys Val Tyr Ala Cys Glu Val Thr His Gln Gly Leu Ser Ser  
85 90 95

40 Pro Val Thr Lys Ser Phe Asn Arg Gly Glu Cys  
100 105

<210> 48

45 <211> 105

<212> PRT

<213> homo sapiens

<400> 48

5 Gln Pro Lys Ala Ala Pro Ser Val Thr Leu Phe Pro Pro Ser Ser Glu  
1 5 10 15

10 Glu Leu Gln Ala Asn Lys Ala Thr Leu Val Cys Leu Ile Ser Asp Phe  
20 25 30

15 Tyr Pro Gly Ala Val Thr Val Ala Trp Lys Ala Asp Ser Ser Pro Val  
35 40 45

Lys Ala Gly Val Glu Thr Thr Thr Pro Ser Lys Gln Ser Asn Asn Lys  
50 55 60

20 Tyr Ala Ala Ser Ser Tyr Leu Ser Leu Thr Pro Glu Gln Trp Lys Ser  
65 70 75 80

25 His Arg Ser Tyr Ser Cys Gln Val Thr His Glu Gly Ser Thr Val Glu  
85 90 95

30 Lys Thr Val Ala Pro Thr Glu Cys Ser  
100 105

<210> 49

<211> 330

<212> PRT

35 <213> Homo sapiens

<400> 49

40 Ala Ser Thr Lys Gly Pro Ser Val Phe Pro Leu Ala Pro Ser Ser Lys  
1 5 10 15

45 Ser Thr Ser Gly Gly Thr Ala Ala Leu Gly Cys Leu Val Lys Asp Tyr  
20 25 30

Phe Pro Glu Pro Val Thr Val Ser Trp Asn Ser Gly Ala Leu Thr Ser

		35						40								45			
5	Gly	Val	His	Thr	Phe	Pro	Ala	Val	Leu	Gln	Ser	Ser	Gly	Leu	Tyr	Ser			
		50					55					60							
10	Leu	Ser	Ser	Val	Val	Thr	Val	Pro	Ser	Ser	Ser	Leu	Gly	Thr	Gln	Thr			
	65					70					75					80			
15	Tyr	Ile	Cys	Asn	Val	Asn	His	Lys	Pro	Ser	Asn	Thr	Lys	Val	Asp	Lys			
				85						90					95				
20	Lys	Val	Glu	Pro	Lys	Ser	Cys	Asp	Lys	Thr	His	Thr	Cys	Pro	Pro	Cys			
				100					105						110				
25	Pro	Ala	Pro	Glu	Leu	Leu	Gly	Gly	Pro	Ser	Val	Phe	Leu	Phe	Pro	Pro			
			115					120						125					
30	Lys	Pro	Lys	Asp	Thr	Leu	Met	Ile	Ser	Arg	Thr	Pro	Glu	Val	Thr	Cys			
	130						135					140							
35	Val	Val	Val	Asp	Val	Ser	His	Glu	Asp	Pro	Glu	Val	Lys	Phe	Asn	Trp			
	145					150					155					160			
40	Tyr	Val	Asp	Gly	Val	Glu	Val	His	Asn	Ala	Lys	Thr	Lys	Pro	Arg	Glu			
				165						170					175				
45	Glu	Gln	Tyr	Asn	Ser	Thr	Tyr	Arg	Val	Val	Ser	Val	Leu	Thr	Val	Leu			
				180					185						190				
50	His	Gln	Asp	Trp	Leu	Asn	Gly	Lys	Glu	Tyr	Lys	Cys	Lys	Val	Ser	Asn			
			195					200					205						
55	Lys	Ala	Leu	Pro	Ala	Pro	Ile	Glu	Lys	Thr	Ile	Ser	Lys	Ala	Lys	Gly			
	210						215					220							

Gln Pro Arg Glu Pro Gln Val Tyr Thr Leu Pro Pro Ser Arg Asp Glu  
225 230 235 240

5 Leu Thr Lys Asn Gln Val Ser Leu Thr Cys Leu Val Lys Gly Phe Tyr  
245 250 255

10 Pro Ser Asp Ile Ala Val Glu Trp Glu Ser Asn Gly Gln Pro Glu Asn  
260 265 270

15 Asn Tyr Lys Thr Thr Pro Pro Val Leu Asp Ser Asp Gly Ser Phe Phe  
275 280 285

Leu Tyr Ser Lys Leu Thr Val Asp Lys Ser Arg Trp Gln Gln Gly Asn  
290 295 300

20 Val Phe Ser Cys Ser Val Met His Glu Ala Leu His Asn His Tyr Thr  
305 310 315 320

25 Gln Lys Ser Leu Ser Leu Ser Pro Gly Lys  
325 330

30 <210> 50  
<211> 327  
<212> PRT  
<213> Homo sapiens

35 <400> 50

Ala Ser Thr Lys Gly Pro Ser Val Phe Pro Leu Ala Pro Cys Ser Arg  
1 5 10 15

40 Ser Thr Ser Glu Ser Thr Ala Ala Leu Gly Cys Leu Val Lys Asp Tyr  
20 25 30

45 Phe Pro Glu Pro Val Thr Val Ser Trp Asn Ser Gly Ala Leu Thr Ser  
35 40 45

Gly Val His Thr Phe Pro Ala Val Leu Gln Ser Ser Gly Leu Tyr Ser  
50 55 60

5 Leu Ser Ser Val Val Thr Val Pro Ser Ser Ser Leu Gly Thr Lys Thr  
65 70 75 80

10 Tyr Thr Cys Asn Val Asp His Lys Pro Ser Asn Thr Lys Val Asp Lys  
85 90 95

15 Arg Val Glu Ser Lys Tyr Gly Pro Pro Cys Pro Ser Cys Pro Ala Pro  
100 105 110

20 Glu Phe Leu Gly Gly Pro Ser Val Phe Leu Phe Pro Pro Lys Pro Lys  
115 120 125

25 Asp Thr Leu Met Ile Ser Arg Thr Pro Glu Val Thr Cys Val Val Val  
130 135 140

30 Gly Val Glu Val His Asn Ala Lys Thr Lys Pro Arg Glu Glu Gln Phe  
165 170 175

35 Asn Ser Thr Tyr Arg Val Val Ser Val Leu Thr Val Leu His Gln Asp  
180 185 190

40 Trp Leu Asn Gly Lys Glu Tyr Lys Cys Lys Val Ser Asn Lys Gly Leu  
195 200 205

45 Pro Ser Ser Ile Glu Lys Thr Ile Ser Lys Ala Lys Gly Gln Pro Arg  
210 215 220

45 Glu Pro Gln Val Tyr Thr Leu Pro Pro Ser Gln Glu Glu Met Thr Lys  
225 230 235 240

Asn Gln Val Ser Leu Thr Cys Leu Val Lys Gly Phe Tyr Pro Ser Asp  
245 250 255

5

Ile Ala Val Glu Trp Glu Ser Asn Gly Gln Pro Glu Asn Asn Tyr Lys  
260 265 270

10

Thr Thr Pro Pro Val Leu Asp Ser Asp Gly Ser Phe Phe Leu Tyr Ser  
275 280 285

15

Arg Leu Thr Val Asp Lys Ser Arg Trp Gln Glu Gly Asn Val Phe Ser  
290 295 300

20

Cys Ser Val Met His Glu Ala Leu His Asn His Tyr Thr Gln Lys Ser  
305 310 315 320

Leu Ser Leu Ser Leu Gly Lys  
325

25

## ФОРМУЛА ИЗОБРЕТЕНИЯ

1. Способ снижения вязкости антитела, в котором антитело содержит константную область тяжелой цепи человеческого подкласса IgG1 или  
5 человеческого подкласса IgG4 (человеческого происхождения), где этот способ включает

модификацию константной области тяжелой цепи человеческого подкласса IgG1 или человеческого подкласса IgG4 с помощью мутаций I253A, H310A и H435A (нумерация согласно EU-индексу Кэбота).

10

2. Способ по п. 1, в котором антитело представляет собой биспецифическое антитело, содержащее первый антигенсвязывающий центр, который специфически связывается с человеческим VEGF, и второй антигенсвязывающий центр, который специфически связывается с человеческим ANG-2, в котором

15 I) указанный первый антигенсвязывающий центр, специфически связывающийся с VEGF, содержит в переменном домене тяжелой цепи CDR3H-участок, имеющий SEQ ID NO: 1, CDR2H-участок, имеющий SEQ ID NO: 2, и CDR1H-участок, имеющий SEQ ID NO: 3, и в переменном домене легкой цепи CDR3L-участок, имеющий SEQ ID NO: 4, CDR2L-участок,  
20 имеющий SEQ ID NO: 5, и CDR1L-участок, имеющий SEQ ID NO: 6; и

II) указанный второй антигенсвязывающий центр, специфически связывающийся с ANG-2, содержит в переменном домене тяжелой цепи CDR3H-участок, имеющий SEQ ID NO: 9, CDR2H-участок, имеющий SEQ ID NO: 10, и CDR1H-участок, имеющий SEQ ID NO: 11, и в переменном домене легкой цепи CDR3L-участок, имеющий SEQ ID NO: 12, CDR2L-участок,  
25 имеющий SEQ ID NO: 13, и CDR1L-участок, имеющий SEQ ID NO: 14, и в котором

III) биспецифическое антитело содержит константную область тяжелой цепи человеческого подкласса IgG1 или человеческого подкласса IgG4  
30 (происходящую из человеческого антитела) и содержащую мутации I253A, H310A и H435A (нумерация согласно EU-индексу Кэбота).

3. Способ по п. 2, в котором биспецифическое антитело содержит константную область тяжелой цепи человеческого подкласса IgG1 (происходящую из человеческого антитела) и содержащую мутации I253A, H310A и H435A (нумерация согласно EU-индексу Кэбота), а также содержащую мутации L234A, L235A и P329G (нумерация согласно EU-индексу Кэбота).

4. Антитело, полученное с помощью способа по одному из п.п. 1-3.

5. Применение мутаций I253A, H310A и H435A (нумерация согласно EU-индексу Кэбота) для снижения вязкости антитела, где антитело содержит константную область тяжелой цепи человеческого подкласса IgG1 или человеческого подкласса IgG4 (происходящую из человеческого антитела).

6. Применение по п. 5, в котором антитело представляет собой биспецифическое антитело, содержащее первый антигенсвязывающий центр, который специфически связывается с человеческим VEGF, и второй антигенсвязывающий центр, который специфически связывается с человеческим ANG-2, в котором

I) указанный первый антигенсвязывающий центр, специфически связывающийся с VEGF, содержит в переменном домене тяжелой цепи CDR3H-участок, имеющий SEQ ID NO: 1, CDR2H-участок, имеющий SEQ ID NO: 2, и CDR1H-участок, имеющий SEQ ID NO: 3, и в переменном домене легкой цепи CDR3L-участок, имеющий SEQ ID NO: 4, CDR2L-участок, имеющий SEQ ID NO: 5, и CDR1L-участок, имеющий SEQ ID NO: 6; и

II) указанный второй антигенсвязывающий центр, специфически связывающийся с ANG-2, содержит в переменном домене тяжелой цепи CDR3H-участок, имеющий SEQ ID NO: 9, CDR2H-участок, имеющий SEQ ID NO: 10, и CDR1H-участок, имеющий SEQ ID NO: 11, и в переменном домене легкой цепи CDR3L-участок, имеющий SEQ ID NO: 12, CDR2L-участок, имеющий SEQ ID NO: 13, и CDR1L-участок, имеющий SEQ ID NO: 14, и в котором

III) биспецифическое антитело содержит константную область тяжелой цепи человеческого подкласса IgG1 или человеческого подкласса IgG4

(происходящую из человеческого антитела) и содержит мутации I253A, H310A и H435A (нумерация согласно EU-индексу Кэбота).

5 7. Применение по п. 6, в котором биспецифическое антитело содержит константную область тяжелой цепи человеческого подкласса IgG1 (происходящую из человеческого антитела) и содержащую мутации I253A, H310A и H435A (нумерация согласно EU-индексу Кэбота), а также содержащую мутации L234A, L235A и P329G (нумерация согласно EU-индексу Кэбота).

10 8. Биспецифическое антитело, содержащее первый антигенсвязывающий центр, который специфически связывается с человеческим VEGF, и второй антигенсвязывающий центр, который специфически связывается с человеческим ANG-2, в котором

15 I) указанный первый антигенсвязывающий центр, специфически связывающийся с VEGF, содержит в переменном домене тяжелой цепи CDR3H-участок, имеющий SEQ ID NO: 1, CDR2H-участок, имеющий SEQ ID NO: 2, и CDR1H-участок, имеющий SEQ ID NO: 3, и в переменном домене легкой цепи CDR3L-участок, имеющий SEQ ID NO: 4, CDR2L-участок, имеющий SEQ ID NO: 5, и CDR1L-участок, имеющий SEQ ID NO: 6; и

20 II) указанный второй антигенсвязывающий центр, специфически связывающийся с ANG-2, содержит в переменном домене тяжелой цепи CDR3H-участок, имеющий SEQ ID NO: 9, CDR2H-участок, имеющий SEQ ID NO: 10, и CDR1H-участок, имеющий SEQ ID NO: 11, и в переменном домене легкой цепи CDR3L-участок, имеющий SEQ ID NO: 12, CDR2L-участок, имеющий SEQ ID NO: 13, и CDR1L-участок, имеющий SEQ ID NO: 14, и в

25 III) биспецифическое антитело содержит константную область тяжелой цепи человеческого подкласса IgG1 или человеческого подкласса IgG4 (происходящую из человеческого антитела) и содержащую мутации I253A, H310A и H435A (нумерация согласно EU-индексу Кэбота).

30 9. Биспецифическое антитело по п. 8, в котором

I) указанный первый антигенсвязывающий центр, специфически связывающийся с VEGF, содержит в качестве переменного домена тяжелой цепи VH аминокислотную последовательность SEQ ID NO: 7 и в качестве переменного домена легкой цепи VL аминокислотную последовательность SEQ ID NO: 8 и

II) указанный второй антигенсвязывающий центр, специфически связывающийся с ANG-2, содержит в качестве переменного домена тяжелой цепи VH аминокислотную последовательность SEQ ID NO: 15 и в качестве переменного домена легкой цепи VL аминокислотную последовательность SEQ ID NO: 16.

10. Биспецифическое антитело по одному из п.п. 8-9, в котором константная область тяжелой цепи, указанная в подпункте III), относится к IgG1-подклассу.

15

11. Биспецифическое антитело по п. 10, в котором константная область тяжелой цепи IgG1-подкласса содержит также мутации L234A, L235A и P329G (нумерация согласно EU-индексу Кэбота).

12. Биспецифическое антитело по одному из п.п. 8-9, в котором константная область тяжелой цепи, указанная в подпункте III), относится к IgG4-подклассу.

13. Биспецифическое антитело по п. 12, в котором константная область тяжелой цепи IgG4-подкласса содержит также мутации S228P и L235E (нумерация согласно EU-индексу Кэбота).

14. Биспецифическое антитело по п. 12, в котором константная область тяжелой цепи IgG4-подкласса содержит также мутации S228P, L235E и P329G (нумерация согласно EU-индексу Кэбота).

15. Фармацевтическая композиция, содержащая антитело по одному из п.п. 4 и 8-14.

16. Биспецифическое антитело по одному из п.п. 4 и 8-14, предназначенное для применения для лечения сосудистых заболеваний глаз.

5 17. Биспецифическое антитело по п. 16, где антитело применяют посредством интравитреального введения.

18. Нуклеиновая кислота, кодирующая биспецифическое антитело по одному из п.п. 8-14.

10 19. Экспрессионный вектор, содержащий указанную нуклеиновую кислоту по п. 18, который обладает способностью экспрессировать указанную нуклеиновую кислоту в прокариотической или эукариотической клетке-хозяине.

15 20. Прокариотическая или эукариотическая клетка-хозяин, содержащая вектор по п. 19.

21. Способ получения биспецифического антитела по одному из п.п. 8-14, включающий стадии, на которых

20 а) трансформируют клетку-хозяина векторами, содержащими молекулы нуклеиновых кислот, которые кодируют указанное антитело;

б) культивируют клетку-хозяина в условиях, обеспечивающих синтез указанной молекулы антитела; и

в) выделяют указанную молекулу антитела из указанной культуры.

25 22. Биспецифическое антитело, полученное с помощью способа по п. 21.

30 23. Биспецифическое двухвалентное антитело, содержащее первый антигенсвязывающий центр, который специфически связывается с человеческим VEGF, и второй антигенсвязывающий центр, который специфически связывается с человеческим ANG-2, отличающееся тем, что содержит аминокислотные последовательности SEQ ID NO: 25, SEQ ID NO: 26, SEQ ID NO: 27 и SEQ ID NO: 28.

24. Биспецифическое двухвалентное антитело, содержащее первый антигенсвязывающий центр, который специфически связывается с человеческим VEGF, и второй антигенсвязывающий центр, который специфически связывается с человеческим ANG-2, отличающееся тем, что содержит аминокислотные последовательности SEQ ID NO: 21, SEQ ID NO: 22, SEQ ID NO: 23 и SEQ ID NO: 24.

25. Биспецифическое двухвалентное антитело, содержащее первый антигенсвязывающий центр, который специфически связывается с человеческим VEGF, и второй антигенсвязывающий центр, который специфически связывается с человеческим ANG-2, отличающееся тем, что содержит аминокислотные последовательности SEQ ID NO: 29, SEQ ID NO: 30, SEQ ID NO: 31 и SEQ ID NO: 32.

26. Биспецифическое антитело по одному из п.п. 24-25, предназначенное для применения для лечения сосудистых глазных заболеваний.

27. Биспецифическое антитело по п. 26, где антитело применяют посредством интравитреального введения.

28. Применение биспецифического антитела по одному из п.п. 4 и 8-14, и п.п. 23-25 для приготовления лекарственного средства, предназначенного для лечения сосудистых глазных заболеваний.

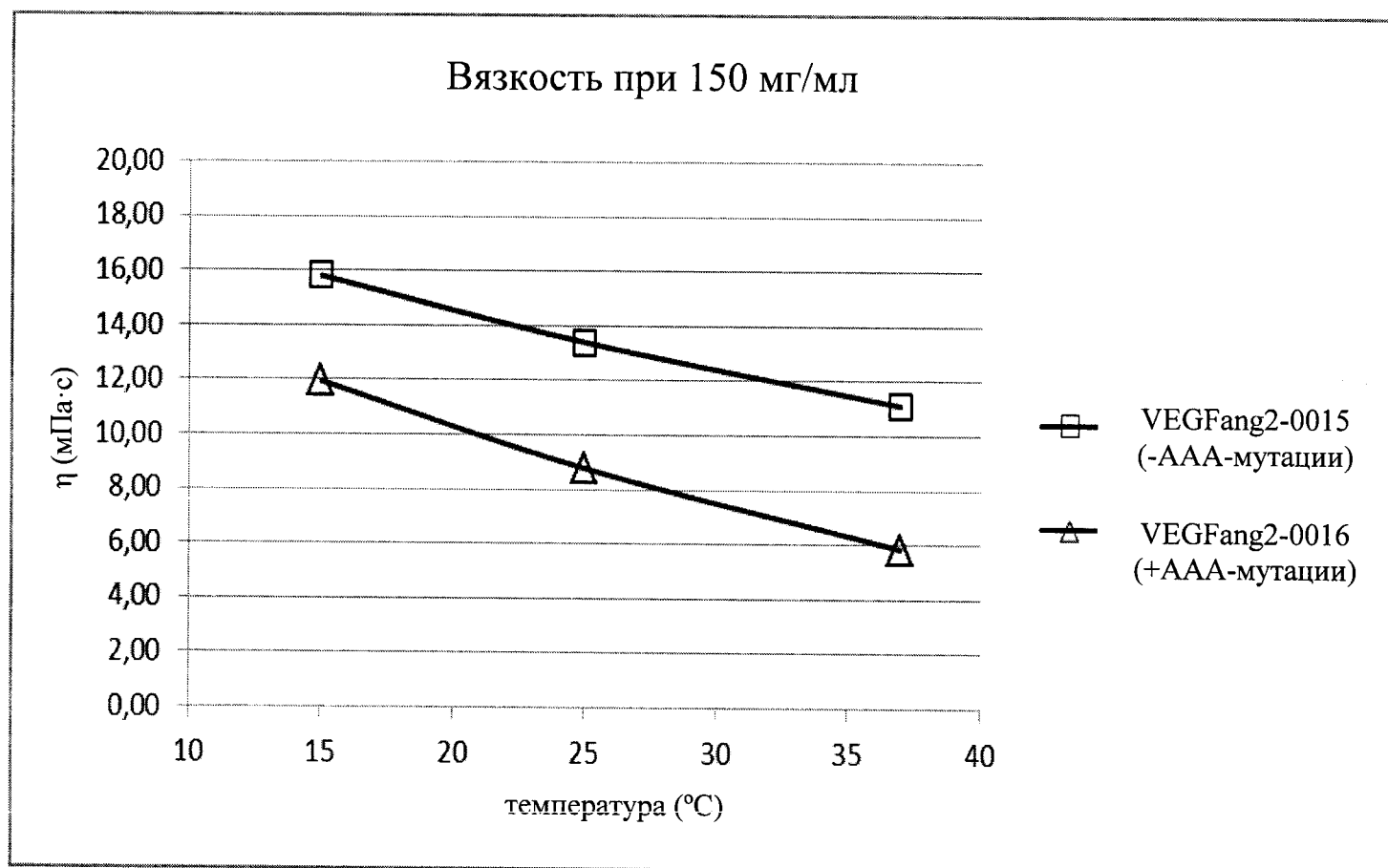
29. Применение по п. 28, в котором антитело применяют посредством интравитреального введения.

30. Способ лечения пациента, страдающего сосудистыми глазными заболеваниями, включающий введение антитела по одному из п.п. 4 и 8-14, и п.п. 23-25 пациенту, который нуждается в таком лечении.

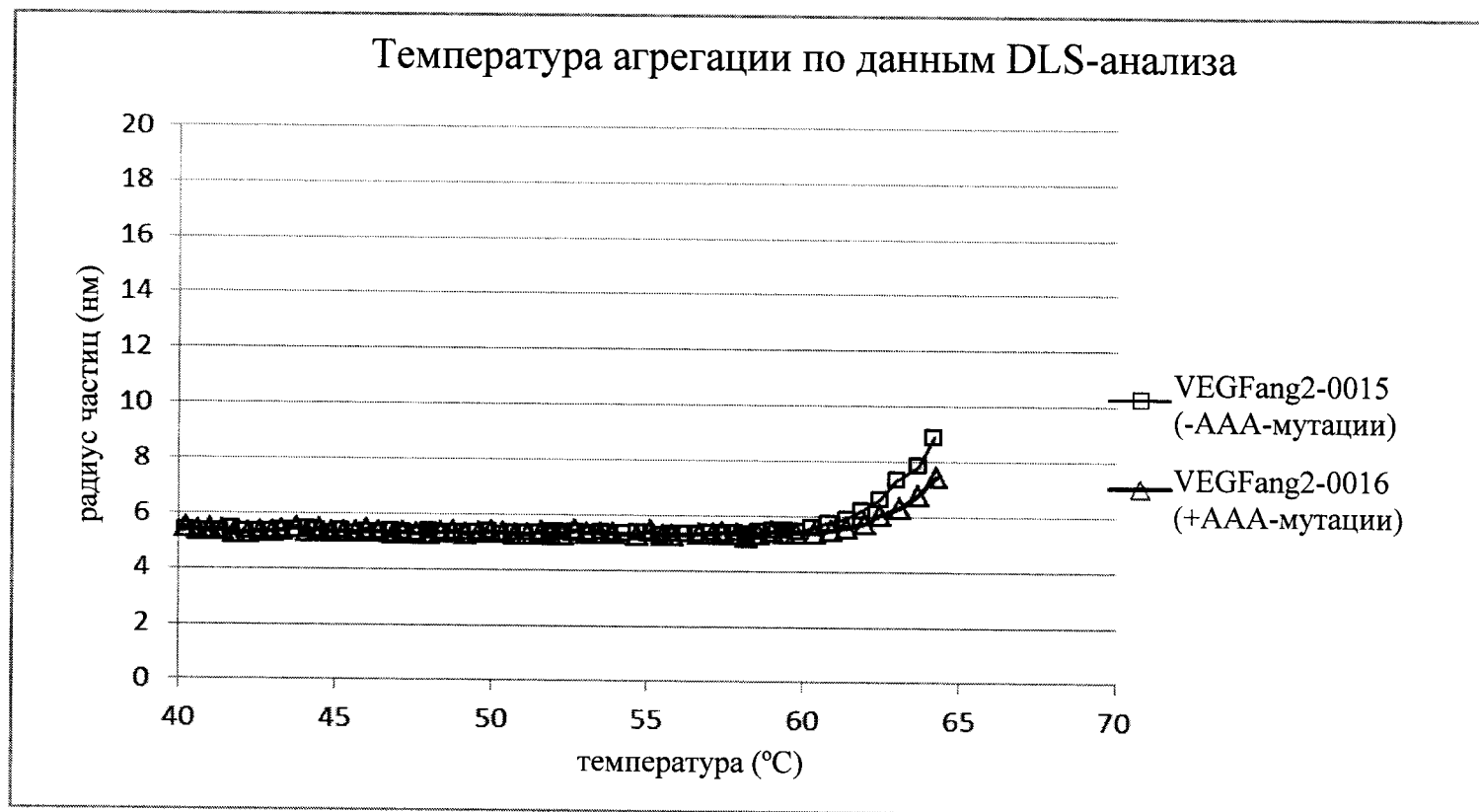
31. Способ по п. 30, в котором антитело применяют посредством интравитреального введения.



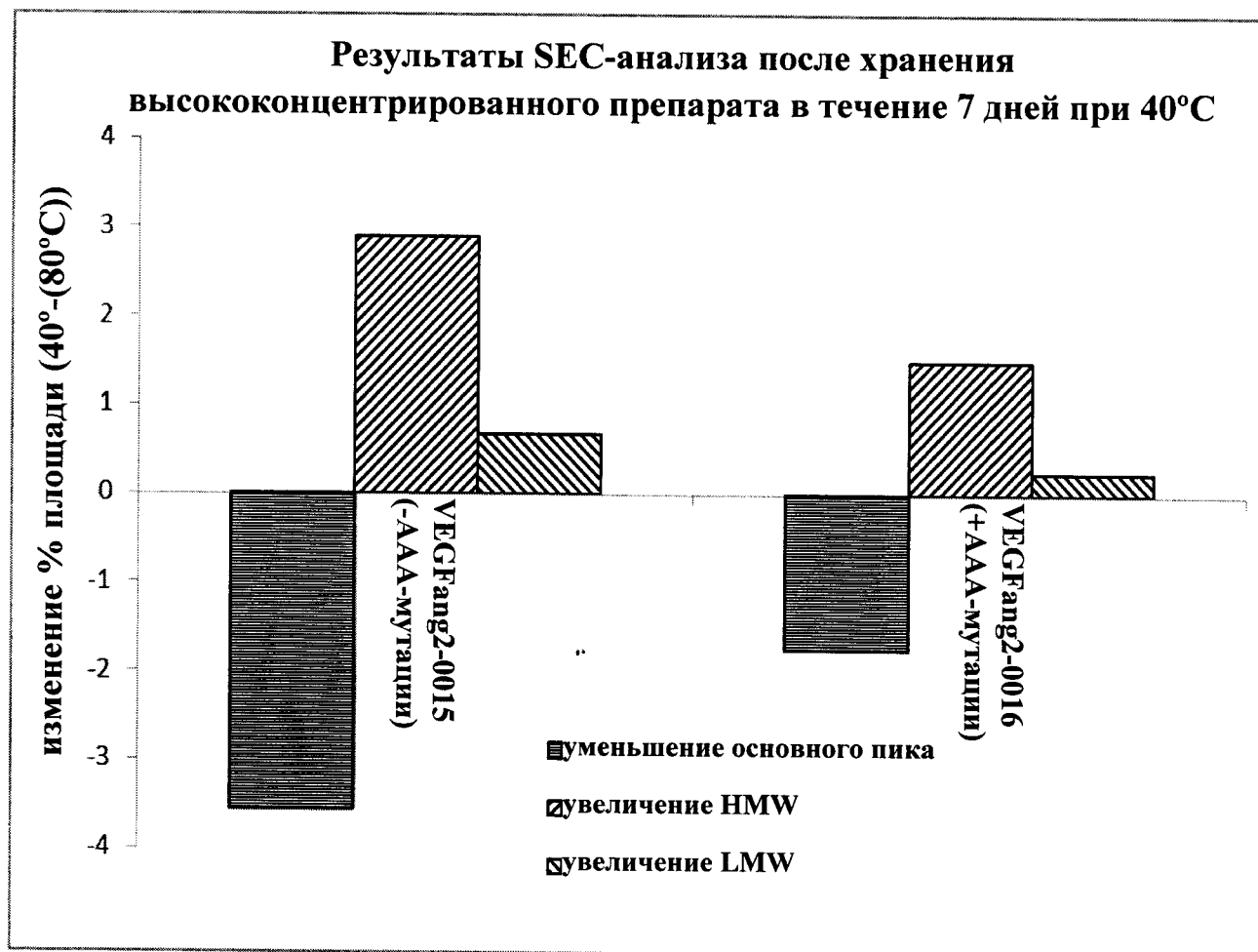
ФИГ. 2



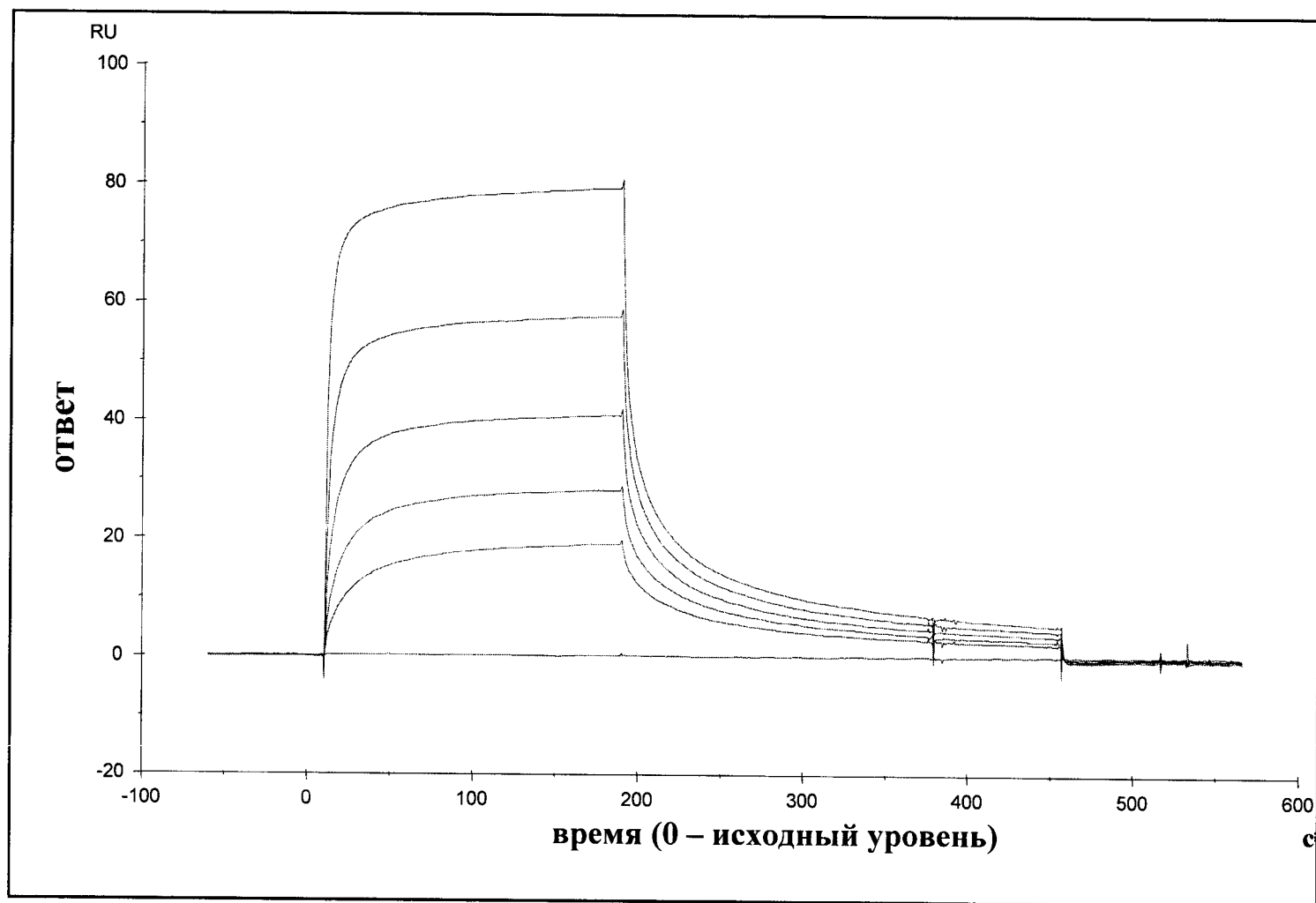
ФИГ. 3



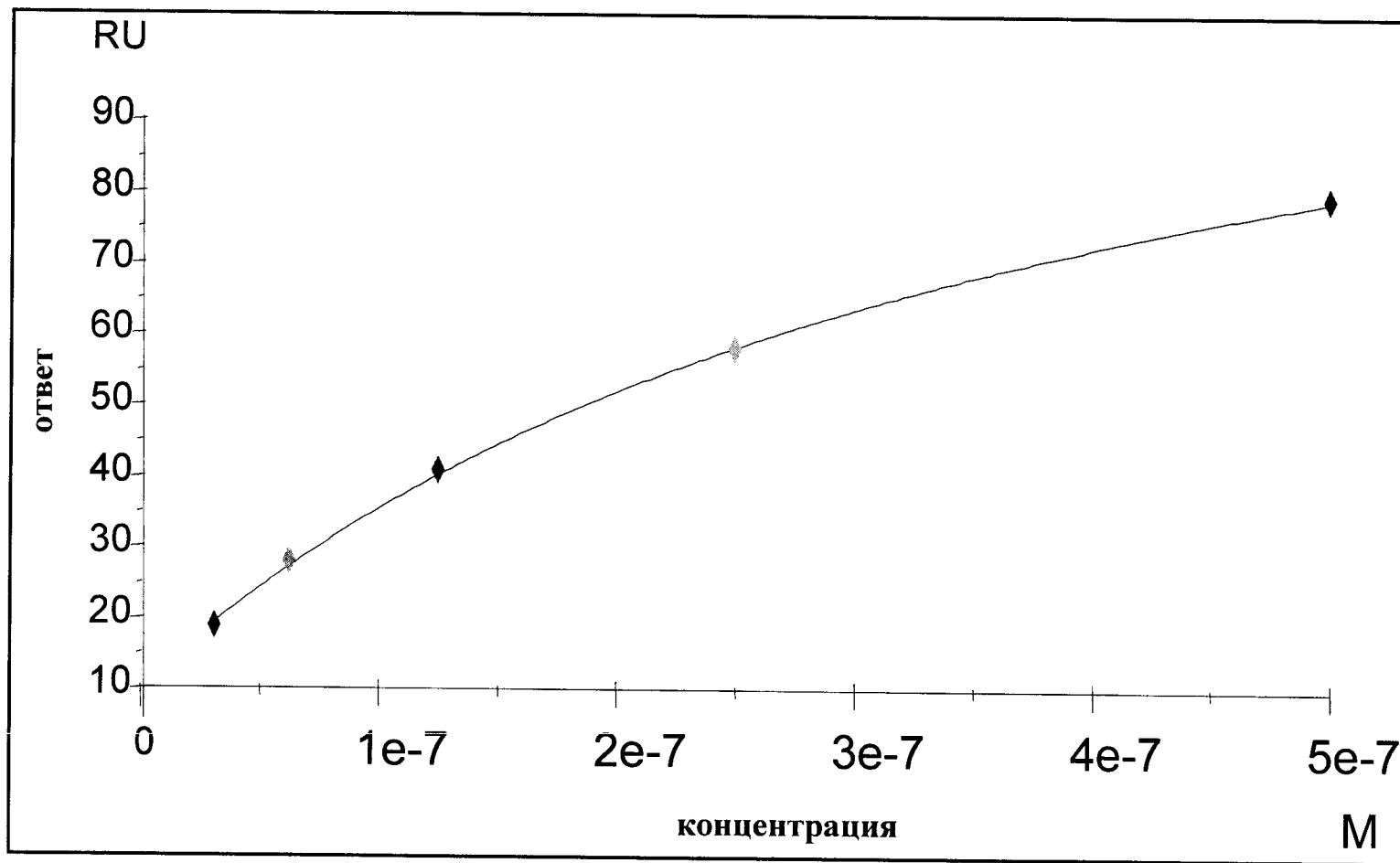
ФИГ. 4



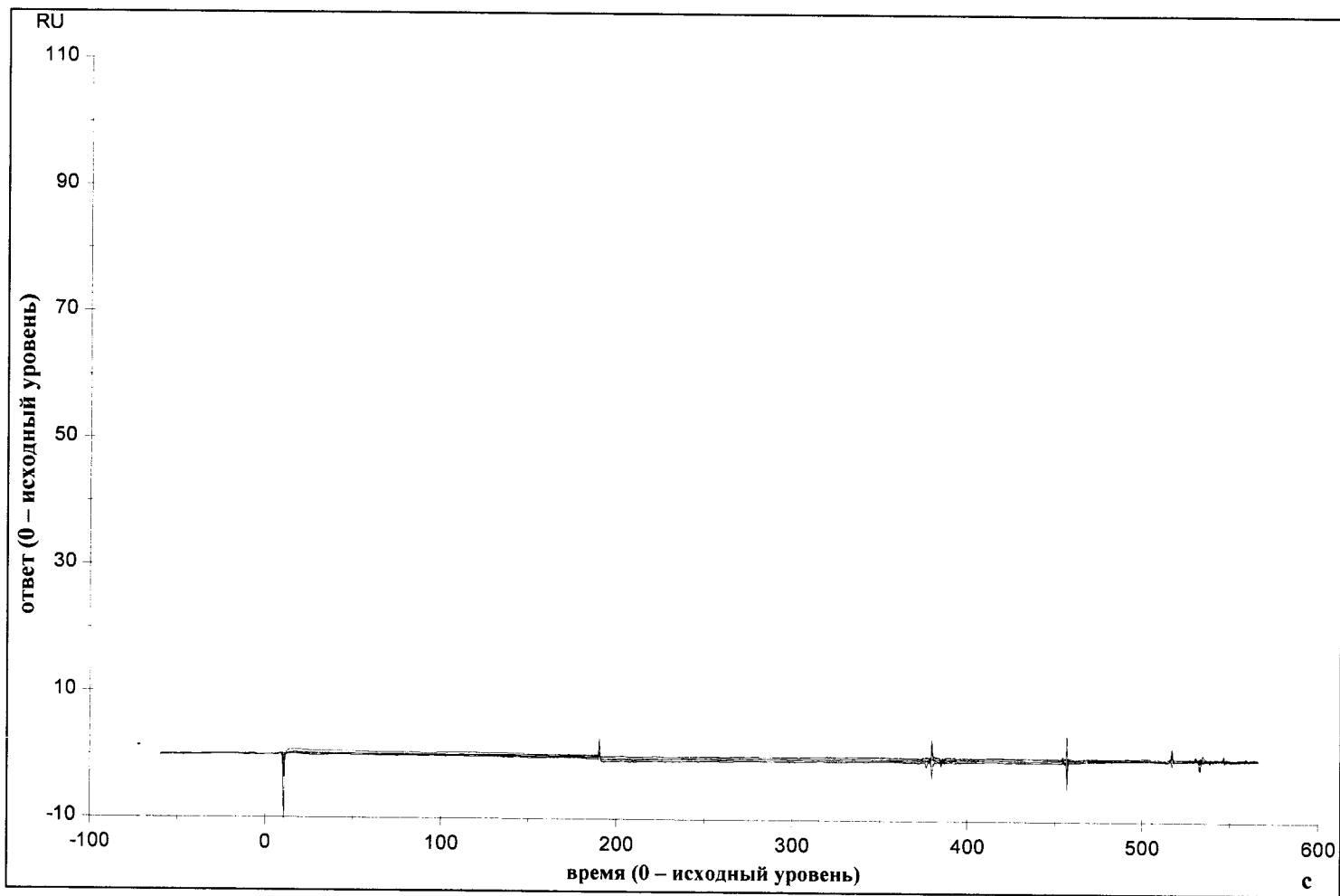
ФИГ. 5А



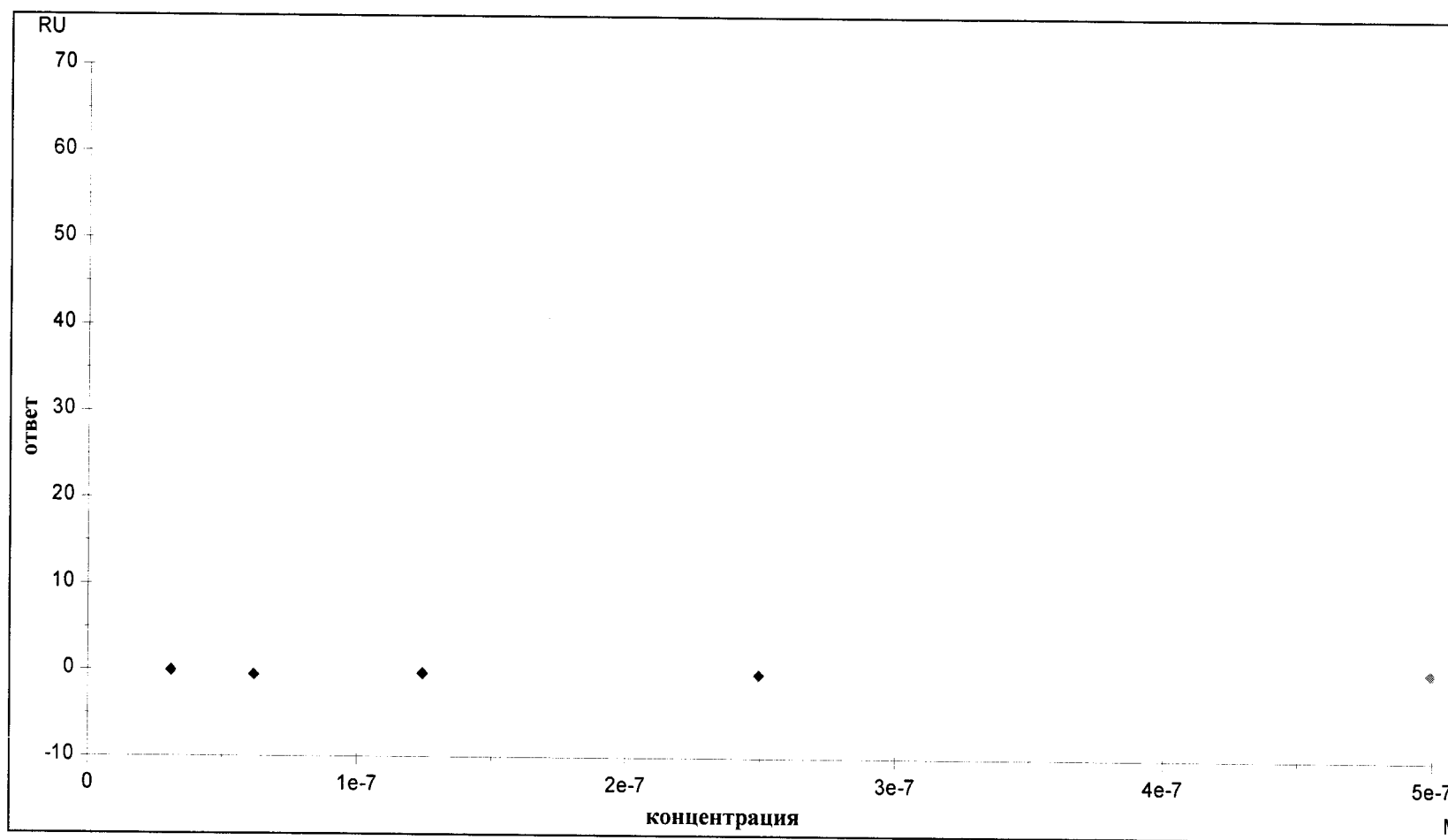
ФИГ. 5Б



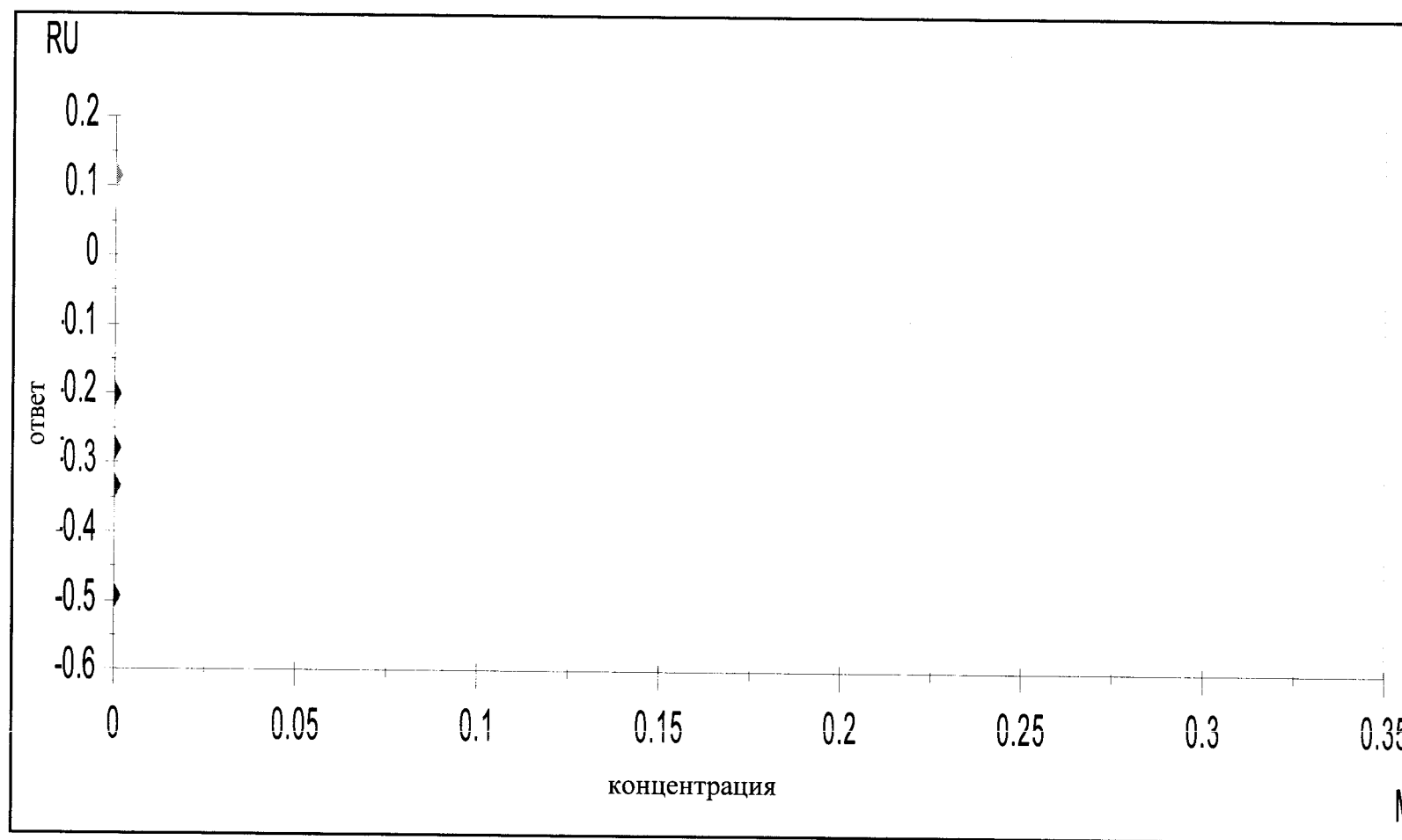
ФИГ. 5В



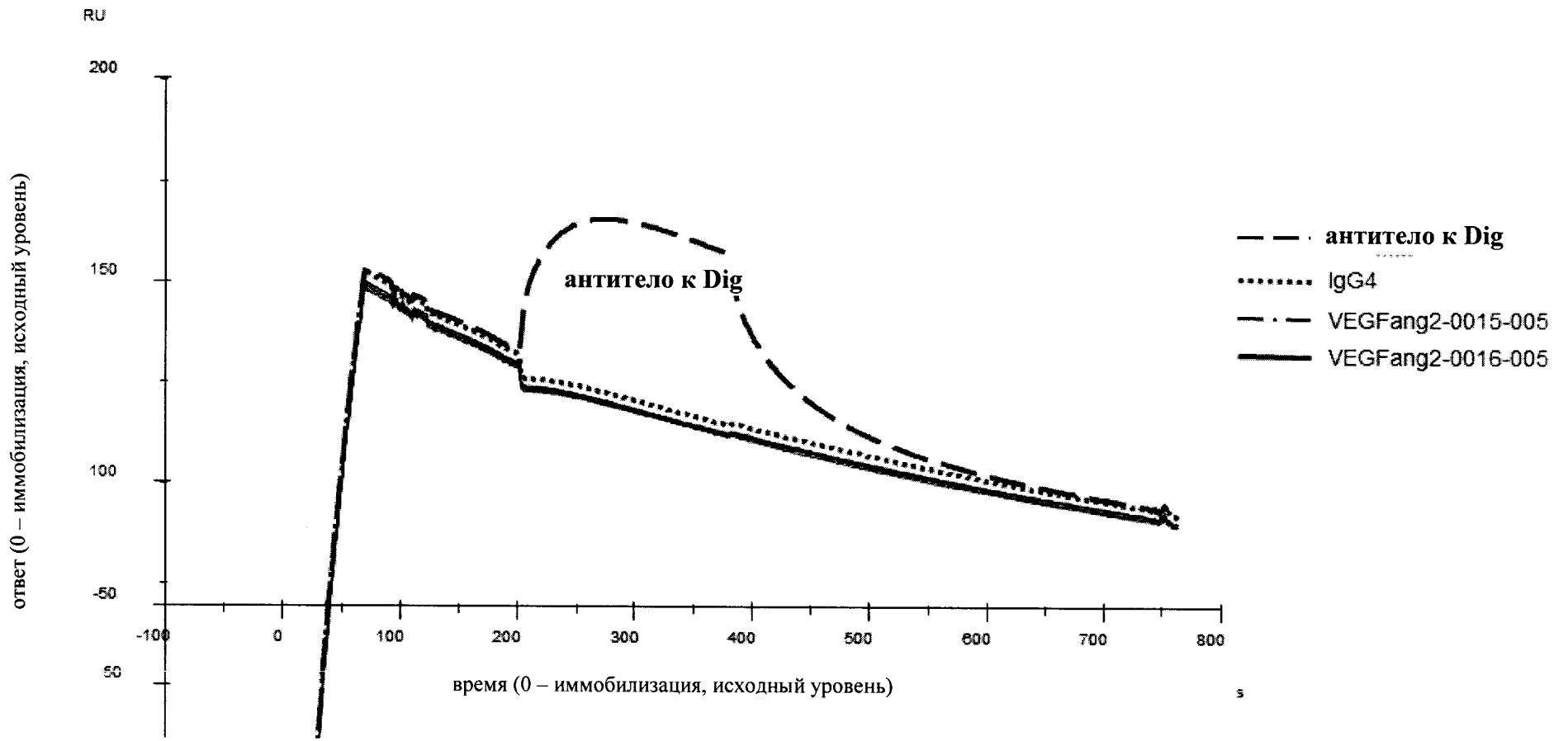
ФИГ. 5Г



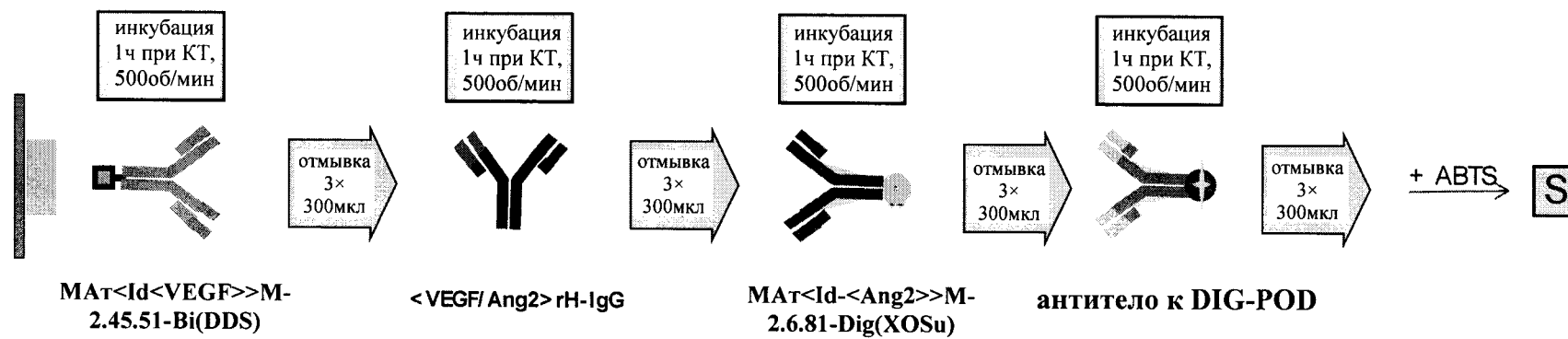
ФИГ. 5Д



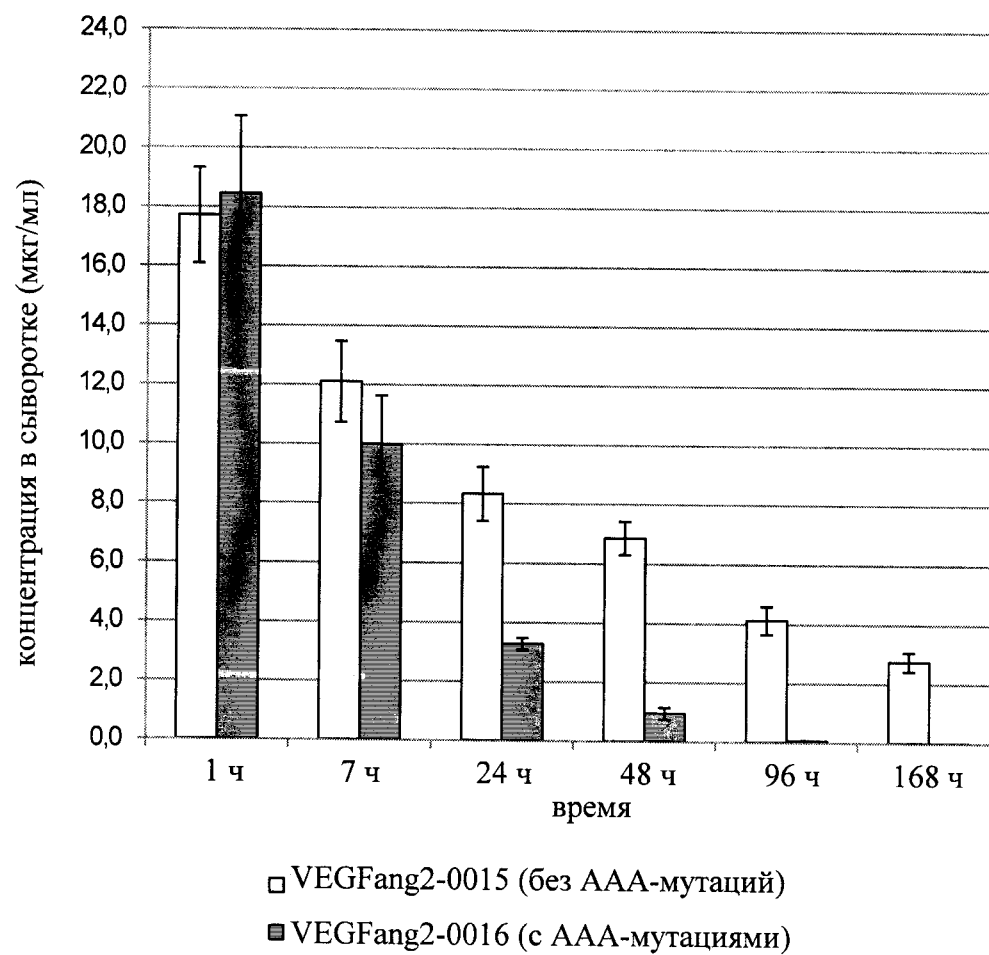
ФИГ. 6



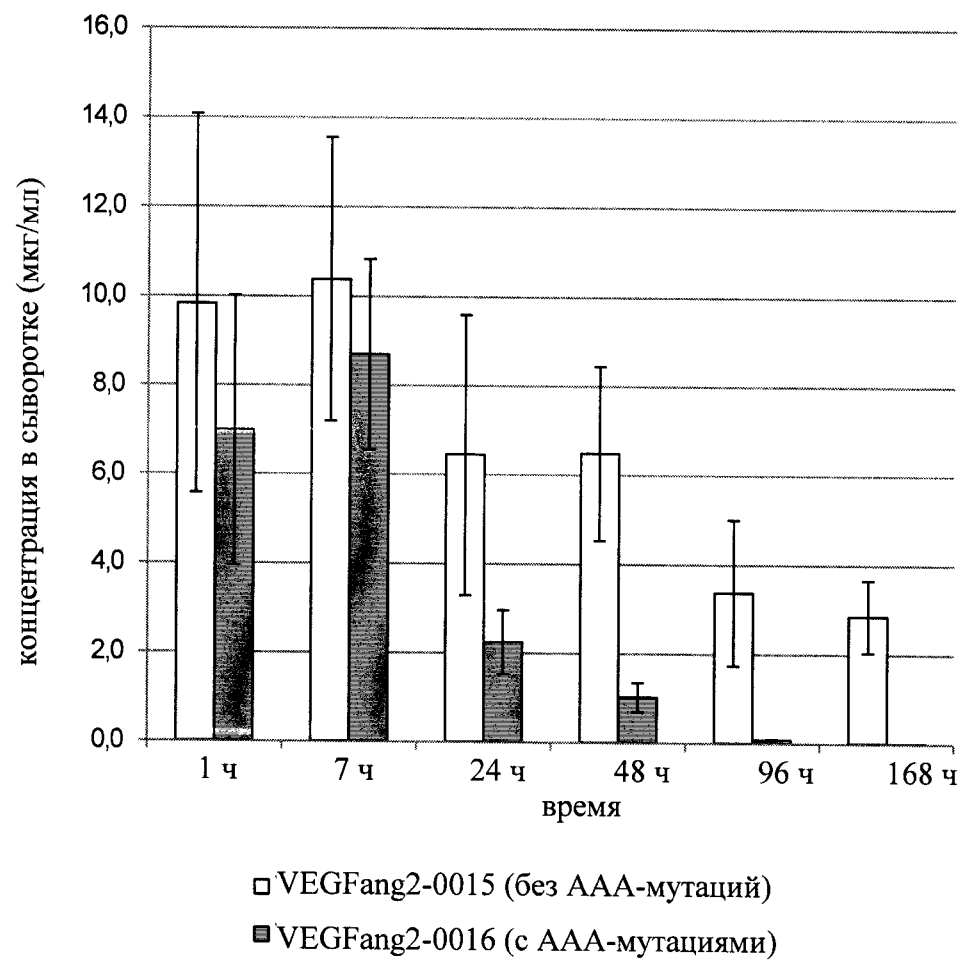
ФИГ. 7А



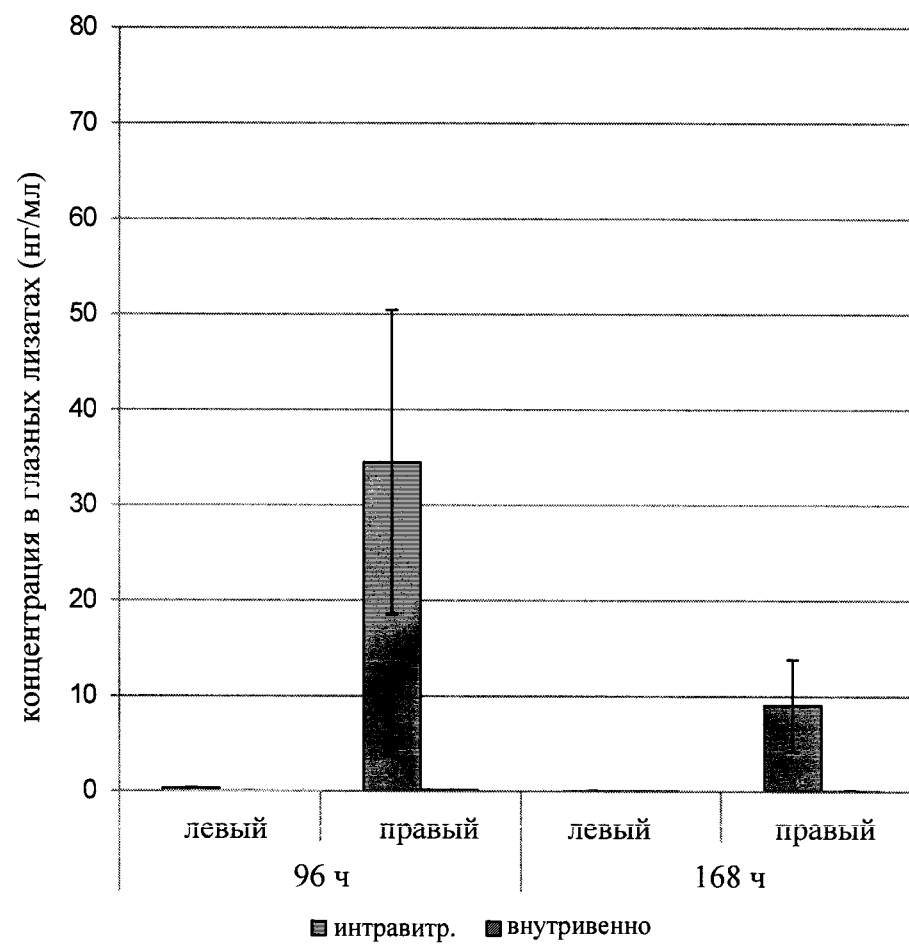
ФИГ. 7Б



ФИГ. 7В



ФИГ. 7Г



ФИГ. 7Д

